

**EXPERTISE EN DIENSTVERLENING
KWALITEIT VAN LABORATORIA**

**COMMISSIE VOOR KLINISCHE BIOLOGIE
EXPERTENCOMITE**

**EXTERNE KWALITEITSEVALUATIE VOOR
ANALYSES KLINISCHE BIOLOGIE**

**DEFINITIEF GLOBAAL RAPPORT
HEMATOLOGIE/COAGULATIE/IMMUNOHEMATOLOGIE
ENQUETE 2020/3**

Sciensano/Hematologie/coagulatie/immunohematologie/127-NL

Expertise en dienstverlening
Kwaliteit van laboratoria
J. Wytsmanstraat, 14
1050 Brussel | België

www.sciensano.be

| |
|-----------------------|
| EXPERTENCOMITE |
|-----------------------|

| Sciensano | | | |
|-----------------------|------------------------------------|-------------------------------------|-------------------|
| Secretariaat | | PHONE: 02/642.55.22 | FAX: 02/642.56.45 |
| Dr. Bouacida L. | Enquêtecöördinator | PHONE: 02/642.53.83 | |
| | | e-mail: lobna.bouacida@sciensano.be | |
| Dr. Vernelen K. | Vervanger enquêtecöördinator | PHONE: 02/642.55.29 | |
| | | e-mail: kris.vernelen@sciensano.be | |
| Experten | Instelling | | |
| Dr. Brusselmans C. | UZ Leuven | | |
| Dr. Bulliard G. | Grand Hôpital de Charleroi | | |
| Dr. Chatelain B. | UCL Louvain | | |
| Dr. Jacquemin M. | UZ Leuven | | |
| Dr. Jochmans K. | UZ Brussel | | |
| Dr. Kornreich A. | Grand Hôpital de Charleroi | | |
| Dr. Lazarova E. | CHR de la Haute Senne | | |
| Dr. Meeus P. | OLV Ziekenhuis Aalst | | |
| Dr. Monfort M. | Centre Hospitalier Chrétien Liège | | |
| Dr. Mullier F. | UCL Louvain | | |
| Dr. Rummens J-L. | Jessa Ziekenhuis | | |
| Dr. Van Honsbrouck A. | Militair Hospitaal Koningin Astrid | | |

Een voorlopige versie van dit rapport werd voorgelegd aan de experten hematologie op: 22/01/2021
 Dit rapport werd besproken in de vergadering van het expertencomité hematologie van: 26/01/2021

Toestemming verspreiding rapport: door L. Bouacida, enquêtecöördinator, op 08/03/2021.

Alle rapporten zijn tevens te raadplegen op onze website:

https://www.wiv-isp.be/QML/activities/external_quality/rapports/ nl/rapports annee.htm

INHOUDSTAFEL

| | |
|--|----|
| CONVERSIETABEL | 4 |
| INTERPRETATIE VAN HET INDIVIDUELE RAPPORT | 5 |
| ENQUETE SPECIFIEKE INFORMATIE | 8 |
| HEMATOLOGIE: CYTOLOGIE | 9 |
| HEMATOLOGIE: TELLING | 35 |
| COAGULATIE: PT, APTT, FIBRINOGEEN | 54 |
| COAGULATIE: D-DIMEREN | 74 |
| COAGULATIE: ANTITROMBINE | 78 |
| IMMUNOHEMATOLOGIE..... | 83 |
| IMMUNOHEMATOLOGIE: IDENTIFICATIE ONREGELMATIGE ANTISTOFFEN | 88 |

CONVERSIETABEL

| Parameter | Eenheid | Conversiefactor | Eenheid |
|---------------|------------------------------|-----------------|------------------------------|
| Hemoglobine | g/L | /10 | g/dL |
| | g/dL | X10 | g/L |
| Hematocriet | L/L | X100 | % |
| | % | /100 | L/L |
| Reticulocyten | % GR | X10 | ‰ GR |
| | ‰ GR | /10 | % GR |
| Fibrinogeen | g/L | X100 | mg/dL |
| | mg/dL | /100 | g/L |
| D-dimeren | mg/L of $\mu\text{g/mL}$ FEU | X1000 | ng/mL FEU |
| | ng/mL FEU | /1000 | mg/L of $\mu\text{g/mL}$ FEU |

INTERPRETATIE VAN HET INDIVIDUELE RAPPORT

Naast dit globale rapport, heeft u ook toegang tot een individueel rapport via de toolkit.

Hieronder vindt u informatie, die u kan helpen om dit rapport te interpreteren.

De positie van uw kwantitatieve resultaten wordt enerzijds gegeven in vergelijking met alle resultaten van alle deelnemers en anderzijds in vergelijking met de resultaten van de deelnemers die dezelfde methode als u gebruiken.

De volgende informatie wordt gegeven:

- Uw resultaat (R)
- Uw methode
- De globale mediaan (M_G):
de centrale waarde van de resultaten bekomen door alle laboratoria voor alle methodes samen.
- De globale standaarddeviatie (SD_G):
maat voor de spreiding van de resultaten bekomen door alle laboratoria voor alle methodes samen.
- De globale mediaan van uw methode (M_M):
de centrale waarde van de resultaten bekomen door de laboratoria die dezelfde methode als u gebruiken.
- De standaarddeviatie van uw methode (SD_M):
maat voor de spreiding van de resultaten bekomen door de laboratoria die dezelfde methode als u gebruiken.
- De variatiecoëfficiënt CV (uitgebruikt in %) voor alle laboratoria en voor de laboratoria die dezelfde methode als u gebruiken:
 $CV_M = (SD_M / M_M) * 100$ (%) en $CV_G = (SD_G / M_G) * 100$ (%).
- De Z-score:
het verschil tussen uw resultaat en de mediaan van uw methode (uitgedrukt als een veelvoud van de SD): **$Z_M = (R - M_M) / SD_M$ en $Z_G = (R - M_G) / SD_G$** .
Het resultaat wordt geciteerd indien **$|Z_M| > 3$** .
- De U-score:
de relatieve afwijking van uw resultaat t.o.v. de mediaan van uw methode (uitgedrukt in %):
 $U_M = ((R - M_M) / M_M) * 100$ (%) and $U_G = ((R - M_G) / M_G) * 100$ (%).
Het resultaat wordt geciteerd indien **$|U_M| > d$** , waarbij “d” de vaste limiet is van de betrokken parameter, met name het % maximaal toegelaten afwijking t.o.v. de mediaan van de methode.

- Een grafische interpretatie van de positie van uw resultaat (R), enerzijds in vergelijking met alle resultaten van alle deelnemers, anderzijds in vergelijking met de resultaten van de deelnemers die dezelfde methode als u gebruiken, gebaseerd op de methode van Tukey, voor elke parameter en voor elk geanalyseerd staal.

R : uw resultaat

M_{M/G} : mediaan

H_{M/G} : percentielen 25 en 75

I_{M/G} : interne limieten ($M \pm 2.7$ SD)

O_{M/G} : externe limieten ($M \pm 4.7$ SD)

De globale grafiek en deze van uw methode worden uitgedrukt volgens dezelfde schaal, op deze wijze zijn beide vergelijkbaar. Deze grafieken geven u een ruw geschatte indicatie van de positie van uw resultaat (R) t.o.v. de medianen (M_{M/G}).

U kan meer details vinden in de 3 brochures die beschikbaar zijn op onze website op het volgende adres:

https://www.wiv-isp.be/QML/index_nl.htm

(kies "BROCHURES" in het voorgestelde menu)

of rechtstreeks op het volgende adres:

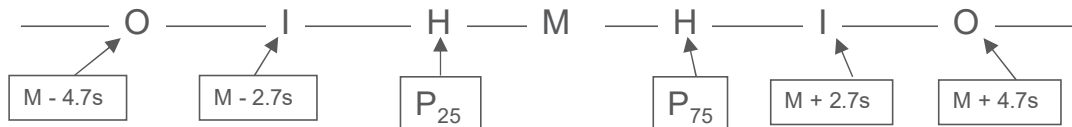
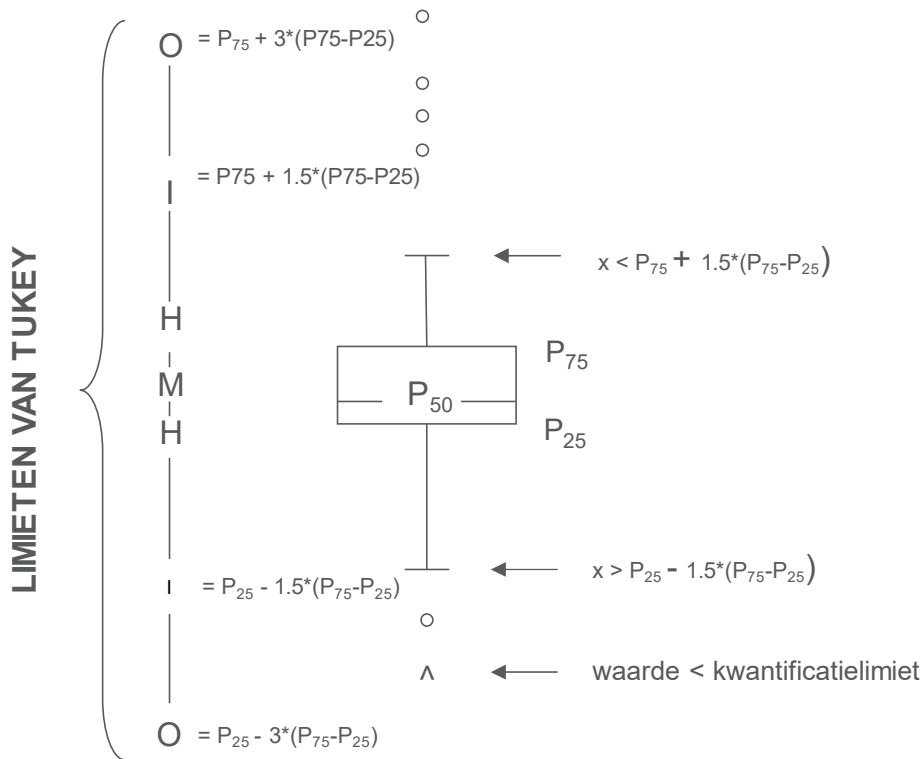
https://www.wiv-isp.be/QML/activities/external_quality/brochures/_nl/brochures.htm

- 1) Informatiebrochure over de externe kwaliteitsevaluatieprogramma's voor klinische laboratoria (Algemene informatiebrochure over de externe evaluatie).
https://www.wiv-isp.be/QML/Informatiebrochure_EKE.pdf
- 2) Statistische brochure (Algemene statistische berekeningsprocedure opgesteld door Professor Albert).
- 3) Verwerking van gecensureerde waarden (Statistische berekeningsprocedure toegepast op de gecensureerde waarden opgesteld door Professor Albert).

Grafische voorstelling

Naast de tabellen met de resultaten, wordt er soms een grafische voorstelling van de resultaten als “box en whisker plot” toegevoegd. Zij bevat de volgende elementen voor methoden met minstens 6 deelnemers:

- een rechthoek die gaat van percentiel 25 (P_{25}) tot percentiel 75 (P_{75})
- een centrale lijn die de mediaan van de resultaten voorstelt (P_{50})
- een ondergrens die de kleinste waarde voorstelt $x > P_{25} - 1.5 * (P_{75} - P_{25})$
- een bovengrens die de grootste waarde voorstelt $x < P_{75} + 1.5 * (P_{75} - P_{25})$
- alle punten buiten dit interval worden voorgesteld door een cirkel.



Overeenkomstige limieten in geval van een normale verdeling

ENQUETE SPECIFIEKE INFORMATIE

De stalen van de enquête coagulatie (PT, aPTT, fibrinogeen, D-dimeren en antitrombine) en immunohematologie 2020/3 werden verstuurd op 12/10/2020 en de stalen van de enquête hematologie celtelling 2020/3 op 19/10/2020. De stalen van de enquête hematologie uitrijkje 2020/3 werden verstuurd op 21/12/2020. De afsluitingsdatum voor het ingeven van de resultaten was 26/10/2020 voor de enquêtes coagulatie en immunohematologie, op 02/11/2020 voor de enquête hematologie celtelling en op 18/01/2021 voor de enquête uitstrijkje. De niet-gevalideerde individuele rapporten (celtelling en coagulatie) en het voorlopige rapport (met de correcte resultaten immunohematologie) waren beschikbaar op onze website op 29/10/2020. Het voorlopige rapport (met de correcte resultaten hematologie uitstrijkje) was beschikbaar op onze website op 21/01/2021. De resultaten werden besproken en gevalideerd tijdens de vergadering van het comité van experts op 26/01/2020. De gevalideerde individuele rapporten en het globale rapport waren beschikbaar op 08/03/2021.

Staalmateriaal

De laboratoria ontvingen de volgende uitstrijkjes:

Uitstrijkje **H/17593** (klassiek en digitaal), afkomstig van een 63-jarige patiënte met acute myeloïde leukemie.

Controle uitstrijkje **H/17598** (digitaal), afkomstig van een gezonde 53-jarige vrouw.

Het uitstrijkje H/17593 werd voorafgaandelijk goedgekeurd door de leden van het expertencomité. De resultaten van de digitale uitstrijkjes werden niet in aanmerking genomen voor evaluatie.

Wij danken Prof. B Chatelain voor het bezorgen van de twee uitstrijkjes, het verstrekken van de nodige klinische inlichtingen en voor het ontwikkelen van de virtuele uitstrijkjes.

Uitstrijkje H/17593: ACUTE MYELOÏDE LEUKEMIE

Het uitstrijkje H/17593 werd rondgestuurd met de volgende klinische en biologische gegevens:

Het bloedstaal van een 63-jarige patiënt wordt door de huisarts opgestuurd voor INR-controle. De arts licht in dat de patiënt AVK gebruikt. Naast de tromboplastinetijd (INR: 1.8) wordt een bloedbeeld aangevraagd:

RBC: $4.29 \times 10^{12}/l$

Hb: 146 g/l

HCT: 0.43 l/l

VCM: 100 fl

WBC: $5.2 \times 10^9/l$

Trombocyten: $64 \times 10^9/l$

Deelname

Één Luxemburgs en 142 Belgische laboratoria hebben aan deze ronde deelgenomen.

Resultaten van de deelnemers

Bloedformule

Het mediane percentage van neutrofiële segmentkernigen was 60.5% met een CV van 1.7%, het mediane percentage van lymfocyten was 19.1% met een CV van 7.6% en het mediane percentage van monocyten was 3.0% met een CV van 32.1%.

Het mediane percentage van blasten was 14.8% met een CV van 7.5%

Daarnaast vermeldde 65% van de deelnemers de aanwezigheid van Auerstaafjes.

Vooropgestelde diagnoses

143 deelnemers hebben een diagnostische oriëntatie vooropgesteld. 73% kozen in de eerste plaats voor de diagnostische oriëntatie "Acute maligne hemopathie", 22% koos in de eerste plaats voor "Myelodysplastisch syndroom" als diagnostische oriëntatie, 4% antwoordde "Chronisch lymfoproliferatief syndroom" en 1% "Infectieus, inflammatoir of toxisch proces".

114 deelnemers stelden een meer precieze diagnose voor.

| <i>Meer precieze diagnose gesteld</i> | <i>N</i> |
|--|----------|
| Acute Myeloïde Leukemie | 80 |
| Myelodysplasie met exces aan blasten EB-2 | 24 |
| Acute leukemie of transformatie van myelodysplasie | 3 |
| Hooggradig lymfoom, blastaire mantelcellymfoom | 3 |
| Diffuus grootcellig B-cellymfoom | 1 |
| Acute leukemie versus lymfoom | 1 |
| Acute leukemie | 1 |
| Virale infectie | 1 |

11 deelnemers suggereerden het type acute myeloïde leukemie.

| <i>Type acute leukemie</i> | <i>N</i> |
|----------------------------|----------|
| AML M1 of M2 | 5 |
| AML M2 | 3 |
| AML M3 | 1 |
| AML M2 of M4 | 1 |
| AML M7 | 1 |

Het niet voorstellen van acute myeloïde leukemie met Auerstaafjes of myelodysplasie met exces aan blasten EB-2 wordt als inadequat beschouwd.

Het specificeren van het type acute myeloïde leukemie wordt als ongepast beschouwd.

UITSTRIJKJE H/17593 (digitale microscoop): ACUTE MYELOÏDE LEUKEMIE

Aan de laboratoria, die gebruik maken van een digitale microscoop, werd gevraagd om op het klassieke uitstrijkje H/17593 ook de WBC formule te bepalen met hun digitale microscoop.

78 laboratoria hebben dit gedaan.

Volgende tabel geeft een overzicht van de gebruikte digitale microscopen:

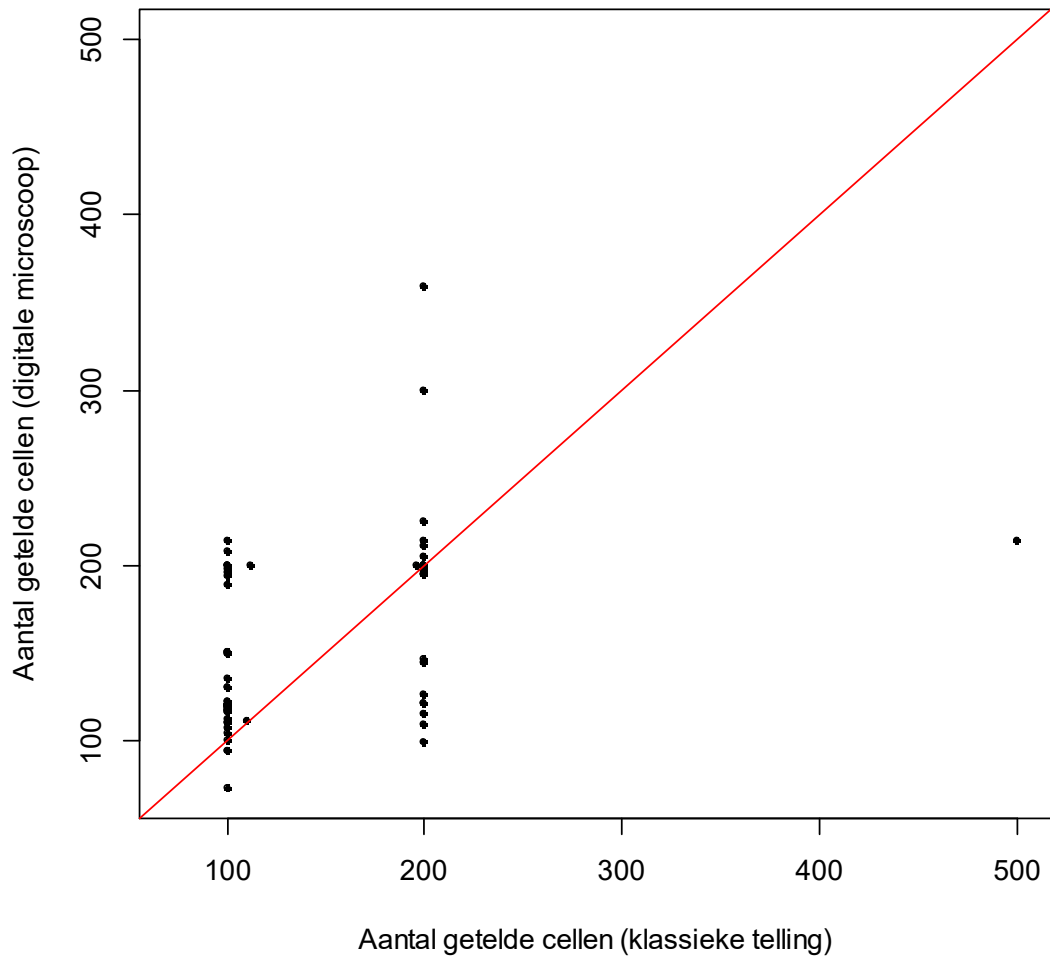
| Digitale microscoop | N |
|---------------------|----|
| CellaVision DI60 | 34 |
| CellaVision DM1200 | 27 |
| CellaVision DM96 | 15 |
| CellaVision DC-1 | 2 |

Volgende tabel vergelijkt de resultaten bekomen via klassieke telling en telling dmv een digitale microscoop voor deelnemers die beide methoden hebben gebruikt:

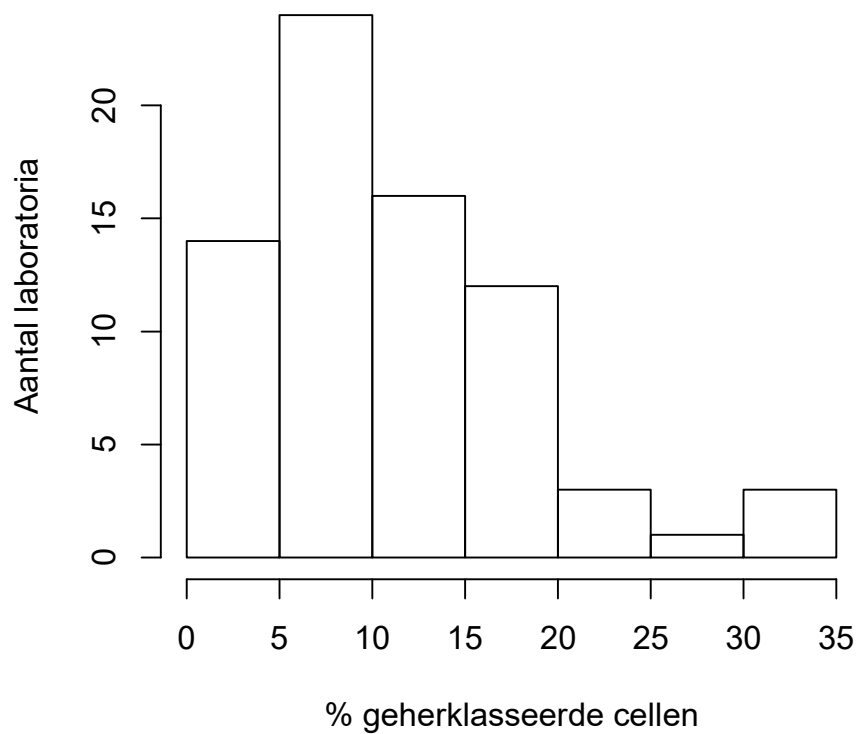
| | H/17593 | | | H/17593 AUTOM | | | p* |
|--------------------------------------|---------|------|----|---------------|------|----|--------|
| | Mediaan | CV,% | N | Mediaan | CV,% | N | |
| Neutrofiële segment- + staafkernigen | 55.5 | 6.3 | 71 | 55.3 | 9.9 | 71 | 0.5223 |
| Eosinofiele segmentkernigen | 1.5 | 49.4 | 59 | 1.5 | 66.7 | 60 | 0.6704 |
| Basofiele segmentkernigen | 1 | 37.1 | 37 | 0.9 | 49.4 | 38 | 0.7147 |
| Lymfocyten | 25.8 | 14.4 | 46 | 27.8 | 17.1 | 49 | 0.0011 |
| Reactionele lymfocyten | | | 4 | | | 3 | |
| Lymfocyten totaal | 26 | 17.1 | 71 | 28.6 | 14.5 | 71 | 7e-04 |
| Monocyten | 3 | 49.4 | 66 | 2.7 | 42.6 | 67 | 0.189 |
| Promyelocyten | | | 1 | | | 1 | |
| Neutrofiële myelocyten | | | 0 | | | 5 | |
| Neutrofiële metamyelocyten | | | 1 | 0.7 | 21.2 | 11 | |
| Eosinofiele metamyelocyten | | | 1 | | | 2 | |
| Blasten | 13 | 17.1 | 67 | 11.3 | 20.3 | 68 | 0 |
| Andere cellen | | | 4 | | | 5 | |

*Gepaarde Wilcoxon test

De volgende grafiek vergelijkt voor elk laboratorium het aantal cellen waarop de formule bepaald werd via klassieke telling (op de x-as) en via de digitale microscopie (op de y-as) om de bloedformule te bepalen.



Het volgende histogram geeft een overzicht van het percentage cellen die manueel werden geherklasseerd.



CONTROLE-UITSTRIJKJE H/17598 (DIGIT): Binnen de normale grenzen

Het uitstrijkje H/17598 werd rondgestuurd met de volgende klinische en biologische gegevens:

Deze gezonde 53-jarige vrouw heeft een bloedonderzoek ondergaan.

WBC : $5.65 \times 10^9/L$

RBC : $4.69 \times 10^{12}/L$

Hb : 145 g/L

HCT : 0.439 L/L

VCM : 93.6 fL

Bloedplaatjes : $268 \times 10^9/L$

Resultaten van de deelnemers

Bloedformule

Het mediane percentage van neutrofiële segmentkernigen was 58.1% met een CV van 0.1%, het mediane percentage van lymfocyten was 26.7% met een CV van 0.8% en het mediane percentage van monocytën was 8.2% met een CV van 5.4%.

Vooropgestelde diagnoses

Aan deze enquête namen 141 laboratoria deel. 6 deelnemers kozen als eerste diagnostische oriëntatie "Infectieus, inflammatoir of toxisch proces". Alle anderen beschouwden dit uitstrijkje als "Binnen de normale grenzen, geen bijkomende onderzoeken vereist".

Overzicht tabellen van de antwoorden van de laboratoria

H/17593

| Bloedformule | Mediaan | SD | CV | N |
|--------------------------------------|---------|-----|-------|-----|
| Neutrofiële segment- + staafkernigen | 56.0 | 4.6 | 8.3 | 140 |
| Eosinofiele segmentkernigen | 1.5 | 0.7 | 49.4 | 117 |
| Basofiele segmentkernigen | 1.0 | 0.1 | 5.9 | 60 |
| Lymfocyten | 26.0 | 4.6 | 17.8 | 99 |
| Reactionele lymfocyten | 2.0 | 1.5 | 74.1 | 9 |
| Lymfocyten totaal | 26.0 | 5.2 | 20.0 | 140 |
| Monocyten | 3.0 | 1.5 | 49.4 | 133 |
| Promyelocyten | | | | 1 |
| Neutrofiële myelocyten | | | | 1 |
| Eosinofiele myelocyten | | | | 2 |
| Neutrofiële metamyelocyten | 1.0 | 1.3 | 129.7 | 7 |
| Eosinofiele metamyelocyten | | | | 1 |
| Blasten | 13.0 | 3.0 | 22.8 | 130 |
| Andere cellen | 14.0 | 2.2 | 15.9 | 11 |
| Totaal aantal WBC | 100.0 | 0.0 | 0.0 | 140 |
| Erytroblasten (per 100 WBC) | | | | 2 |

| Kleuring | May-Grünwald-Giemsa | Wright | Giemsa | Diff-Quick | Andere kleuring |
|----------|---------------------|--------|--------|------------|-----------------|
| | 135 | 1 | | | 2 |

| Morfologisch significante afwijkingen van de rode bloedcellen | Geen | + | ++ | +++ |
|---|------|----|----|-----|
| Afwijkingen in grootte | | | | |
| Anisocytose | 103 | 32 | 5 | |
| Microcytose | 139 | 1 | | |
| Macrocytose | 108 | 26 | 6 | |
| Vormafwijking | | | | |
| Poikilocytose | 115 | 17 | 8 | |
| Echinocyten | 81 | 26 | 24 | 9 |
| Acanthocyten | 112 | 21 | 7 | |
| Annulocyten | 140 | | | |
| Schistocyten ('fragmentocyten') | 133 | 7 | | |
| Traancellen ('teardrop-cells') | 138 | 2 | | |
| Drepanocyten ('sickle-cells') | 140 | | | |
| Schietschijfcellen ('target-cells') | 138 | 2 | | |
| Sferocyten | 140 | | | |
| Ovalocyten - elliptocyten | 139 | 1 | | |
| Stomatocyten | 139 | 1 | | |
| Bite cells | 140 | | | |
| Hemighosts | 140 | | | |
| Ghost cells | 140 | | | |
| Kleurafwijkingen | | | | |
| Hypochromie | 139 | 1 | | |
| Polychromasie | 139 | | 1 | |
| Inclusies | | | | |
| Howell-Jolly lichaampjes | 140 | | | |
| Basofiele stippeling / Pappenheimer lichaampjes | 140 | | | |
| Intra-erythrocytaire parasieten | 140 | | | |
| Afwijkingen in verdeling | | | | |
| Geldrolvorming (rouleaux) | 115 | 19 | 5 | 1 |
| Agglutinataten | 138 | | 2 | |
| Dubbele populatie (grootte) | 140 | | | |
| Dubbele populatie (kleuring) | 139 | 1 | | |

| Morfologisch significante afwijkingen van de witte bloedcellen | Geen | + | ++ | +++ |
|--|------|----|----|-----|
| Hypersegmentatie van de neutrofielen | 138 | | 1 | 1 |
| Toxische korreling | 137 | 3 | | |
| Döhle lichaampjes | 140 | | | |
| Hypogranulatie van de neutrofiële segmentkernigen | 63 | 35 | 32 | 10 |
| Kernafwijkingen van de neutrofielen | 104 | 28 | 8 | |
| Auerstaafjes | 57 | 76 | 7 | |
| (pseudo)-Pelger-Huet | 110 | 25 | 5 | |
| Gumprechtse cellen (kernschimmen) | 136 | 4 | | |
| Lymfocyten met 'geblokt chromatine' | 138 | 1 | | 1 |
| (Lymfo-)plasmocyttaire cellen | 139 | 1 | | |
| Haarcellen ('hairy cells') | 140 | | | |
| Sézary cellen | 140 | | | |
| 'Large granular lymphocytes' | 140 | | | |
| Andere lymfomateuze cellen | 135 | 2 | 1 | 2 |
| Reactionele lymfocyten | 138 | 1 | | 1 |
| Gevacuuliseerde lymfocyten | 140 | | | |
| Andere leukocyten | 131 | 3 | 4 | 2 |

| Afwijkingen van de trombocyten | Geen | + | ++ | +++ |
|--------------------------------|------|----|----|-----|
| Trombopenisch uitstrijkje | 21 | 37 | 74 | 8 |
| Trombocytemisch uitstrijkje | 137 | | 1 | 2 |
| Trombocytenaggregaten | 140 | | | |
| Macrotrombocyten | 132 | 8 | | |
| Dysplasie (korrelafwijkingen) | 136 | 4 | | |

| Andere afwijkingen | Geen | + | ++ | +++ |
|--|------|---|----|-----|
| Hyperproteïnemie (achtergrondkleuring) | 140 | | | |
| Extra-erythrocytaire parasieten | 140 | | | |

| Diagnostische oriëntatie | |
|--|-----|
| Diagnose (eerste keuze) | N |
| Acute maligne hemopathie | 100 |
| Myelodysplastisch syndroom | 33 |
| Chronisch lymfoproliferatief syndroom | 5 |
| Binnen de normale grenzen, geen bijkomende onderzoeken vereist | 1 |
| Infectieus, inflammatoir of toxisch proces | 1 |

| Diagnose (tweede keuze) | N |
|--|----|
| Geen antwoord | 81 |
| Myelodysplastisch syndroom | 28 |
| Acute maligne hemopathie | 27 |
| Andere | 1 |
| Chronisch lymfoproliferatief syndroom | 1 |
| Pathologie van de bloedplaatjes | 1 |
| Infectieus, inflammatoir of toxisch proces | 1 |

| Diagnose (derde keuze) | N |
|---------------------------------------|-----|
| Geen antwoord | 137 |
| Chronisch myeloproliferatief syndroom | 2 |
| Acute maligne hemopathie | 1 |

| Onderzoek (eerste keuze) | N |
|--|-----|
| Beenmergpunctie/beenmergbiopsie | 118 |
| Immunofenotypering | 16 |
| Cytogenetisch onderzoek/moleculaire biologie | 4 |
| Geen bijkomend onderzoek | 1 |
| Cytochemie | 1 |

| | |
|--|----|
| Onderzoek (tweede keuze) | N |
| Immunofenotypering | 71 |
| Cytogenetisch onderzoek/moleculaire biologie | 48 |
| Beenmergpunctie/beenmergbiopsie | 13 |
| Geen antwoord | 5 |
| Cytochemie | 1 |
| Klierbiopsie | 1 |
| Medische beeldvorming | 1 |

| | |
|--|----|
| Onderzoek (derde keuze) | N |
| Cytogenetisch onderzoek/moleculaire biologie | 69 |
| Immunofenotypering | 37 |
| Geen antwoord | 20 |
| Beenmergpunctie/beenmergbiopsie | 5 |
| Stollingsonderzoek | 3 |
| Cytochemie | 2 |
| Levertesten | 1 |
| Andere, gelieve te preciseren | 1 |
| Klierbiopsie | 1 |
| Medische beeldvorming | 1 |

H/17593DIGIT

| Bloedformule | Mediaan | SD | CV | N |
|--------------------------------------|---------|-----|-------|-----|
| Neutrofiële segment- + staafkernigen | 60.5 | 1.0 | 1.7 | 143 |
| Eosinofiele segmentkernigen | 1.0 | 0.0 | 3.8 | 139 |
| Basofiele segmentkernigen | 1.0 | 0.0 | 4.7 | 108 |
| Lymfocyten | 19.0 | 1.5 | 7.8 | 110 |
| Reactionele lymfocyten | 1.0 | 1.0 | 103.8 | 24 |
| Lymfocyten totaal | 19.1 | 1.4 | 7.6 | 143 |
| Monocyten | 3.0 | 1.0 | 32.1 | 143 |
| Promyelocyten | | | | |
| Neutrofiële myelocyten | | | | 5 |
| Eosinofiele myelocyten | | | | 2 |
| Neutrofiële metamyelocyten | 0.5 | 0.0 | 8.5 | 25 |
| Eosinofiele metamyelocyten | 0.9 | 0.4 | 41.2 | 7 |
| Blasten | 14.8 | 1.1 | 7.5 | 131 |
| Andere cellen | 14.3 | 5.7 | 40.2 | 16 |
| Totaal aantal WBC | 100.0 | 0.0 | 0.0 | 143 |
| Erytroblasten (per 100 WBC) | | | | 2 |

| Morfologisch significante afwijkingen van de rode bloedcellen | Geen | + | ++ | +++ |
|---|------|----|----|-----|
| Afwijkingen in grootte | | | | |
| Anisocytose | 107 | 31 | 5 | |
| Microcytose | 143 | | | |
| Macrocytose | 114 | 25 | 4 | |

| Vormafwijking | | | | | |
|---|-----|----|----|----|--|
| Poikilocytose | 116 | 13 | 12 | 2 | |
| Echinocyten | 73 | 23 | 34 | 13 | |
| Acanthocyten | 114 | 18 | 9 | 2 | |
| Annulocyten | 142 | 1 | | | |
| Schistocyten ('fragmentocyten') | 137 | 6 | | | |
| Traancellen ('teardrop-cells') | 139 | 4 | | | |
| Drepanocyten ('sickle-cells') | 143 | | | | |
| Schietschijfcellen ('target-cells') | 142 | 1 | | | |
| Sferocyten | 143 | | | | |
| Ovalocyten - elliptocyten | 143 | | | | |
| Stomatocyten | 143 | | | | |
| Bite cells | 143 | | | | |
| Hemighosts | 143 | | | | |
| Ghost cells | 143 | | | | |
| Kleurafwijkingen | | | | | |
| Hypochromie | 142 | 1 | | | |
| Polychromasie | 141 | 1 | 1 | | |
| Inclusies | | | | | |
| Howell-Jolly lichaampjes | 143 | | | | |
| Basofiele stippeling / Pappenheimer lichaampjes | 143 | | | | |
| Intra-erythrocytaire parasieten | 143 | | | | |
| Afwijkingen in verdeling | | | | | |
| Geldrolvorming (rouleaux) | 107 | 23 | 12 | 1 | |
| Agglutinatoren | 138 | 4 | | 1 | |
| Dubbele populatie (grootte) | 143 | | | | |
| Dubbele populatie (kleuring) | 142 | 1 | | | |

| Morfologisch significante afwijkingen van de witte bloedcellen | Geen | + | ++ | +++ |
|--|------|----|----|-----|
| Hypersegmentatie van de neutrofielen | 143 | | | |
| Toxische korreling | 140 | 3 | | |
| Döhle lichaampjes | 142 | 1 | | |
| Hypogranulatie van de neutrofiële segmentkernigen | 67 | 39 | 29 | 8 |
| Kernafwijkingen van de neutrofielen | 106 | 28 | 9 | |
| Auerstaafjes | 50 | 86 | 7 | |
| (pseudo)-Pelger-Huet | 110 | 28 | 5 | |
| Gumprechtse cellen (kernschimmen) | 141 | 2 | | |
| Lymfocyten met 'geblokt chromatine' | 142 | 1 | | |
| (Lymfo-)plasmocyttaire cellen | 142 | 1 | | |
| Haarcellen ('hairy cells') | 143 | | | |
| Sézary cellen | 143 | | | |
| 'Large granular lymphocytes' | 142 | 1 | | |
| Andere lymfomateuze cellen | 141 | | 1 | 1 |
| Reactionele lymfocyten | 143 | | | |
| Gevacuuliseerde lymfocyten | 143 | | | |
| Andere leukocyten | 130 | 4 | 6 | 3 |

| Afwijkingen van de trombocyten | Geen | + | ++ | +++ |
|--------------------------------|------|----|----|-----|
| Trombopenisch uitstrijkje | 19 | 38 | 76 | 10 |
| Trombocytemisch uitstrijkje | 142 | | 1 | |
| Trombocytenaggregaten | 143 | | | |
| Macrotrombocyten | 139 | 4 | | |
| Dysplasie (korrelafwijkingen) | 141 | 2 | | |

| | | | | |
|--|------|---|----|-----|
| Andere afwijkingen | Geen | + | ++ | +++ |
| Hyperproteïnemie (achtergrondkleuring) | 143 | | | |
| Extra-erythrocytaire parasieten | 143 | | | |

| Diagnostische oriëntatie | |
|--|-----|
| Diagnose (eerste keuze) | N |
| Acute maligne hemopathie | 104 |
| Myelodysplastisch syndroom | 32 |
| Chronisch lymfoproliferatief syndroom | 6 |
| Infectieus, inflammatoir of toxisch proces | 1 |

| Diagnose (tweede keuze) | N |
|--|----|
| Geen antwoord | 79 |
| Myelodysplastisch syndroom | 33 |
| Acute maligne hemopathie | 25 |
| Chronisch lymfoproliferatief syndroom | 2 |
| Andere | 1 |
| Chronisch myeloproliferatief syndroom | 1 |
| Pathologie van de bloedplaatjes | 1 |
| Infectieus, inflammatoir of toxisch proces | 1 |

| Diagnose (derde keuze) | N |
|---------------------------------------|-----|
| Geen antwoord | 140 |
| Acute maligne hemopathie | 2 |
| Chronisch myeloproliferatief syndroom | 1 |

| | |
|--|-----|
| Onderzoek (eerste keuze) | N |
| Beenmergpunctie/beenmergbiopsie | 118 |
| Immunofenotypering | 20 |
| Cytogenetisch onderzoek/moleculaire biologie | 2 |
| Infectieuze serologie | 1 |
| Geen antwoord | 1 |
| Cytochemie | 1 |

| | |
|--|----|
| Onderzoek (tweede keuze) | N |
| Immunofenotypering | 67 |
| Cytogenetisch onderzoek/moleculaire biologie | 52 |
| Beenmergpunctie/beenmergbiopsie | 16 |
| Geen antwoord | 4 |
| Cytochemie | 1 |
| Klierbiopsie | 1 |
| Stollingsonderzoek | 1 |
| Opsporen paraproteïne | 1 |

| | |
|--|----|
| Onderzoek (derde keuze) | N |
| Cytogenetisch onderzoek/moleculaire biologie | 72 |
| Immunofenotypering | 43 |
| Geen antwoord | 17 |
| Beenmergpunctie/beenmergbiopsie | 4 |
| Stollingsonderzoek | 2 |
| Plaatjesfunctie/aggregatie | 1 |
| Andere, gelieve te preciseren | 1 |
| Cytochemie | 1 |
| Klierbiopsie | 1 |
| Medische beeldvorming | 1 |

H/17593AUTOM

| Bloedformule | Mediaan | SD | CV | N |
|--------------------------------------|---------|-----|------|----|
| Neutrofiële segment- + staafkernigen | 55.3 | 5.5 | 9.9 | 77 |
| Eosinofiele segmentkernigen | 1.5 | 0.9 | 59.3 | 64 |
| Basofiele segmentkernigen | 0.9 | 0.4 | 49.4 | 41 |
| Lymfocyten | 27.8 | 5.0 | 18.1 | 55 |
| Reactionele lymfocyten | | | | 3 |
| Lymfocyten totaal | 28.6 | 4.5 | 15.8 | 77 |
| Monocyten | 2.8 | 1.0 | 37.1 | 73 |
| Promyelocyten | | | | 1 |
| Neutrofiële myelocyten | | | | 5 |
| Eosinofiele myelocyten | | | | |
| Neutrofiële metamyelocyten | 0.7 | 0.2 | 26.5 | 12 |
| Eosinofiele metamyelocyten | | | | 2 |
| Blasten | 11.3 | 2.4 | 21.6 | 74 |
| Andere cellen | | | | 5 |
| Totaal aantal WBC | 100.0 | 0.0 | 0.0 | 77 |
| Erytroblasten (per 100 WBC) | | | | 2 |

| Kleuring | May-Grünwald-Giemsa | Wright | Giemsa | Diff-Quick | Andere kleuring |
|----------|---------------------|--------|--------|------------|-----------------|
| | 75 | | | | 1 |

| Morfologisch significante afwijkingen van de rode bloedcellen | Geen | + | ++ | +++ |
|---|------|----|----|-----|
| Afwijkingen in grootte | | | | |
| Anisocytose | 56 | 17 | 4 | |
| Microcytose | 75 | 2 | | |
| Macrocytose | 61 | 11 | 4 | 1 |

| Vormafwijking | | | | | |
|---|----|----|----|---|--|
| Poikilocytose | 59 | 14 | 4 | | |
| Echinocyten | 44 | 15 | 15 | 3 | |
| Acanthocyten | 66 | 7 | 4 | | |
| Annulocyten | 77 | | | | |
| Schistocyten ('fragmentocyten') | 77 | | | | |
| Traancellen ('teardrop-cells') | 75 | 2 | | | |
| Drepanocyten ('sickle-cells') | 77 | | | | |
| Schietschijfcellen ('target-cells') | 76 | 1 | | | |
| Sferocyten | 77 | | | | |
| Ovalocyten - elliptocyten | 76 | 1 | | | |
| Stomatocyten | 77 | | | | |
| Bite cells | 77 | | | | |
| Hemighosts | 77 | | | | |
| Ghost cells | 77 | | | | |
| Kleurafwijkingen | | | | | |
| Hypochromie | 77 | | | | |
| Polychromasie | 76 | 1 | | | |
| Inclusies | | | | | |
| Howell-Jolly lichaampjes | 77 | | | | |
| Basofiele stippeling / Pappenheimer lichaampjes | 77 | | | | |
| Intra-erythrocytaire parasieten | 77 | | | | |
| Afwijkingen in verdeling | | | | | |
| Geldrolvorming (rouleaux) | 73 | 3 | 1 | | |
| Agglutinatien | 77 | | | | |
| Dubbele populatie (grootte) | 77 | | | | |
| Dubbele populatie (kleuring) | 77 | | | | |

| Morfologisch significante afwijkingen van de witte bloedcellen | Geen | + | ++ | +++ |
|--|------|----|----|-----|
| Hypersegmentatie van de neutrofielen | 77 | | | |
| Toxische korreling | 76 | 1 | | |
| Döhle lichaampjes | 76 | 1 | | |
| Hypogranulatie van de neutrofiële segmentkernigen | 48 | 17 | 10 | 2 |
| Kernafwijkingen van de neutrofielen | 61 | 14 | 2 | |
| Auerstaafjes | 36 | 36 | 5 | |
| (pseudo)-Pelger-Huet | 66 | 8 | 3 | |
| Gumprechtse cellen (kernschimmen) | 77 | | | |
| Lymfocyten met 'geblokt chromatine' | 76 | | | 1 |
| (Lymfo-)plasmocyttaire cellen | 76 | 1 | | |
| Haarcellen ('hairy cells') | 77 | | | |
| Sézary cellen | 77 | | | |
| 'Large granular lymphocytes' | 77 | | | |
| Andere lymfomateuze cellen | 77 | | | |
| Reactionele lymfocyten | 77 | | | |
| Gevacuuliseerde lymfocyten | 77 | | | |
| Andere leukocyten | 73 | 1 | 3 | |

| Afwijkingen van de trombocyten | Geen | + | ++ | +++ |
|--------------------------------|------|----|----|-----|
| Trombopenisch uitstrijkje | 19 | 20 | 38 | |
| Trombocytemisch uitstrijkje | 76 | | 1 | |
| Trombocytenaggregaten | 77 | | | |
| Macrotrombocyten | 77 | | | |
| Dysplasie (korrelafwijkingen) | 77 | | | |

| Andere afwijkingen | Geen | + | ++ | +++ |
|--|------|---|----|-----|
| Hyperproteïnemie (achtergrondkleuring) | 77 | | | |
| Extra-erythrocytaire parasieten | 77 | | | |

| Diagnostische oriëntatie | |
|---------------------------------------|----|
| Diagnose (eerste keuze) | N |
| Acute maligne hemopathie | 58 |
| Myelodysplastisch syndroom | 15 |
| Chronisch lymfoproliferatief syndroom | 2 |
| Andere | 1 |
| Geen antwoord | 1 |

| | |
|---------------------------------------|----|
| Diagnose (tweede keuze) | N |
| Geen antwoord | 43 |
| Myelodysplastisch syndroom | 20 |
| Acute maligne hemopathie | 12 |
| Andere | 1 |
| Chronisch lymfoproliferatief syndroom | 1 |

| | |
|------------------------|----|
| Diagnose (derde keuze) | N |
| Geen antwoord | 76 |
| Andere | 1 |

| | |
|---------------------------------|----|
| Onderzoek (eerste keuze) | N |
| Beenmergpunctie/beenmergbiopsie | 71 |
| Immunofenotypering | 3 |
| Geen antwoord | 1 |
| Andere, gelieve te preciseren | 1 |
| Cytochemie | 1 |

| | |
|--|----|
| Onderzoek (tweede keuze) | N |
| Immunofenotypering | 44 |
| Cytogenetisch onderzoek/moleculaire biologie | 28 |
| Beenmergpunctie/beenmergbiopsie | 3 |
| Geen antwoord | 2 |

| | |
|--|----|
| Onderzoek (derde keuze) | N |
| Cytogenetisch onderzoek/moleculaire biologie | 42 |
| Immunofenotypering | 25 |
| Geen antwoord | 8 |
| Andere, gelieve te preciseren | 1 |
| Beenmergpunctie/beenmergbiopsie | 1 |

H/17598DIGIT

| Bloedformule | Mediaan | SD | CV | N |
|--------------------------------------|---------|-----|------|-----|
| Neutrofiële segment- + staafkernigen | 58.1 | 0.1 | 0.1 | 143 |
| Eosinofiele segmentkernigen | 5.0 | 0.1 | 3.0 | 143 |
| Basofiele segmentkernigen | 1.9 | 0.1 | 3.9 | 143 |
| Lymfocyten | 26.7 | 4.0 | 15.0 | 107 |
| Reactionele lymfocyten | 7.8 | 4.8 | 61.8 | 38 |
| Lymfocyten totaal | 26.7 | 0.2 | 0.8 | 143 |
| Monocyten | 8.2 | 0.4 | 5.4 | 142 |
| Promyelocyten | | | | 1 |
| Neutrofiële myelocyten | | | | |
| Eosinofiele myelocyten | | | | |
| Neutrofiële metamyelocyten | | | | 2 |
| Eosinofiele metamyelocyten | | | | |
| Blasten | | | | 1 |
| Andere cellen | | | | 2 |
| Totaal aantal WBC | 100.0 | 0.0 | 0.0 | 143 |
| Erytroblasten (per 100 WBC) | | | | 2 |

| Morfologisch significante afwijkingen van de rode bloedcellen | Geen | + | ++ | +++ |
|---|------|---|----|-----|
| Afwijkingen in grootte | | | | |
| Anisocytose | 134 | 8 | | |
| Microcytose | 142 | | | |
| Macrocytose | 142 | | | |

| Vormafwijking | | | | | |
|---|-----|---|--|--|--|
| Poikilocytose | 141 | 1 | | | |
| Echinocyten | 141 | 1 | | | |
| Acanthocyten | 142 | | | | |
| Annulocyten | 142 | | | | |
| Schistocyten ('fragmentocyten') | 141 | 1 | | | |
| Traancellen ('teardrop-cells') | 142 | | | | |
| Drepanocyten ('sickle-cells') | 142 | | | | |
| Schietschijfcellen ('target-cells') | 142 | | | | |
| Sferocyten | 141 | 1 | | | |
| Ovalocyten - elliptocyten | 141 | 1 | | | |
| Stomatocyten | 136 | 6 | | | |
| Bite cells | 142 | | | | |
| Hemighosts | 142 | | | | |
| Ghost cells | 142 | | | | |
| Kleurafwijkingen | | | | | |
| Hypochromie | 142 | | | | |
| Polychromasie | 141 | 1 | | | |
| Inclusies | | | | | |
| Howell-Jolly lichaampjes | 142 | | | | |
| Basofiele stippeling / Pappenheimer lichaampjes | 141 | 1 | | | |
| Intra-erythrocytaire parasieten | 142 | | | | |
| Afwijkingen in verdeling | | | | | |
| Geldrolvorming (rouleaux) | 141 | 1 | | | |
| Agglutinatien | 142 | | | | |
| Dubbele populatie (grootte) | 142 | | | | |
| Dubbele populatie (kleuring) | 142 | | | | |

| | | | | |
|--|------|----|----|-----|
| Morfologisch significante afwijkingen van de witte bloedcellen | Geen | + | ++ | +++ |
| Hypersegmentatie van de neutrofielen | 142 | | | |
| Toxische korreling | 122 | 19 | 1 | |
| Döhle lichaampjes | 142 | | | |
| Hypogranulatie van de neutrofiële segmentkernigen | 142 | | | |
| Kernafwijkingen van de neutrofielen | 142 | | | |
| Auerstaafjes | 142 | | | |
| (pseudo)-Pelger-Huet | 141 | 1 | | |
| Gumprechtse cellen (kernschimmen) | 142 | | | |
| Lymfocyten met 'geblokt chromatine' | 142 | | | |
| (Lymfo-)plasmocyttaire cellen | 142 | | | |
| Haarcellen ('hairy cells') | 142 | | | |
| Sézary cellen | 141 | | 1 | |
| 'Large granular lymphocytes' | 127 | 14 | 1 | |
| Andere lymfomateuze cellen | 142 | | | |
| Reactionele lymfocyten | 117 | 24 | 1 | |
| Gevacuuliseerde lymfocyten | 142 | | | |
| Andere leukocyten | 140 | 2 | | |

| | | | | |
|--------------------------------|------|---|----|-----|
| Afwijkingen van de trombocyten | Geen | + | ++ | +++ |
| Trombopenisch uitstrijkje | 142 | | | |
| Trombocytemisch uitstrijkje | 142 | | | |
| Trombocytenaggregaten | 142 | | | |
| Macrotrombocyten | 142 | | | |
| Dysplasie (korrelafwijkingen) | 142 | | | |

| | | | | |
|--|------|---|----|-----|
| Andere afwijkingen | Geen | + | ++ | +++ |
| Hyperproteïnemie (achtergrondkleuring) | 142 | | | |
| Extra-erythrocytaire parasieten | 142 | | | |

| Diagnostische oriëntatie | |
|--|-----|
| Diagnose (eerste keuze) | N |
| Binnen de normale grenzen, geen bijkomende onderzoeken vereist | 135 |
| Infectieus, inflammatoir of toxisch proces | 6 |
| Geen antwoord | 1 |

| | |
|--|-----|
| Diagnose (tweede keuze) | N |
| Geen antwoord | 135 |
| Infectieus, inflammatoir of toxisch proces | 5 |
| Binnen de normale grenzen, geen bijkomende onderzoeken vereist | 2 |

| | |
|--|-----|
| Diagnose (derde keuze) | N |
| Geen antwoord | 141 |
| Binnen de normale grenzen, geen bijkomende onderzoeken vereist | 1 |

| | |
|--------------------------|----|
| Onderzoek (eerste keuze) | N |
| Geen antwoord | 83 |
| Geen bijkomend onderzoek | 50 |
| Infectieuze serologie | 8 |
| Levertesten | 1 |

| | |
|--------------------------|-----|
| Onderzoek (tweede keuze) | N |
| Geen antwoord | 139 |
| Geen bijkomend onderzoek | 1 |
| Levertesten | 1 |
| Infectieuze serologie | 1 |

| | |
|--------------------------------|-----|
| Onderzoek (derde keuze) | N |
| Geen antwoord | 139 |
| Geen bijkomend onderzoek | 1 |
| Immunofenotypering | 1 |
| Inflammatoire parameters (CRP) | 1 |

Staalmetaal

Bij een gezonde vrijwilliger werd door de Dienst voor het Bloed (Mechelen) een bloedzak afgenomen op EDTA, die vervolgens licht gestabiliseerd (0.025% glutardialdehyde) en verdeeld werd door Sciensano (bloedmonster **H/17594**).

De homogeniteit van het staal werd getest op hemoglobine, hematocriet en witte bloedcellen aan de hand van een incrementele methode¹.

De twee stalen H/17595 en H/17596 zijn commerciële gestabiliseerde bloed stalen van de firma DIAGON Kft. Hongarije (EQC1 en EQC2, lot 4, 2020).

Alle stalen waren negatief voor HIV 1 en 2, hepatitis B surface antigeen en hepatitis C.

Vermits het controlemateriaal H/17594 vers was, was het uitermate belangrijk om de stalen zo vlug mogelijk na ontvangst te analyseren. Om de stalen zo vlug mogelijk ter plaatse te brengen werd gebruik gemaakt van 'Taxipost 24h'. De laboratoria werden op dag 0 via e-mail op de hoogte gebracht van de verzending (dag 0: dag van verzending en afname).

Deelname

186 Belgische laboratoria hebben aan deze ronde deelgenomen. Elke deelnemer kon maximaal drie resultaten invullen die zijn verkregen met drie verschillende methoden.

Resultaten

182 deelnemers (98%) ontvingen de stalen binnen 48 uur na verzending: 159 deelnemers op dag 1 en 23 op dag 2.

153 deelnemers (82%) voerden de analyses uit op dag 1, 28 deelnemers (15%) op dag 2, vier (2%) op dag 3 en één (1%) op dag 7.

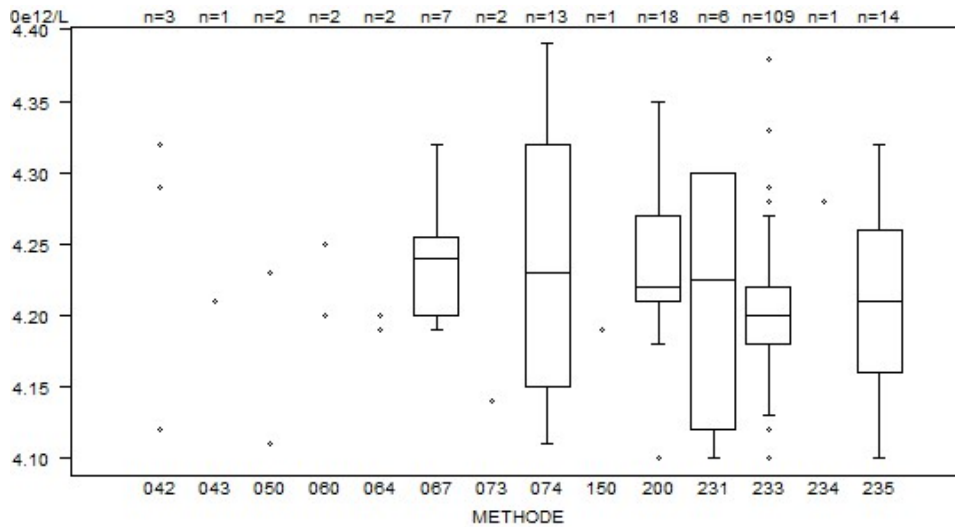
Reticulocyten

Voor de reticulocyten bedraagt de CV voor alle methoden samen 13.5% voor het staal H/17594. De globale mediaan bedraagt 1.24% van de RBC (N=159).

1. Alternative Sample-Homogeneity Test for Quantitative and Qualitative Proficiency Testing Schemes. Coucke et al. Anal Chem. 2020 Jan 4.

Overzicht tabellen van de antwoorden van de laboratoria

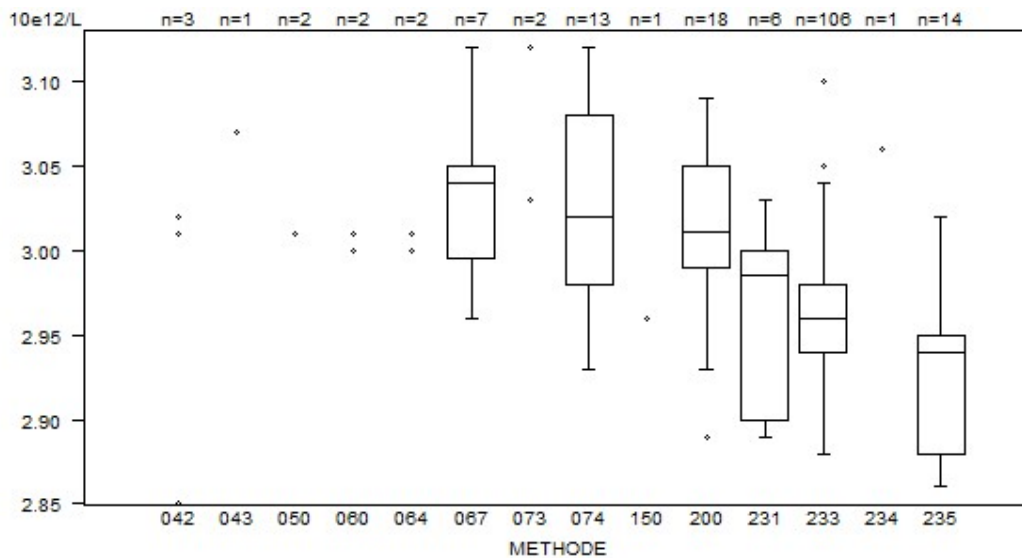
| Rode bloedcellen - d (%) : 4.0 | H/17594 | | | |
|--|--------------------|---------------|---------|-----|
| METHODE | Mediaan 10e12/L | SD 10e12/L | CV % | N |
| 043 Abbott Cell-Dyn Emerald | 4.21 | | | 1 |
| 042 Abbott Cell-Dyn Ruby | 4.12 | 4.29 | 4.32 | 3 |
| 150 Beckman Coulter LH 500/750/755/780 | 4.19 | | | 1 |
| 200 Beckman Coulter Unicel DxH 800 / DxH 900 | 4.22 | 0.04 | 1.1 | 18 |
| 050 OTHER | 4.11 | 4.23 | | 2 |
| 074 Siemens Advia 120/2120/2120i | 4.23 | 0.13 | 3.0 | 13 |
| 064 Sysmex KX 21 | 4.19 | 4.20 | | 2 |
| 073 Sysmex poch-100i | 4.06 | 4.14 | | 2 |
| 067 Sysmex XE 2100(D)/XE-alpha/HST 430/XE 5000 | 4.24 | 0.04 | 1.0 | 7 |
| 233 Sysmex XN 1000/XN 1500/XN 2000/XN 3000/XN 3100/XN 9000/XN 9100 | 4.20 | 0.03 | 0.7 | 109 |
| 235 Sysmex XN 350/XN 450/XN 550 | 4.21 | 0.07 | 1.8 | 14 |
| 234 Sysmex XP300 | 4.28 | | | 1 |
| 231 Sysmex XS 1000i/XS 800i | 4.23 | 0.13 | 3.2 | 6 |
| 060 Sysmex XT 2000i/XT 1800i/XT 4000i | 4.20 | 4.25 | | 2 |
| Globaal resultaat | 4.20 | 0.04 | 0.9 | 181 |



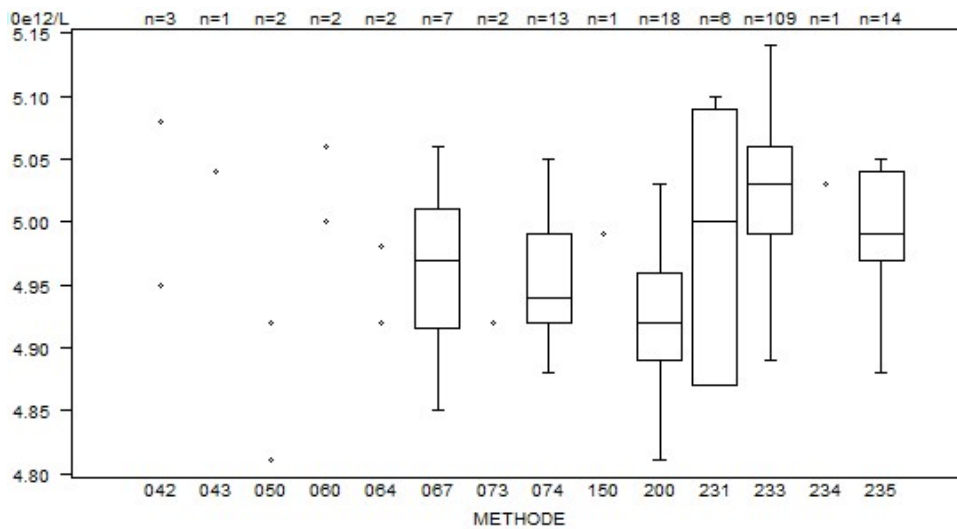
Niet weergegeven op de grafiek

| Methode | Resultaat |
|---------|-------------------|
| 067 | = 4.08 10e12/L |
| 073 | = 4.06 10e12/L |
| 200 | = 4.5 10e12/L |
| 233 | = 4.99 10e12/L |

| Rode bloedcellen - d (%) : 4.0 | | H/17595 | | | |
|--------------------------------|--|--------------------|---------------|---------|-----|
| METHODE | | Mediaan 10e12/L | SD 10e12/L | CV % | N |
| 043 | Abbott Cell-Dyn Emerald | 3.07 | | | 1 |
| 042 | Abbott Cell-Dyn Ruby | 2.85 | 3.01 | 3.02 | 3 |
| 150 | Beckman Coulter LH 500/750/755/780 | 2.96 | | | 1 |
| 200 | Beckman Coulter Unicel DxH 800 / DxH 900 | 3.01 | 0.04 | 1.5 | 18 |
| 050 | OTHER | 2.84 | 3.01 | | 2 |
| 074 | Siemens Advia 120/2120/2120i | 3.02 | 0.07 | 2.5 | 13 |
| 064 | Sysmex KX 21 | 3.00 | | 3.01 | 2 |
| 073 | Sysmex poch-100i | 3.03 | | 3.12 | 2 |
| 067 | Sysmex XE 2100(D)/XE-alpha/HST 430/XE 5000 | 3.04 | 0.04 | 1.3 | 7 |
| 233 | Sysmex XN 1000/XN 1500/XN 2000/XN 3000/XN 3100/XN 9000/XN 9100 | 2.96 | 0.03 | 1.0 | 106 |
| 235 | Sysmex XN 350/XN 450/XN 550 | 2.94 | 0.05 | 1.8 | 14 |
| 234 | Sysmex XP300 | 3.06 | | | 1 |
| 231 | Sysmex XS 1000i/XS 800i | 2.99 | 0.07 | 2.5 | 6 |
| 060 | Sysmex XT 2000i/XT 1800i/XT 4000i | 3.00 | | 3.01 | 2 |
| Globaal resultaat | | 2.97 | 0.05 | 1.7 | 177 |



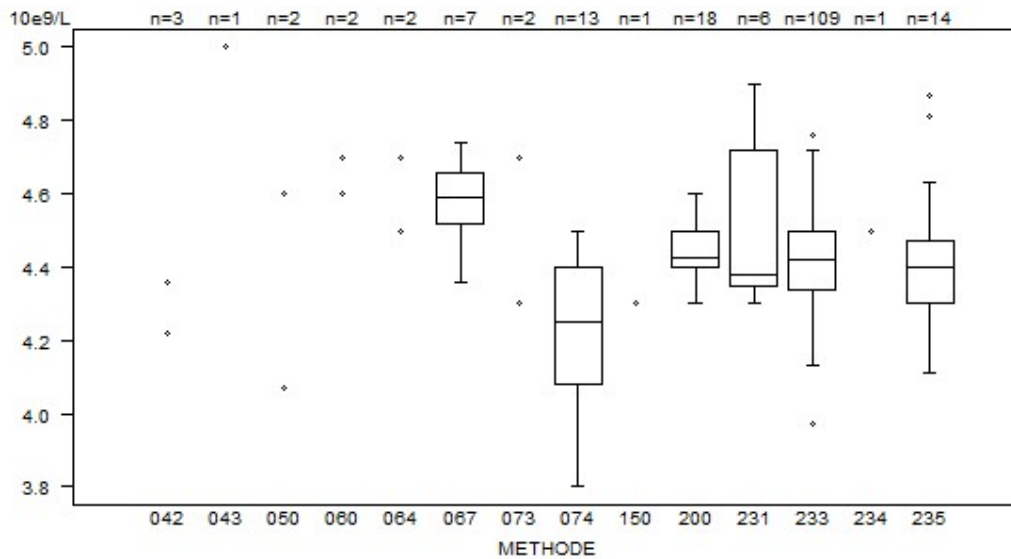
| Rode bloedcellen - d (%) : 4.0 | | H/17596 | | | |
|--------------------------------|--|--------------------|---------------|---------|-----|
| METHODE | | Mediaan 10e12/L | SD 10e12/L | CV % | N |
| 043 | Abbott Cell-Dyn Emerald | 5.04 | | | 1 |
| 042 | Abbott Cell-Dyn Ruby | 4.95 | 5.08 | 5.17 | 3 |
| 150 | Beckman Coulter LH 500/750/755/780 | 4.99 | | | 1 |
| 200 | Beckman Coulter Unicel DxH 800 / DxH 900 | 4.92 | 0.05 | 1.1 | 18 |
| 050 | OTHER | 4.81 | 4.92 | | 2 |
| 074 | Siemens Advia 120/2120/2120i | 4.94 | 0.05 | 1.1 | 13 |
| 064 | Sysmex KX 21 | 4.92 | 4.98 | | 2 |
| 073 | Sysmex poch-100i | 4.92 | 5.18 | | 2 |
| 067 | Sysmex XE 2100(D)/XE-alpha/HST 430/XE 5000 | 4.97 | 0.07 | 1.4 | 7 |
| 233 | Sysmex XN 1000/XN 1500/XN 2000/XN 3000/XN 3100/XN 9000/XN 9100 | 5.03 | 0.05 | 1.0 | 109 |
| 235 | Sysmex XN 350/XN 450/XN 550 | 4.99 | 0.05 | 1.0 | 14 |
| 234 | Sysmex XP300 | 5.03 | | | 1 |
| 231 | Sysmex XS 1000i/XS 800i | 5.00 | 0.16 | 3.3 | 6 |
| 060 | Sysmex XT 2000i/XT 1800i/XT 4000i | 5.00 | 5.06 | | 2 |
| Globaal resultaat | | 5.00 | 0.07 | 1.5 | 181 |



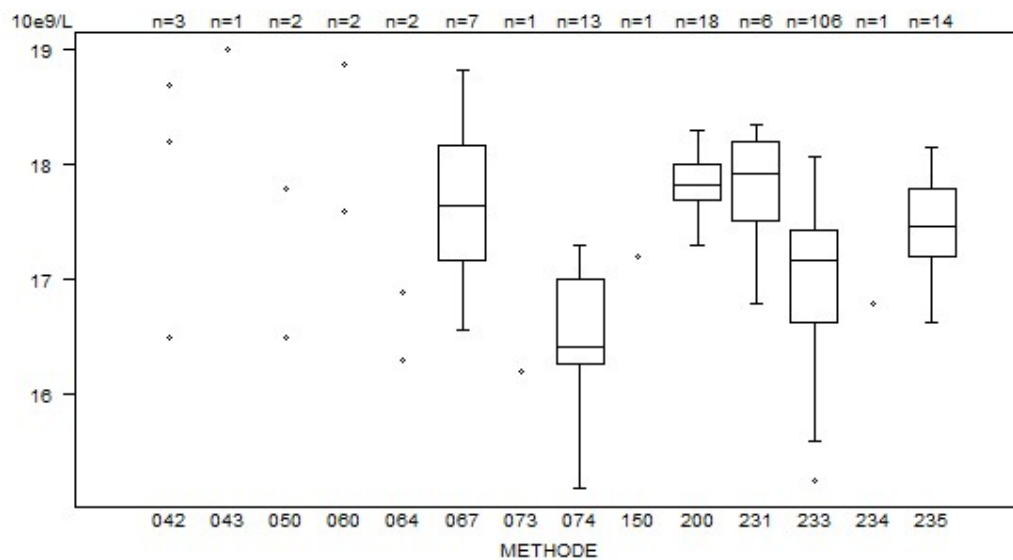
Niet weergegeven op de grafiek

| Methode | Resultaat |
|---------|-------------------|
| 074 | = 4.73 10e12/L |
| 042 | = 5.17 10e12/L |
| 073 | = 5.18 10e12/L |
| 233 | = 5.2 10e12/L |
| 235 | = 5.18 10e12/L |
| 235 | = 5.19 10e12/L |

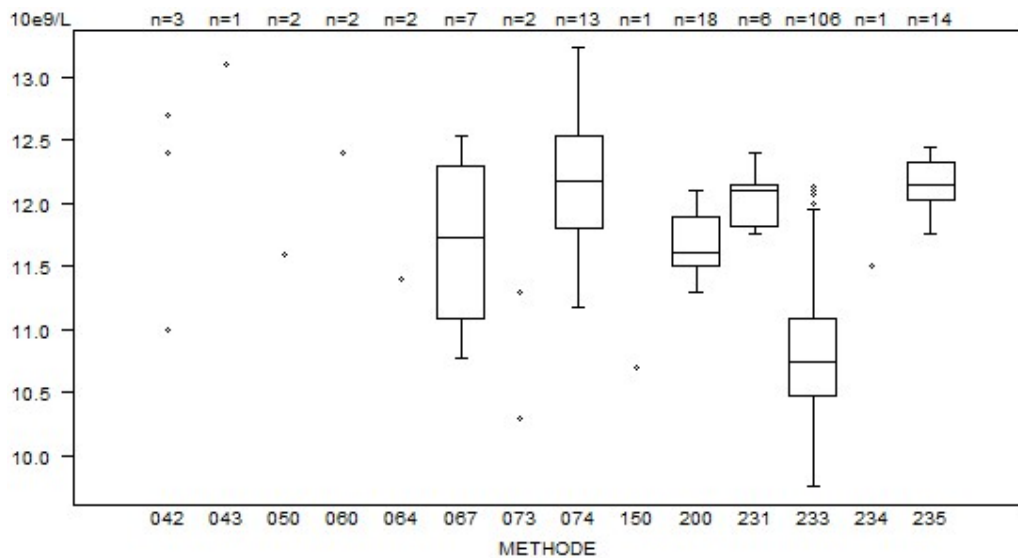
| Witte bloedcellen - d (%) : 10.0 | H/17594 | | | |
|--|-------------------|--------------|---------|-----|
| METHODE | Mediaan 10e9/L | SD 10e9/L | CV % | N |
| 043 Abbott Cell-Dyn Emerald | 5.00 | | | 1 |
| 042 Abbott Cell-Dyn Ruby | 3.45 | 4.22 | 4.36 | 3 |
| 150 Beckman Coulter LH 500/750/755/780 | 4.30 | | | 1 |
| 200 Beckman Coulter Unicel DxH 800 / DxH 900 | 4.43 | 0.07 | 1.7 | 18 |
| 050 OTHER | 4.07 | 4.60 | | 2 |
| 074 Siemens Advia 120/2120/2120i | 4.25 | 0.24 | 5.6 | 13 |
| 064 Sysmex KX 21 | 4.50 | 4.70 | | 2 |
| 073 Sysmex poch-100i | 4.30 | 4.70 | | 2 |
| 067 Sysmex XE 2100(D)/XE-alpha/HST 430/XE 5000 | 4.59 | 0.10 | 2.2 | 7 |
| 233 Sysmex XN 1000/XN 1500/XN 2000/XN 3000/XN 3100/XN 9000/XN 9100 | 4.42 | 0.12 | 2.7 | 109 |
| 235 Sysmex XN 350/XN 450/XN 550 | 4.40 | 0.13 | 2.9 | 14 |
| 234 Sysmex XP300 | 4.50 | | | 1 |
| 231 Sysmex XS 1000i/XS 800i | 4.38 | 0.27 | 6.3 | 6 |
| 060 Sysmex XT 2000i/XT 1800i/XT 4000i | 4.60 | 4.70 | | 2 |
| Globaal resultaat | 4.42 | 0.13 | 3.0 | 181 |



| Witte bloedcellen - d (%) : 10.0 | H/17595 | | | |
|--|-------------------|--------------|---------|-----|
| METHODE | Mediaan 10e9/L | SD 10e9/L | CV % | N |
| 043 Abbott Cell-Dyn Emerald | 19.00 | | | 1 |
| 042 Abbott Cell-Dyn Ruby | 16.50 | 18.20 | 18.70 | 3 |
| 150 Beckman Coulter LH 500/750/755/780 | 17.20 | | | 1 |
| 200 Beckman Coulter Unicel DxH 800 / DxH 900 | 17.83 | 0.22 | 1.2 | 18 |
| 050 OTHER | 16.50 | 17.80 | | 2 |
| 074 Siemens Advia 120/2120/2120i | 16.41 | 0.54 | 3.3 | 13 |
| 064 Sysmex KX 21 | 16.30 | 16.90 | | 2 |
| 073 Sysmex poch-100i | 16.20 | | | 1 |
| 067 Sysmex XE 2100(D)/XE-alpha/HST 430/XE 5000 | 17.64 | 0.73 | 4.2 | 7 |
| 233 Sysmex XN 1000/XN 1500/XN 2000/XN 3000/XN 3100/XN 9000/XN 9100 | 17.16 | 0.59 | 3.5 | 106 |
| 235 Sysmex XN 350/XN 450/XN 550 | 17.46 | 0.44 | 2.5 | 14 |
| 234 Sysmex XP300 | 16.80 | | | 1 |
| 231 Sysmex XS 1000i/XS 800i | 17.93 | 0.51 | 2.9 | 6 |
| 060 Sysmex XT 2000i/XT 1800i/XT 4000i | 17.60 | 18.87 | | 2 |
| Globaal resultaat | 17.25 | 0.74 | 4.3 | 176 |



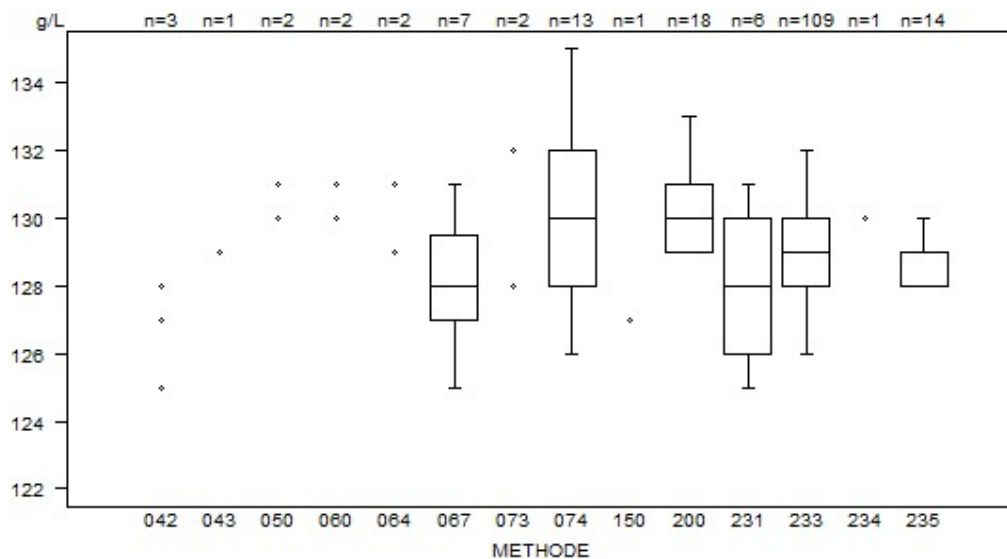
| Witte bloedcellen - d (%) : 10.0 | H/17596 | | | |
|--|-------------------|--------------|---------|-----|
| METHODE | Mediaan 10e9/L | SD 10e9/L | CV % | N |
| 043 Abbott Cell-Dyn Emerald | 13.10 | | | 1 |
| 042 Abbott Cell-Dyn Ruby | 11.00 | 12.40 | 12.70 | 3 |
| 150 Beckman Coulter LH 500/750/755/780 | 10.70 | | | 1 |
| 200 Beckman Coulter Unicel DxH 800 / DxH 900 | 11.61 | 0.30 | 2.6 | 18 |
| 050 OTHER | 11.60 | 11.60 | | 2 |
| 074 Siemens Advia 120/2120/2120i | 12.18 | 0.54 | 4.4 | 13 |
| 064 Sysmex KX 21 | 11.40 | 11.40 | | 2 |
| 073 Sysmex poch-100i | 10.30 | 11.30 | | 2 |
| 067 Sysmex XE 2100(D)/XE-alpha/HST 430/XE 5000 | 11.73 | 0.89 | 7.6 | 7 |
| 233 Sysmex XN 1000/XN 1500/XN 2000/XN 3000/XN 3100/XN 9000/XN 9100 | 10.75 | 0.44 | 4.1 | 106 |
| 235 Sysmex XN 350/XN 450/XN 550 | 12.15 | 0.22 | 1.8 | 14 |
| 234 Sysmex XP300 | 11.50 | | | 1 |
| 231 Sysmex XS 1000i/XS 800i | 12.11 | 0.24 | 2.0 | 6 |
| 060 Sysmex XT 2000i/XT 1800i/XT 4000i | 12.40 | 13.38 | | 2 |
| Globaal resultaat | 11.11 | 0.92 | 8.3 | 177 |



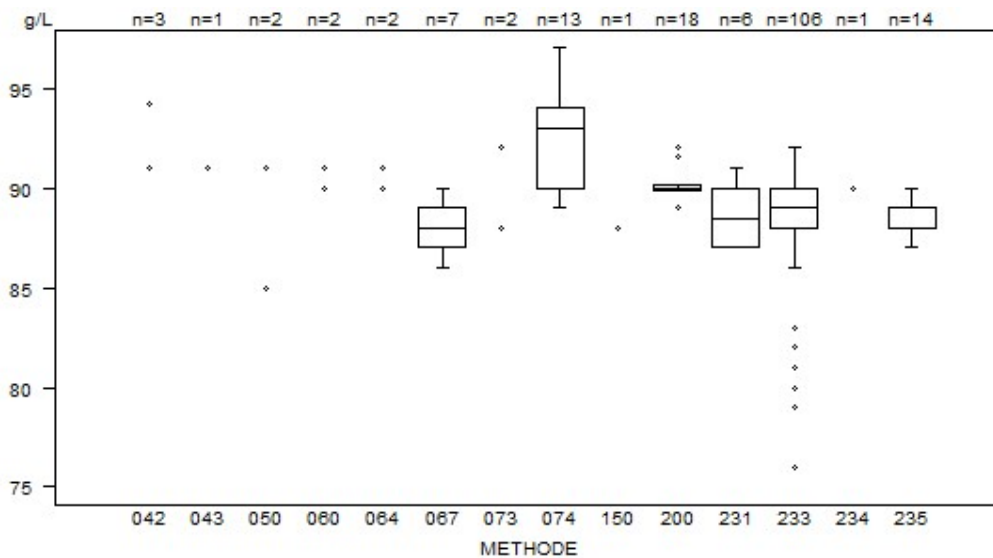
Niet weergegeven op de grafiek

| Methode | Resultaat |
|---------|-------------------|
| 233 | = 9.02 10e9/L |
| 233 | = 9.28 10e9/L |
| 233 | = 9.25 10e9/L |
| 060 | = 13.38 10e9/L |
| 233 | = 40.78 10e9/L |

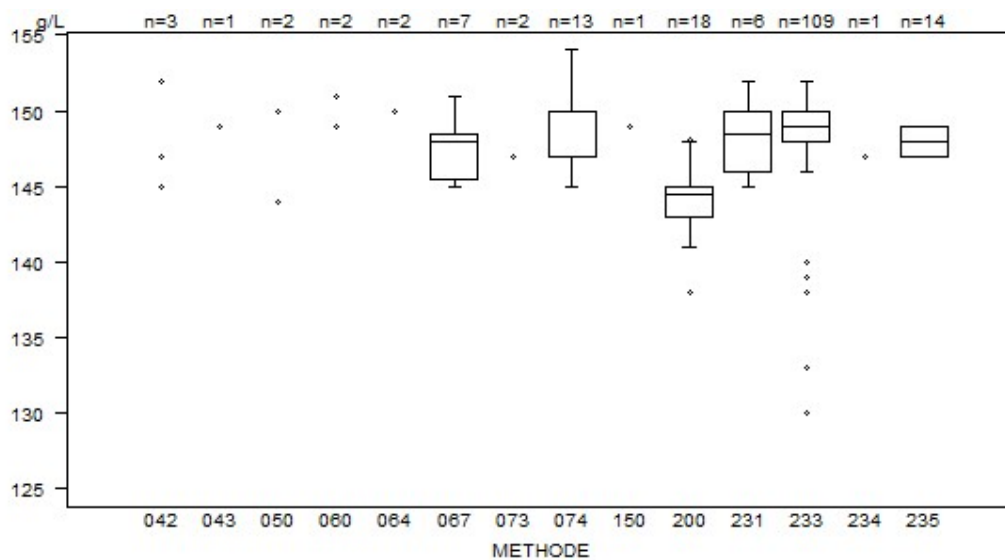
| Hemoglobine - d (%) : 4.0 | H/17594 | | | |
|--|----------------|-----------|---------|-----|
| METHODE | Mediaan g/L | SD g/L | CV % | N |
| 043 Abbott Cell-Dyn Emerald | 129 | | | 1 |
| 042 Abbott Cell-Dyn Ruby | 125 | 127 | 128 | 3 |
| 150 Beckman Coulter LH 500/750/755/780 | 127 | | | 1 |
| 200 Beckman Coulter Unicel DxH 800 / DxH 900 | 130 | 1 | 1.1 | 18 |
| 050 OTHER | 130 | 131 | | 2 |
| 074 Siemens Advia 120/2120/2120i | 130 | 3 | 2.3 | 13 |
| 064 Sysmex KX 21 | 129 | 131 | | 2 |
| 073 Sysmex poch-100i | 128 | 132 | | 2 |
| 067 Sysmex XE 2100(D)/XE-alpha/HST 430/XE 5000 | 128 | 2 | 1.4 | 7 |
| 233 Sysmex XN 1000/XN 1500/XN 2000/XN 3000/XN 3100/XN 9000/XN 9100 | 129 | 1 | 1.1 | 109 |
| 235 Sysmex XN 350/XN 450/XN 550 | 129 | 1 | 0.6 | 14 |
| 234 Sysmex XP300 | 130 | | | 1 |
| 231 Sysmex XS 1000i/XS 800i | 128 | 3 | 2.3 | 6 |
| 060 Sysmex XT 2000i/XT 1800i/XT 4000i | 130 | 131 | | 2 |
| Globaal resultaat | 129 | 1 | 1.1 | 177 |



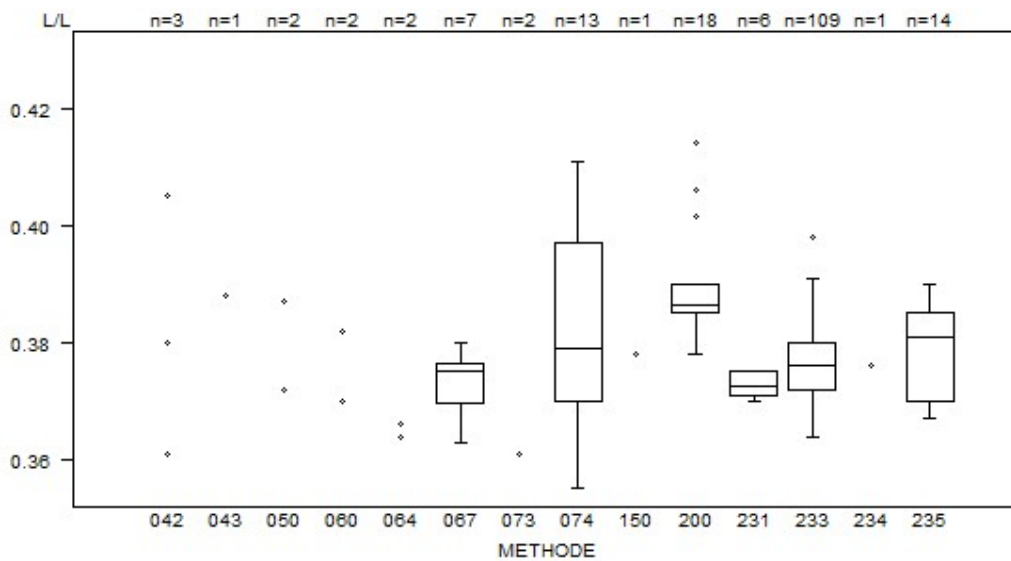
| Hemoglobine - d (%) : 4.0 | H/17595 | | | |
|--|----------------|-----------|---------|-----|
| METHODE | Mediaan g/L | SD g/L | CV % | N |
| 043 Abbott Cell-Dyn Emerald | 91 | | | 1 |
| 042 Abbott Cell-Dyn Ruby | 91 | 91 | 94 | 3 |
| 150 Beckman Coulter LH 500/750/755/780 | 88 | | | 1 |
| 200 Beckman Coulter Unicel DxH 800 / DxH 900 | 90 | 0 | 0.2 | 18 |
| 050 OTHER | 85 | 91 | | 2 |
| 074 Siemens Advia 120/2120/2120i | 93 | 3 | 3.2 | 13 |
| 064 Sysmex KX 21 | 90 | 91 | | 2 |
| 073 Sysmex poch-100i | 88 | 92 | | 2 |
| 067 Sysmex XE 2100(D)/XE-alpha/HST 430/XE 5000 | 88 | 1 | 1.7 | 7 |
| 233 Sysmex XN 1000/XN 1500/XN 2000/XN 3000/XN 3100/XN 9000/XN 9100 | 89 | 1 | 1.7 | 106 |
| 235 Sysmex XN 350/XN 450/XN 550 | 88 | 1 | 0.8 | 14 |
| 234 Sysmex XP300 | 90 | | | 1 |
| 231 Sysmex XS 1000i/XS 800i | 89 | 2 | 2.5 | 6 |
| 060 Sysmex XT 2000i/XT 1800i/XT 4000i | 90 | 91 | | 2 |
| Globaal resultaat | 89 | 1 | 1.7 | 177 |



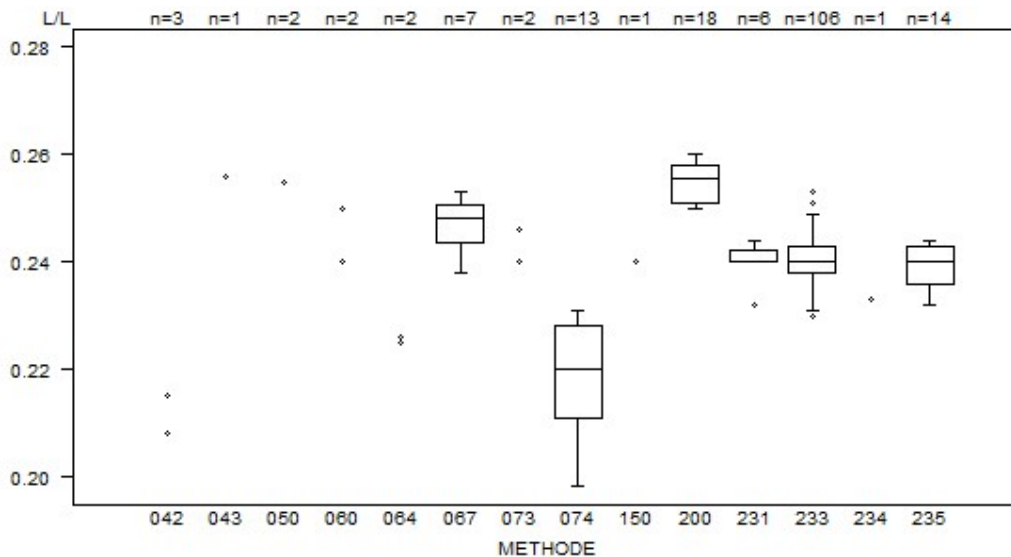
| Hemoglobine - d (%) : 4.0 | H/17596 | | | |
|--|----------------|-----------|---------|-----|
| METHODE | Mediaan g/L | SD g/L | CV % | N |
| 043 Abbott Cell-Dyn Emerald | 149 | | | 1 |
| 042 Abbott Cell-Dyn Ruby | 145 | 147 | 152 | 3 |
| 150 Beckman Coulter LH 500/750/755/780 | 149 | | | 1 |
| 200 Beckman Coulter Unicel DxH 800 / DxH 900 | 145 | 1 | 1.0 | 18 |
| 050 OTHER | 144 | 150 | | 2 |
| 074 Siemens Advia 120/2120/2120i | 147 | 2 | 1.5 | 13 |
| 064 Sysmex KX 21 | 150 | 150 | | 2 |
| 073 Sysmex poch-100i | 147 | 156 | | 2 |
| 067 Sysmex XE 2100(D)/XE-alpha/HST 430/XE 5000 | 148 | 2 | 1.5 | 7 |
| 233 Sysmex XN 1000/XN 1500/XN 2000/XN 3000/XN 3100/XN 9000/XN 9100 | 149 | 1 | 1.0 | 109 |
| 235 Sysmex XN 350/XN 450/XN 550 | 148 | 1 | 1.0 | 14 |
| 234 Sysmex XP300 | 147 | | | 1 |
| 231 Sysmex XS 1000i/XS 800i | 149 | 3 | 2.0 | 6 |
| 060 Sysmex XT 2000i/XT 1800i/XT 4000i | 149 | 151 | | 2 |
| Globaal resultaat | 149 | 2 | 1.5 | 181 |



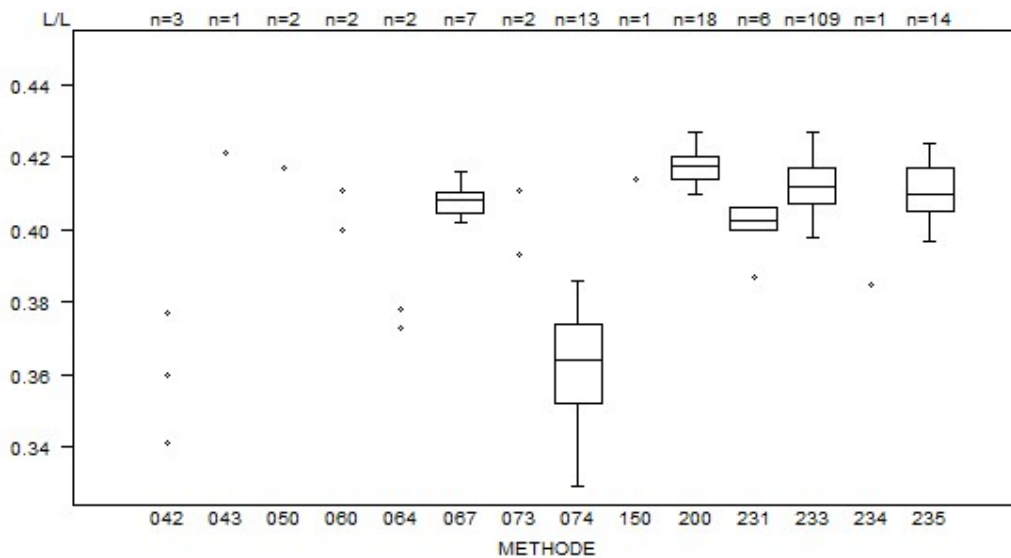
| Hematocriet - d (%) : 5.0 | | H/17594 | | | |
|--|-------------|----------------|-------|-----|--|
| METHODE | Mediaan L/L | SD L/L | CV % | N | |
| 043 Abbott Cell-Dyn Emerald | 0.388 | | | 1 | |
| 042 Abbott Cell-Dyn Ruby | 0.361 | 0.380 | 0.405 | 3 | |
| 150 Beckman Coulter LH 500/750/755/780 | 0.378 | | | 1 | |
| 200 Beckman Coulter Unicel DxH 800 / DxH 900 | 0.387 | 0.004 | 1.0 | 18 | |
| 050 OTHER | 0.372 0.387 | | | 2 | |
| 074 Siemens Advia 120/2120/2120i | 0.379 | 0.020 | 5.3 | 13 | |
| 064 Sysmex KX 21 | 0.364 0.366 | | | 2 | |
| 073 Sysmex pocH-100i | 0.343 0.361 | | | 2 | |
| 067 Sysmex XE 2100(D)/XE-alpha/HST 430/XE 5000 | 0.375 | 0.005 | 1.4 | 7 | |
| 233 Sysmex XN 1000/XN 1500/XN 2000/XN 3000/XN 3100/XN 9000/XN 9100 | 0.376 | 0.006 | 1.6 | 109 | |
| 235 Sysmex XN 350/XN 450/XN 550 | 0.381 | 0.011 | 2.9 | 14 | |
| 234 Sysmex XP300 | 0.376 | | | 1 | |
| 231 Sysmex XS 1000i/XS 800i | 0.373 | 0.003 | 0.8 | 6 | |
| 060 Sysmex XT 2000i/XT 1800i/XT 4000i | 0.370 0.382 | | | 2 | |
| Globaal resultaat | 0.377 | 0.009 | 2.4 | 181 | |



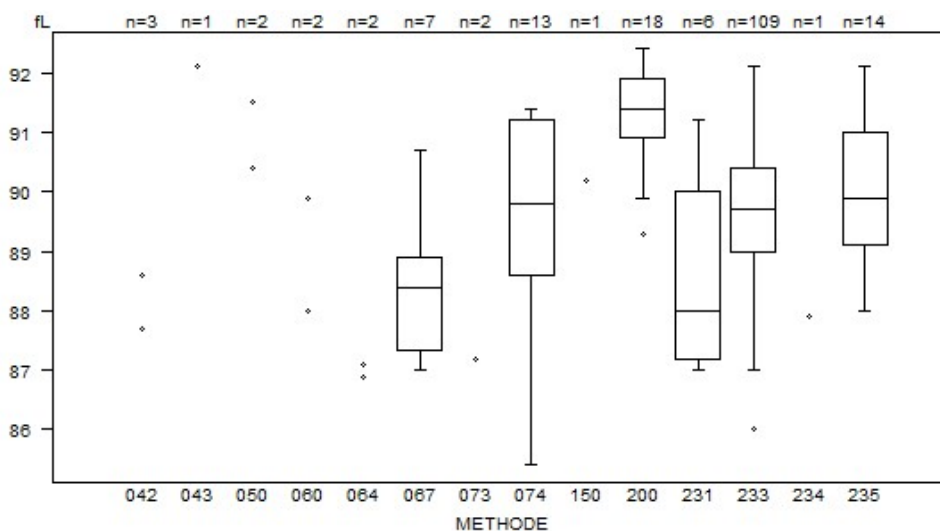
| Hematocriet - d (%) : 5.0 | | H/17595 | | | |
|---------------------------|--|----------------|-----------|---------|-----|
| METHODE | | Mediaan L/L | SD L/L | CV % | N |
| 043 | Abbott Cell-Dyn Emerald | 0.256 | | | 1 |
| 042 | Abbott Cell-Dyn Ruby | 0.190 | 0.208 | 0.215 | 3 |
| 150 | Beckman Coulter LH 500/750/755/780 | 0.240 | | | 1 |
| 200 | Beckman Coulter Unicel DxH 800 / DxH 900 | 0.256 | 0.005 | 2.0 | 18 |
| 050 | OTHER | 0.145 | 0.255 | | 2 |
| 074 | Siemens Advia 120/2120/2120i | 0.220 | 0.013 | 5.7 | 13 |
| 064 | Sysmex KX 21 | 0.225 | 0.226 | | 2 |
| 073 | Sysmex poch-100i | 0.240 | 0.246 | | 2 |
| 067 | Sysmex XE 2100(D)/XE-alpha/HST 430/XE 5000 | 0.248 | 0.005 | 2.1 | 7 |
| 233 | Sysmex XN 1000/XN 1500/XN 2000/XN 3000/XN 3100/XN 9000/XN 9100 | 0.240 | 0.004 | 1.5 | 106 |
| 235 | Sysmex XN 350/XN 450/XN 550 | 0.240 | 0.005 | 2.2 | 14 |
| 234 | Sysmex XP300 | 0.233 | | | 1 |
| 231 | Sysmex XS 1000i/XS 800i | 0.240 | 0.001 | 0.6 | 6 |
| 060 | Sysmex XT 2000i/XT 1800i/XT 4000i | 0.240 | 0.250 | | 2 |
| Globaal resultaat | | 0.240 | 0.006 | 2.5 | 177 |



| Hematocriet - d (%) : 5.0 | H/17596 | | | |
|--|----------------|-----------|---------|-----|
| METHODE | Mediaan L/L | SD L/L | CV % | N |
| 043 Abbott Cell-Dyn Emerald | 0.421 | | | 1 |
| 042 Abbott Cell-Dyn Ruby | 0.341 | 0.360 | 0.377 | 3 |
| 150 Beckman Coulter LH 500/750/755/780 | 0.414 | | | 1 |
| 200 Beckman Coulter Unicel DxH 800 / DxH 900 | 0.418 | 0.004 | 1.1 | 18 |
| 050 OTHER | 0.273 | 0.417 | | 2 |
| 074 Siemens Advia 120/2120/2120i | 0.364 | 0.016 | 4.5 | 13 |
| 064 Sysmex KX 21 | 0.373 0.378 | | | 2 |
| 073 Sysmex poch-100i | 0.393 0.411 | | | 2 |
| 067 Sysmex XE 2100(D)/XE-alpha/HST 430/XE 5000 | 0.408 | 0.004 | 1.1 | 7 |
| 233 Sysmex XN 1000/XN 1500/XN 2000/XN 3000/XN 3100/XN 9000/XN 9100 | 0.412 | 0.007 | 1.8 | 109 |
| 235 Sysmex XN 350/XN 450/XN 550 | 0.410 | 0.009 | 2.2 | 14 |
| 234 Sysmex XP300 | 0.385 | | | 1 |
| 231 Sysmex XS 1000i/XS 800i | 0.403 | 0.004 | 1.1 | 6 |
| 060 Sysmex XT 2000i/XT 1800i/XT 4000i | 0.400 0.411 | | | 2 |
| Globaal resultaat | 0.411 | 0.008 | 2.0 | 181 |



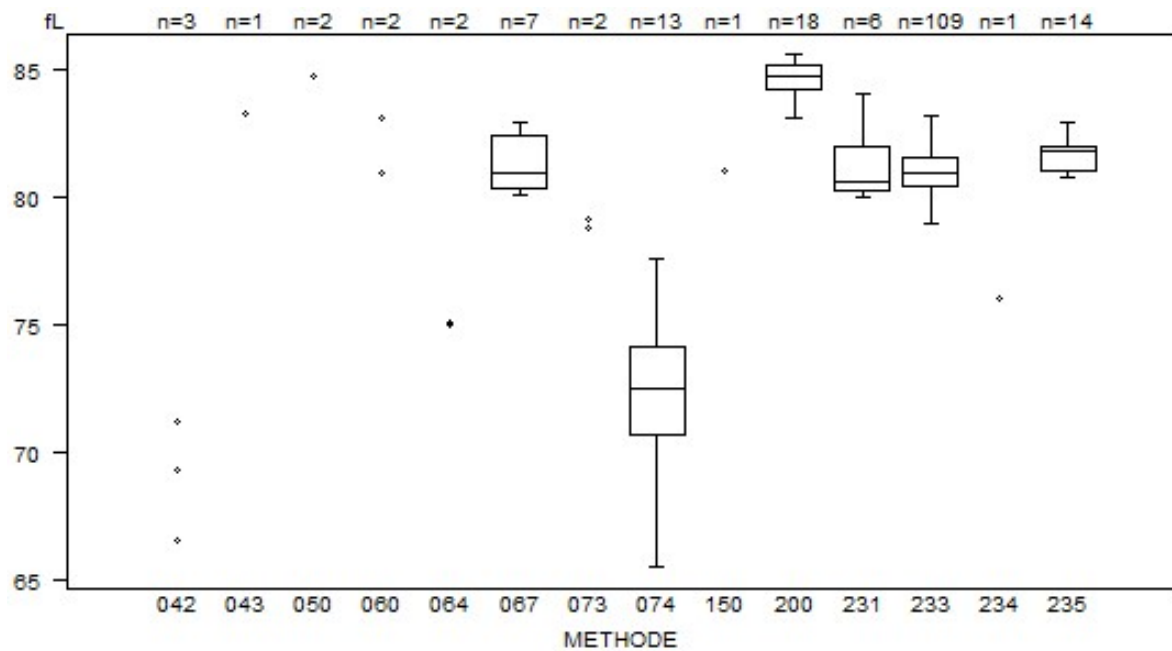
| METHODE | H/17594 | | | |
|--|---------------|----------|---------|-----|
| | Mediaan fL | SD fL | CV % | N |
| 043 Abbott Cell-Dyn Emerald | 92.1 | | | 1 |
| 042 Abbott Cell-Dyn Ruby | 87.7 | 88.6 | 93.8 | 3 |
| 150 Beckman Coulter LH 500/750/755/780 | 90.2 | | | 1 |
| 200 Beckman Coulter Unicel DxH 800 / DxH 900 | 91.4 | 0.7 | 0.8 | 18 |
| 050 OTHER | 90.4 | 91.5 | | 2 |
| 074 Siemens Advia 120/2120/2120i | 89.8 | 1.9 | 2.1 | 13 |
| 064 Sysmex KX 21 | 86.9 | | 87.1 | 2 |
| 073 Sysmex pocH-100i | 84.5 | | 87.2 | 2 |
| 067 Sysmex XE 2100(D)/XE-alpha/HST 430/XE 5000 | 88.4 | 1.1 | 1.3 | 7 |
| 233 Sysmex XN 1000/XN 1500/XN 2000/XN 3000/XN 3100/XN 9000/XN 9100 | 89.7 | 1.0 | 1.2 | 109 |
| 235 Sysmex XN 350/XN 450/XN 550 | 89.9 | 1.4 | 1.6 | 14 |
| 234 Sysmex XP300 | 87.9 | | | 1 |
| 231 Sysmex XS 1000i/XS 800i | 88.0 | 2.1 | 2.4 | 6 |
| 060 Sysmex XT 2000i/XT 1800i/XT 4000i | 88.0 | | 89.9 | 2 |
| Globaal resultaat | 89.9 | 1.6 | 1.7 | 181 |



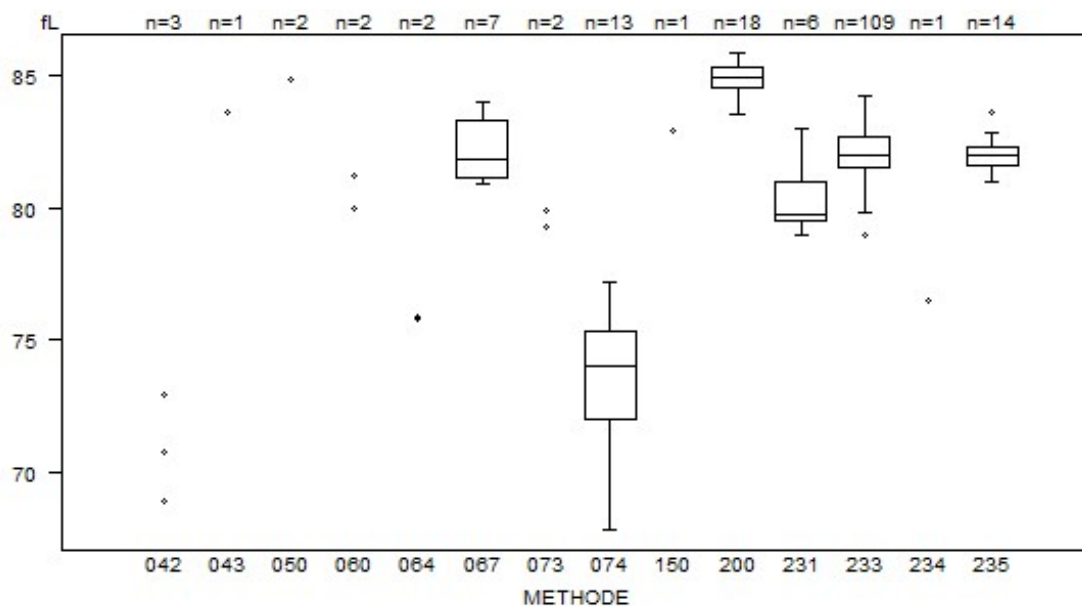
Niet weergegeven op de grafiek

| Methode | Resultaat |
|---------|-----------|
| 073 | = 84.5 fL |
| 042 | = 93.8 fL |
| 074 | = 95.4 fL |
| 200 | = 93.8 fL |
| 200 | = 95 fL |
| 233 | = 93.2 fL |

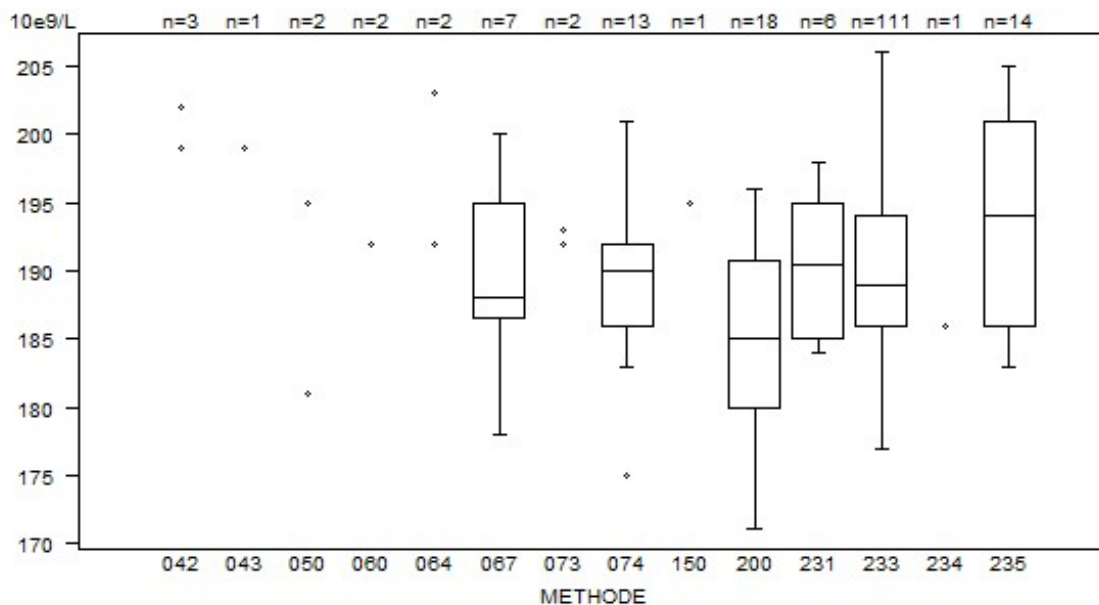
| MCV - d (%) : 5.0 | H/17595 | | | |
|--|----------------|----------|---------|-----|
| METHODE | Mediaan fL | SD fL | CV % | N |
| 043 Abbott Cell-Dyn Emerald | 83.3 | | | 1 |
| 042 Abbott Cell-Dyn Ruby | 66.6 | 69.3 | 71.2 | 3 |
| 150 Beckman Coulter LH 500/750/755/780 | 81.1 | | | 1 |
| 200 Beckman Coulter Unicel DxH 800 / DxH 900 | 84.8 | 0.7 | 0.8 | 18 |
| 050 OTHER | 51.1 | 84.8 | | 2 |
| 074 Siemens Advia 120/2120/2120i | 72.5 | 2.6 | 3.6 | 13 |
| 064 Sysmex KX 21 | 75.0 | 75.1 | | 2 |
| 073 Sysmex poch-100i | 78.8 | 79.2 | | 2 |
| 067 Sysmex XE 2100(D)/XE-alpha/HST 430/XE 5000 | 81.0 | 1.6 | 1.9 | 7 |
| 233 Sysmex XN 1000/XN 1500/XN 2000/XN 3000/XN 3100/XN 9000/XN 9100 | 81.0 | 0.8 | 1.0 | 109 |
| 235 Sysmex XN 350/XN 450/XN 550 | 81.9 | 0.7 | 0.8 | 14 |
| 234 Sysmex XP300 | 76.1 | | | 1 |
| 231 Sysmex XS 1000i/XS 800i | 80.7 | 1.3 | 1.6 | 6 |
| 060 Sysmex XT 2000i/XT 1800i/XT 4000i | 81.0 | 83.1 | | 2 |
| Globaal resultaat | 81.1 | 1.5 | 1.8 | 181 |



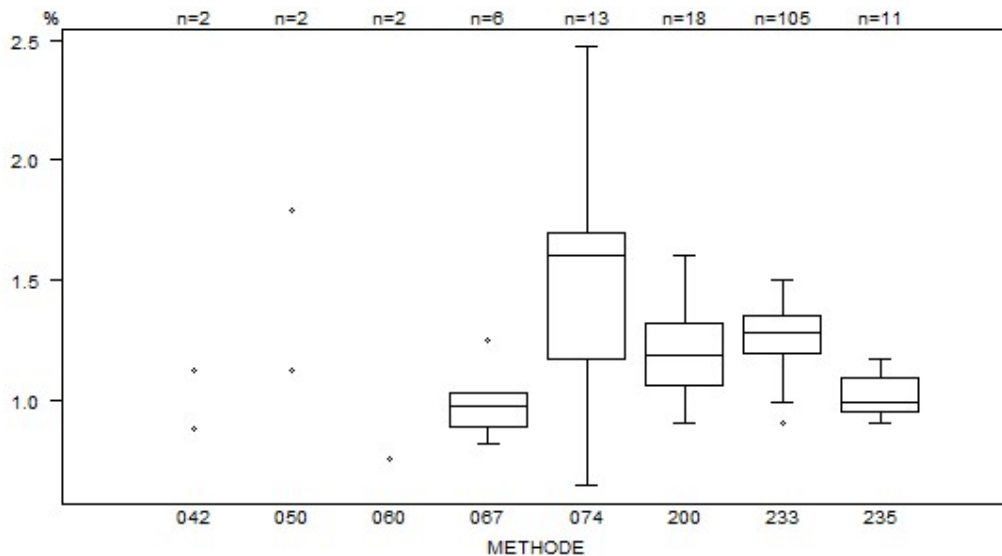
| METHODE | H/17596 | | | |
|--|---------------|----------|---------|-----|
| | Mediaan fL | SD fL | CV % | N |
| 043 Abbott Cell-Dyn Emerald | 83.6 | | | 1 |
| 042 Abbott Cell-Dyn Ruby | 68.9 | 70.8 | 72.9 | 3 |
| 150 Beckman Coulter LH 500/750/755/780 | 82.9 | | | 1 |
| 200 Beckman Coulter Unicel DxH 800 / DxH 900 | 84.9 | 0.6 | 0.7 | 18 |
| 050 OTHER | 56.8 | 84.8 | | 2 |
| 074 Siemens Advia 120/2120/2120i | 74.0 | 2.4 | 3.3 | 13 |
| 064 Sysmex KX 21 | 75.8 | 75.9 | | 2 |
| 073 Sysmex poch-100i | 79.3 | 79.9 | | 2 |
| 067 Sysmex XE 2100(D)/XE-alpha/HST 430/XE 5000 | 81.8 | 1.6 | 2.0 | 7 |
| 233 Sysmex XN 1000/XN 1500/XN 2000/XN 3000/XN 3100/XN 9000/XN 9100 | 82.0 | 0.9 | 1.1 | 109 |
| 235 Sysmex XN 350/XN 450/XN 550 | 82.0 | 0.5 | 0.6 | 14 |
| 234 Sysmex XP300 | 76.5 | | | 1 |
| 231 Sysmex XS 1000i/XS 800i | 79.7 | 1.1 | 1.4 | 6 |
| 060 Sysmex XT 2000i/XT 1800i/XT 4000i | 80.0 | 81.2 | | 2 |
| Globaal resultaat | 82.0 | 1.4 | 1.7 | 181 |



| Trombocyten - d (%) : 15.0 | | H/17594 | | | |
|--|-------------------|----------------|---------|-----|--|
| METHODE | Mediaan 10e9/L | SD 10e9/L | CV % | N | |
| 043 Abbott Cell-Dyn Emerald | 199 | | | 1 | |
| 042 Abbott Cell-Dyn Ruby | 199 | 202 | 213 | 3 | |
| 150 Beckman Coulter LH 500/750/755/780 | 195 | | | 1 | |
| 200 Beckman Coulter Unicel DxH 800 / DxH 900 | 185 | 8 | 4.3 | 18 | |
| 050 OTHER | 181 | 195 | | 2 | |
| 074 Siemens Advia 120/2120/2120i | 190 | 4 | 2.3 | 13 | |
| 064 Sysmex KX 21 | 192 | 203 | | 2 | |
| 073 Sysmex pocH-100i | 192 | 193 | | 2 | |
| 067 Sysmex XE 2100(D)/XE-alpha/HST 430/XE 5000 | 188 | 6 | 3.4 | 7 | |
| 233 Sysmex XN 1000/XN 1500/XN 2000/XN 3000/XN 3100/XN 9000/XN 9100 | 189 | 6 | 3.1 | 111 | |
| 235 Sysmex XN 350/XN 450/XN 550 | 194 | 11 | 5.7 | 14 | |
| 234 Sysmex XP300 | 186 | | | 1 | |
| 231 Sysmex XS 1000i/XS 800i | 191 | 7 | 3.9 | 6 | |
| 060 Sysmex XT 2000i/XT 1800i/XT 4000i | 192 | 211 | | 2 | |
| Globaal resultaat | 190 | 7 | 3.5 | 183 | |



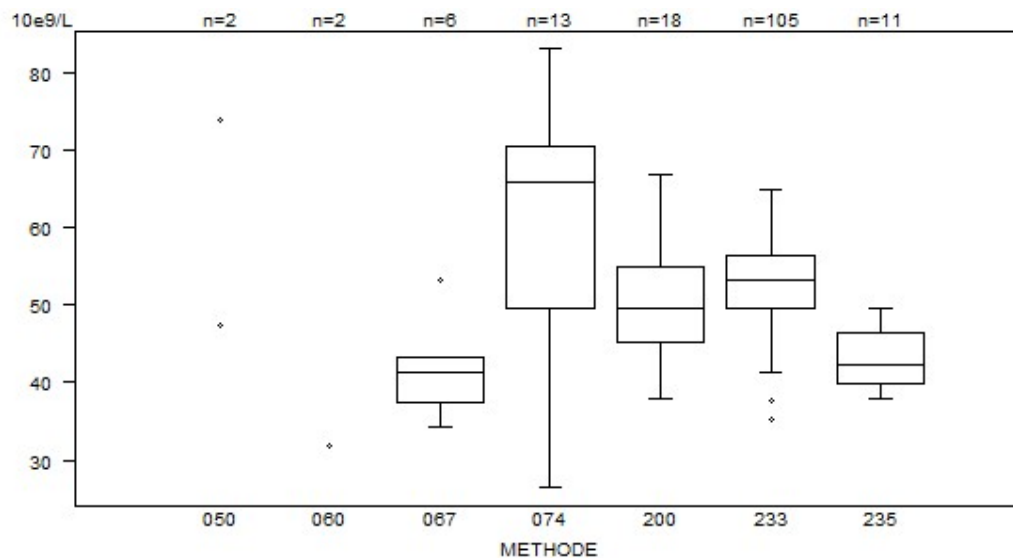
| Reticulocyten - d (%) : 30.0 | H/17594 | | | |
|--|----------------|------|------|-----|
| METHODE | Mediaan % | SD % | CV % | N |
| 042 Abbott Cell-Dyn Ruby | 0.88 | | 1.12 | 2 |
| 200 Beckman Coulter Unicel DxH 800 / DxH 900 | 1.19 | 0.19 | 16.3 | 18 |
| 050 OTHER | 1.12 | | 1.79 | 2 |
| 074 Siemens Advia 120/2120/2120i | 1.60 | 0.39 | 24.6 | 13 |
| 067 Sysmex XE 2100(D)/XE-alpha/HST 430/XE 5000 | 0.97 | 0.10 | 10.7 | 6 |
| 233 Sysmex XN 1000/XN 1500/XN 2000/XN 3000/XN 3100/XN 9000/XN 9100 | 1.28 | 0.12 | 9.3 | 105 |
| 235 Sysmex XN 350/XN 450/XN 550 | 0.99 | 0.11 | 10.9 | 11 |
| 060 Sysmex XT 2000i/XT 1800i/XT 4000i | 0.56 | | 0.75 | 2 |
| Globaal resultaat | 1.24 | 0.17 | 13.5 | 159 |



Niet weergegeven op de grafiek

| Methode | Resultaat |
|---------|-----------|
| 060 | = 0.56 % |
| 200 | = 0.12 % |
| 074 | = 16 % |
| 233 | = 11.7 % |
| 235 | = 11.8 % |

| Absoluut aantal reticulocyten | H/17594 | | | |
|--|-------------------|--------------|---------|-----|
| METHODE | Mediaan 10e9/L | SD 10e9/L | CV % | N |
| 200 Beckman Coulter Unicel DxH 800 / DxH 900 | 49.7 | 7.3 | 14.6 | 18 |
| 074 Siemens Advia 120/2120/2120i | 65.8 | 15.4 | 23.4 | 13 |
| 067 Sysmex XE 2100(D)/XE-alpha/HST 430/XE 5000 | 41.3 | 4.2 | 10.2 | 6 |
| 233 Sysmex XN 1000/XN 1500/XN 2000/XN 3000/XN 3100/XN 9000/XN 9100 | 53.3 | 5.1 | 9.6 | 105 |
| 235 Sysmex XN 350/XN 450/XN 550 | 42.3 | 5.0 | 11.7 | 11 |
| 060 Sysmex XT 2000i/XT 1800i/XT 4000i | 23.5 | | 31.9 | 2 |
| Globaal resultaat | 52.5 | 6.1 | 11.6 | 157 |



Niet weergegeven op de grafiek

| Methode | Resultaat |
|---------|----------------|
| 060 | = 23.5 10e9/L |
| 200 | = 5.7 10e9/L |
| 074 | = 104.6 10e9/L |

COAGULATIE: PT, aPTT, FIBRINOGEEN

Staalmetaal

Er werden 3 gevriesdroogde plasma's rondgestuurd: één gehepariniseerd staal (CO/16814, 6de internationale standaard niet-gefractioneerd heparine 07/328, National Institute for Biological Standards and Control (NIBSC), Verenigd Koninkrijk), een normaal staal (CO/16747) en één pool van plasma's van patiënten behandeld met antivitaminen K (CO/16954, Ak-Calibrant C, Technoclone GmbH, Wenen, Oostenrijk). De stalen CO/16814 en CO/16747 werden bereid door Sciensano.

In onderstaande tabel wordt voor de stalen CO/16747 en CO/16814 de gemiddelde activiteit (%) van een aantal stollingsfactoren gegeven, zoals bepaald in 2 expertlaboratoria (CHU UCL Namur, UZ Leuven):

| | CO/16747 | CO/16814 |
|----------|----------|----------|
| VIII (%) | 92 | 66 |
| IX (%) | 104 | 95 |
| XI (%) | 91 | 110 |
| XII (%) | 100 | 93 |
| II (%) | 87 | 97 |
| V (%) | 70 | 90 |
| VII (%) | 96 | 77 |
| X (%) | 86 | 94 |

De anti-Xa activiteit van het gehepariniseerde staal CO/16814 bedroeg 0.21 IE/mL (UZ Brussel, UZ Leuven).

Alle stalen waren negatief voor HIV 1 en 2, hepatitis B surface antigen en hepatitis C.

De homogeniteit van de stalen werd geverifieerd volgens de ISO norm 13528.

Deelname

Negen Luxemburgse en 165 Belgische laboratoria hebben aan deze ronde deelgenomen. Elke deelnemer kon maximaal drie resultaten invullen die zijn verkregen met drie verschillende methoden.

Resultaten

aPTT

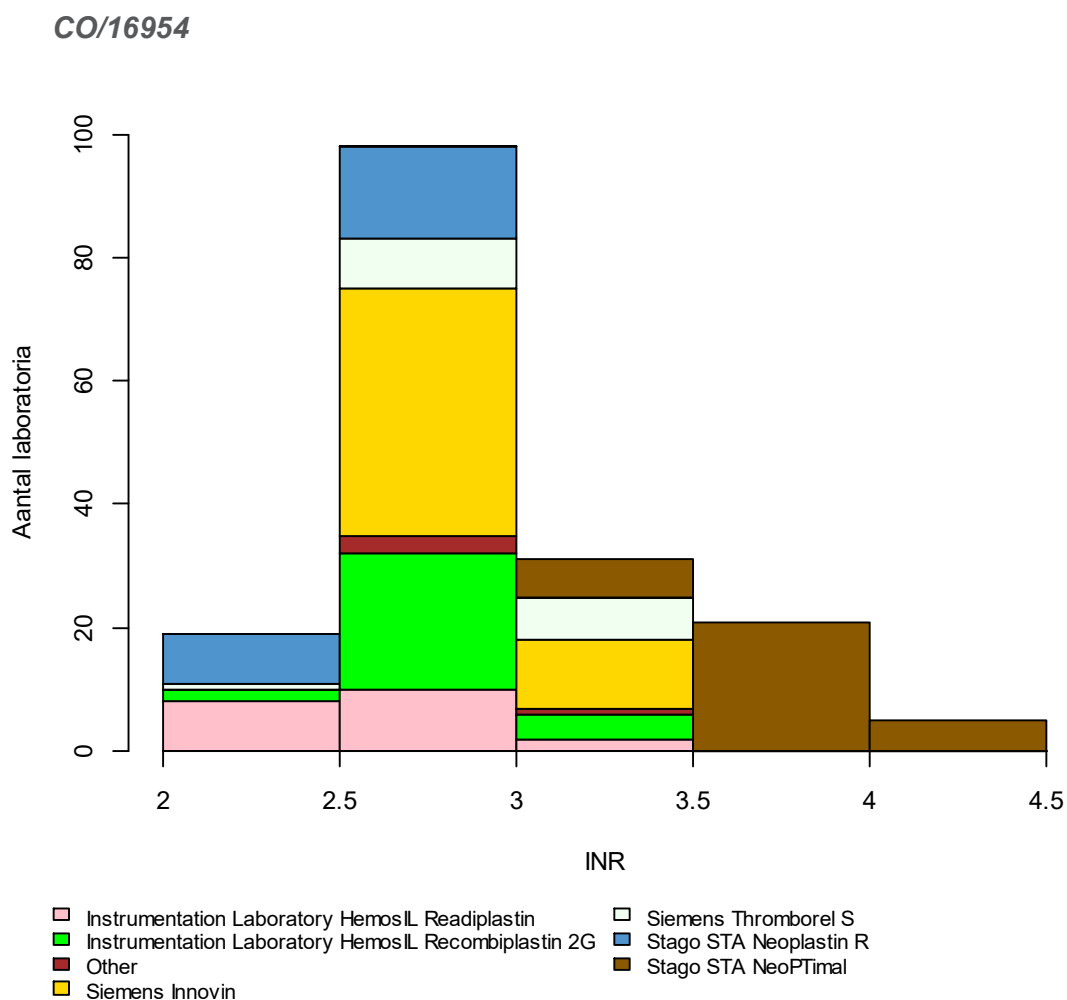
De mediane aPTT ratio van het gehepariniseerde staal CO/16814 bedroeg 1.76 met een CV van 14.3%. De laagste mediane ratio werd bekomen met STA-Cephascreeen (Stago, mediaan: 1.52, CV: 4.6%, n=31) en de hoogste met STA CK PREST (Stago, mediaan: 2.08, CV: 4.6%, n=7).

Deze grote spreiding van de resultaten van het gehepariniseerde staal volgens de gebruikte kits benadrukt de noodzaak om de therapeutische waarden te herdefiniëren in functie van de reagentia/methode.

PT

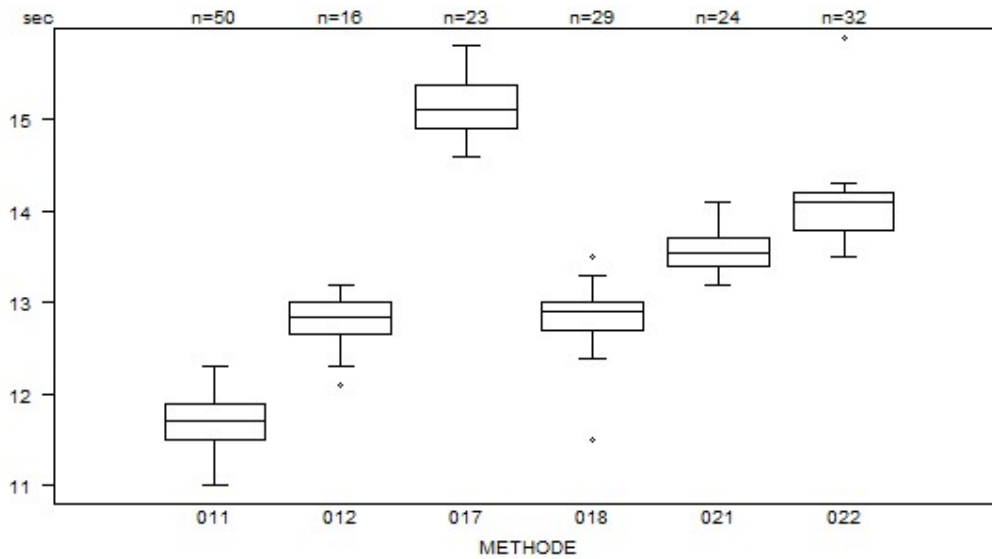
De mediane INR waarde van het staal CO/16954 bedroeg 2.86 met een CV van 11.1% (range : 2.59 (Instrumentation Laboratory HemosIL Readiplastin) – 3.75 (Stago STA NeoPTimal)).

Het histogram hieronder toont de verdeling van de bekomen INR waarden in functie van de gebruikte methode.



Overzicht tabellen van de antwoorden van de laboratoria

| PT(sec) | METHODE | CO/16747 | | | |
|--------------------------|--|----------------|-----------|---------|-----|
| | | Mediaan sec | SD sec | CV % | N |
| 021 | Instrumentation Laboratory HemosIL Readiplastin | 13.6 | 0.2 | 1.6 | 24 |
| 018 | Instrumentation Laboratory HemosIL Recombiplastin 2G | 12.9 | 0.2 | 1.7 | 29 |
| 011 | Siemens Innovin | 11.7 | 0.3 | 2.5 | 50 |
| 012 | Siemens Thromborel S | 12.9 | 0.3 | 2.0 | 16 |
| 017 | Stago STA Neoplastin R | 15.1 | 0.4 | 2.3 | 23 |
| 022 | Stago STA NeoPTimal | 14.1 | 0.3 | 2.1 | 32 |
| Globaal resultaat | | 13.0 | 1.4 | 10.8 | 174 |

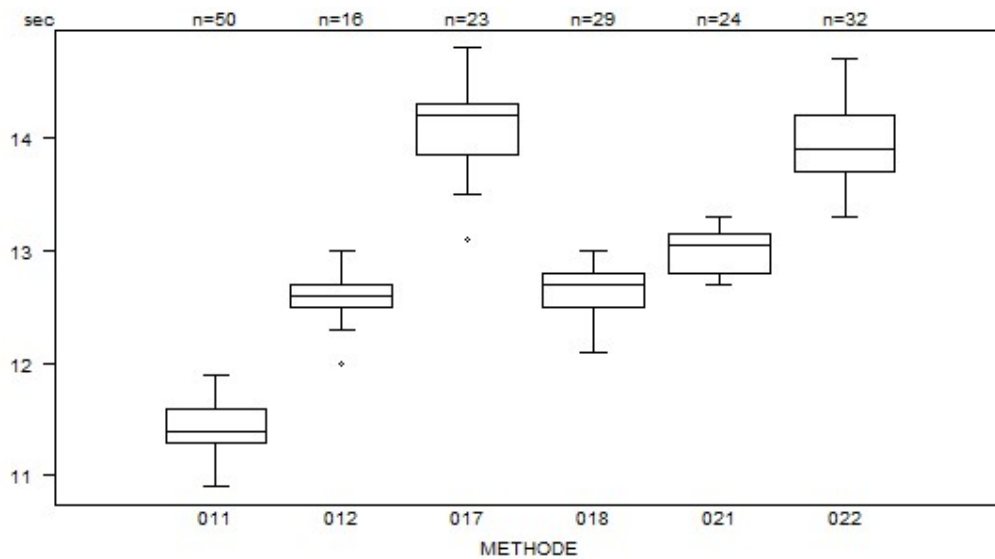


Niet weergegeven op de grafiek

Methode Resultaat

017 = 16.1 sec

| PT(sec) | CO/16814 | | | | |
|--------------------------|--|----------------|-----------|---------|-----|
| | METHODE | Mediaan sec | SD sec | CV % | N |
| 021 | Instrumentation Laboratory HemosIL Readiplastin | 13.1 | 0.3 | 2.0 | 24 |
| 018 | Instrumentation Laboratory HemosIL Recombiplastin 2G | 12.7 | 0.2 | 1.8 | 29 |
| 011 | Siemens Innovin | 11.4 | 0.2 | 2.0 | 50 |
| 012 | Siemens Thromborel S | 12.6 | 0.1 | 1.2 | 16 |
| 017 | Stago STA Neoplastin R | 14.2 | 0.3 | 2.3 | 23 |
| 022 | Stago STA NeoPTimal | 13.9 | 0.4 | 2.7 | 32 |
| Globaal resultaat | | 12.8 | 1.5 | 11.6 | 174 |

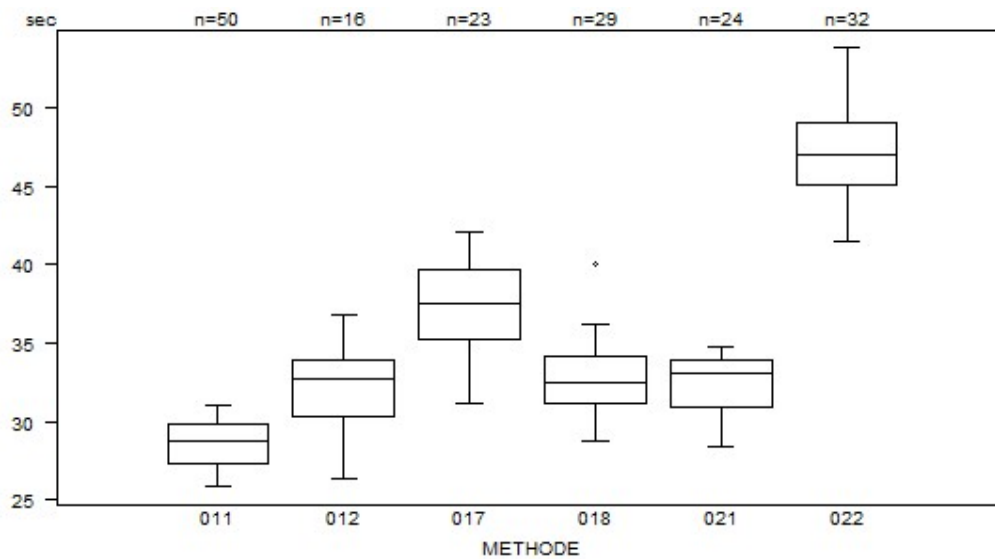


Niet weergegeven op de grafiek

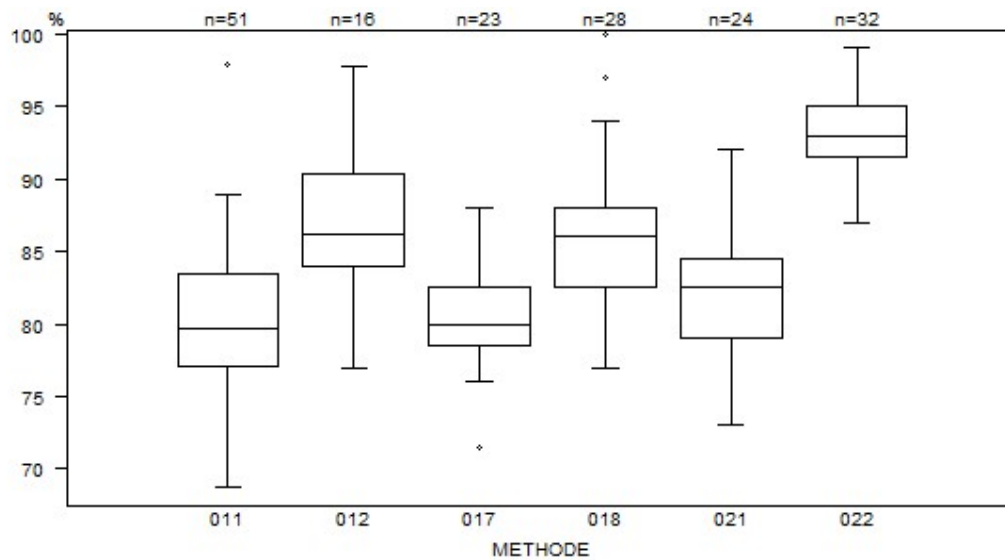
Methode Resultaat

022 = 15.3 sec

| PT(sec) | CO/16954 | | | | |
|--------------------------|--|----------------|-----------|---------|-----|
| | METHODE | Mediaan sec | SD sec | CV % | N |
| 021 | Instrumentation Laboratory HemosIL Readiplastin | 33.1 | 2.2 | 6.6 | 24 |
| 018 | Instrumentation Laboratory HemosIL Recombiplastin 2G | 32.5 | 2.2 | 6.8 | 29 |
| 011 | Siemens Innovin | 28.8 | 1.9 | 6.4 | 50 |
| 012 | Siemens Thromborel S | 32.7 | 2.7 | 8.2 | 16 |
| 017 | Stago STA Neoplastin R | 37.5 | 3.3 | 8.9 | 23 |
| 022 | Stago STA NeoPTimal | 47.0 | 2.9 | 6.2 | 32 |
| Globaal resultaat | | 32.8 | 6.0 | 18.3 | 174 |



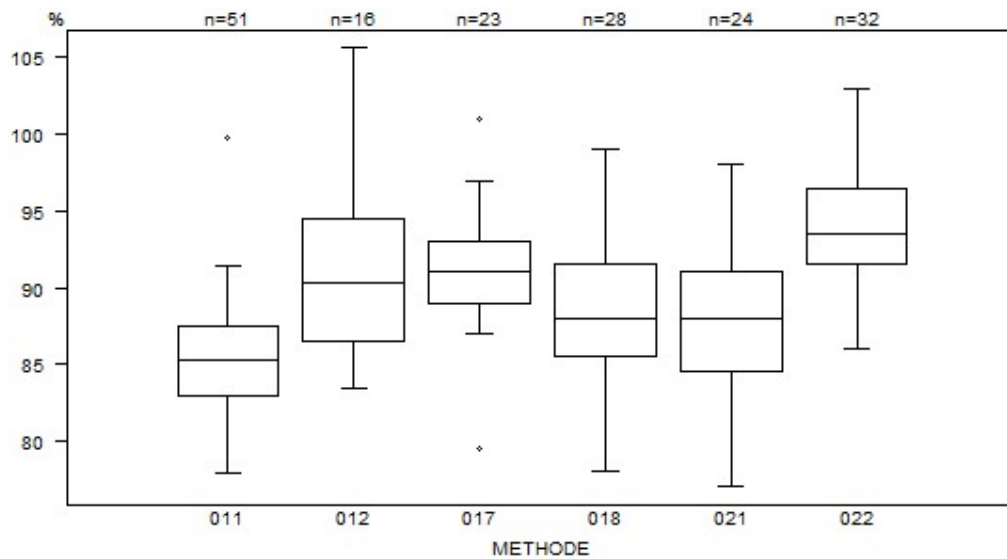
| PT(%) | CO/16747 | | | | |
|--|-----------------|-----------|------|------|-----|
| | METHODE | Mediaan % | SD % | CV % | N |
| 021 Instrumentation Laboratory HemosIL Readiplastin | | 82.5 | 4.1 | 4.9 | 24 |
| 018 Instrumentation Laboratory HemosIL Recombiplastin 2G | | 86.0 | 4.1 | 4.7 | 28 |
| 011 Siemens Innovin | | 79.7 | 4.8 | 6.0 | 51 |
| 012 Siemens Thromborel S | | 86.3 | 4.7 | 5.5 | 16 |
| 017 Stago STA Neoplastin R | | 80.0 | 3.0 | 3.7 | 23 |
| 022 Stago STA NeoPTimal | | 93.0 | 2.6 | 2.8 | 32 |
| Globaal resultaat | | 83.8 | 6.9 | 8.2 | 174 |



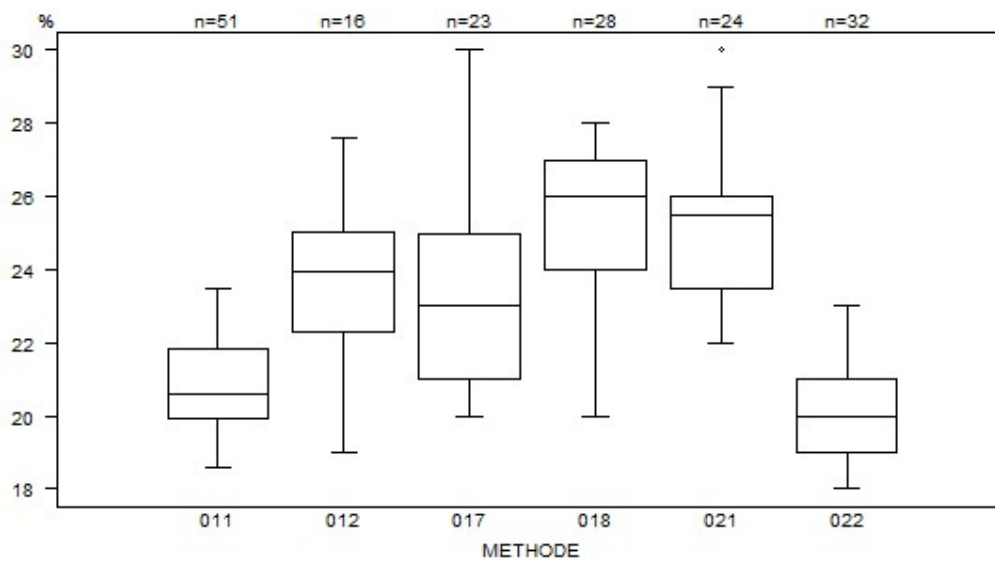
Niet weergegeven op de grafiek

| Methode | Resultaat |
|---------|-----------|
| 012 | = 100.3 % |
| 022 | = 101 % |

| PT(%) | CO/16814 | | | | |
|--|----------|-----------|------|------|-----|
| | METHODE | Mediaan % | SD % | CV % | N |
| 021 Instrumentation Laboratory HemosIL Readiplastin | | 88.0 | 4.8 | 5.5 | 24 |
| 018 Instrumentation Laboratory HemosIL Recombiplastin 2G | | 88.0 | 4.4 | 5.1 | 28 |
| 011 Siemens Innovin | | 85.3 | 3.4 | 4.0 | 51 |
| 012 Siemens Thromborel S | | 90.3 | 5.9 | 6.5 | 16 |
| 017 Stago STA Neoplastin R | | 91.0 | 3.0 | 3.3 | 23 |
| 022 Stago STA NeoPTimal | | 93.5 | 3.7 | 4.0 | 32 |
| Globaal resultaat | | 89.0 | 5.0 | 5.6 | 174 |



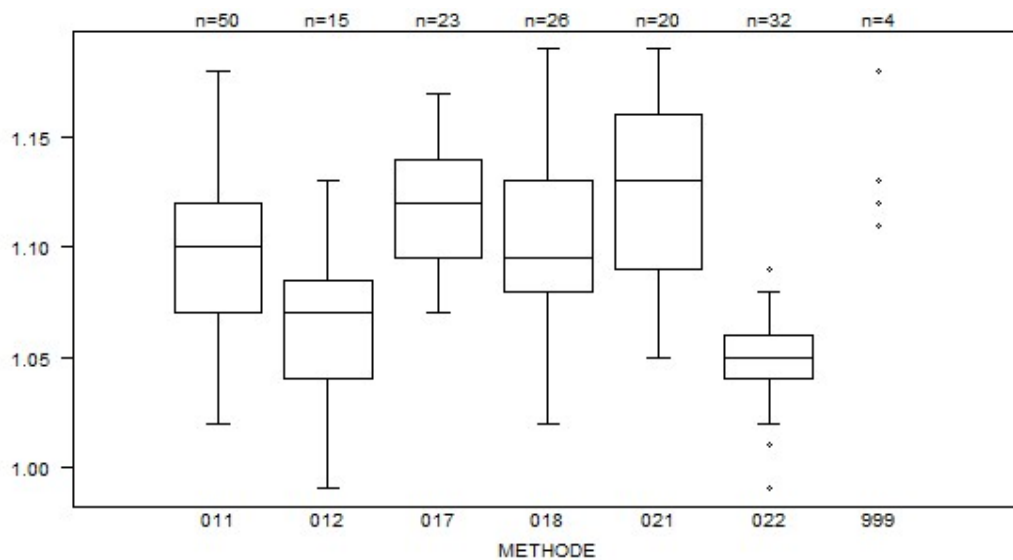
| PT(%) | CO/16954 | | | | |
|--|----------|-----------|------|------|-----|
| | METHODE | Mediaan % | SD % | CV % | N |
| 021 Instrumentation Laboratory HemosIL Readiplastin | | 25.5 | 1.9 | 7.3 | 24 |
| 018 Instrumentation Laboratory HemosIL Recombiplastin 2G | | 26.0 | 2.2 | 8.6 | 28 |
| 011 Siemens Innovin | | 20.6 | 1.4 | 6.8 | 51 |
| 012 Siemens Thromborel S | | 24.0 | 2.0 | 8.5 | 16 |
| 017 Stago STA Neoplastin R | | 23.0 | 3.0 | 12.9 | 23 |
| 022 Stago STA NeoPTimal | | 20.0 | 1.5 | 7.4 | 32 |
| Globaal resultaat | | 22.0 | 3.5 | 15.8 | 174 |



Niet weergegeven op de grafiek

| Methode | Resultaat |
|---------|-----------|
| 011 | = 16.5 % |
| 012 | = 31.6 % |
| 021 | = 31 % |

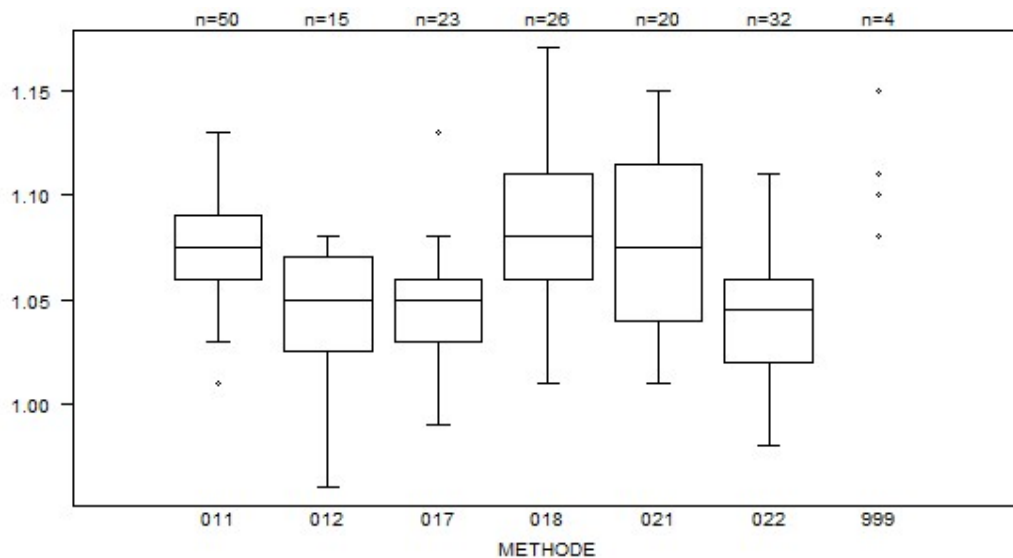
| PT(INR) | CO/16747 | | | |
|--|--------------|------|------|-----|
| METHODE | Mediaan | SD | CV % | N |
| 021 Instrumentation Laboratory HemosIL Readiplastin | 1.13 | 0.05 | 4.6 | 20 |
| 018 Instrumentation Laboratory HemosIL Recombiplastin 2G | 1.10 | 0.04 | 3.4 | 26 |
| 999 Other | 1.11 1.18 | 1.12 | 1.13 | 4 |
| 011 Siemens Innovin | 1.10 | 0.04 | 3.4 | 50 |
| 012 Siemens Thromborel S | 1.07 | 0.03 | 3.1 | 15 |
| 017 Stago STA Neoplastin R | 1.12 | 0.03 | 3.0 | 23 |
| 022 Stago STA NeoPTimal | 1.05 | 0.01 | 1.4 | 32 |
| Globaal resultaat | 1.09 | 0.04 | 4.1 | 170 |



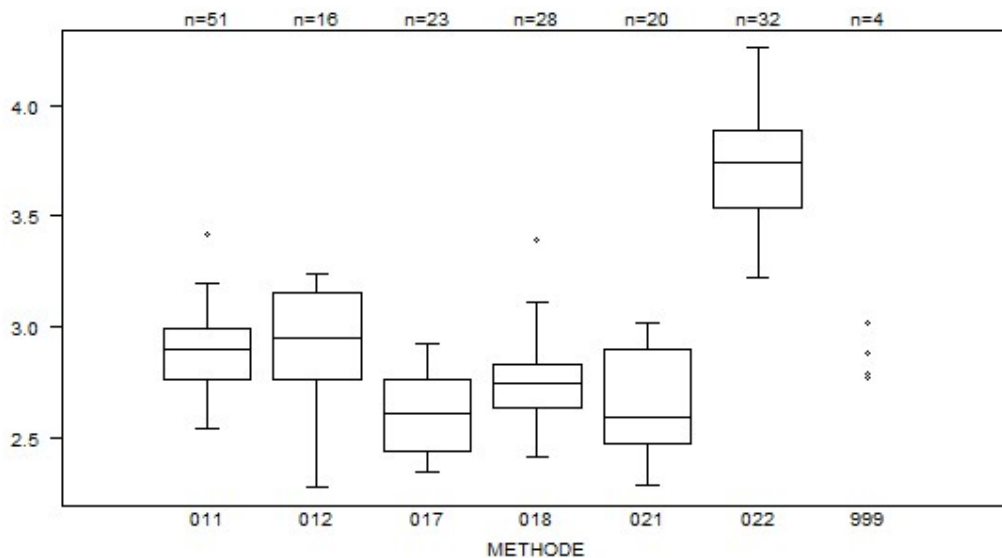
Niet weergegeven op de grafiek

| Methode | Resultaat |
|---------|-----------|
| 011 | = 0 |
| 018 | = 0.97 |
| 017 | = 1.21 |

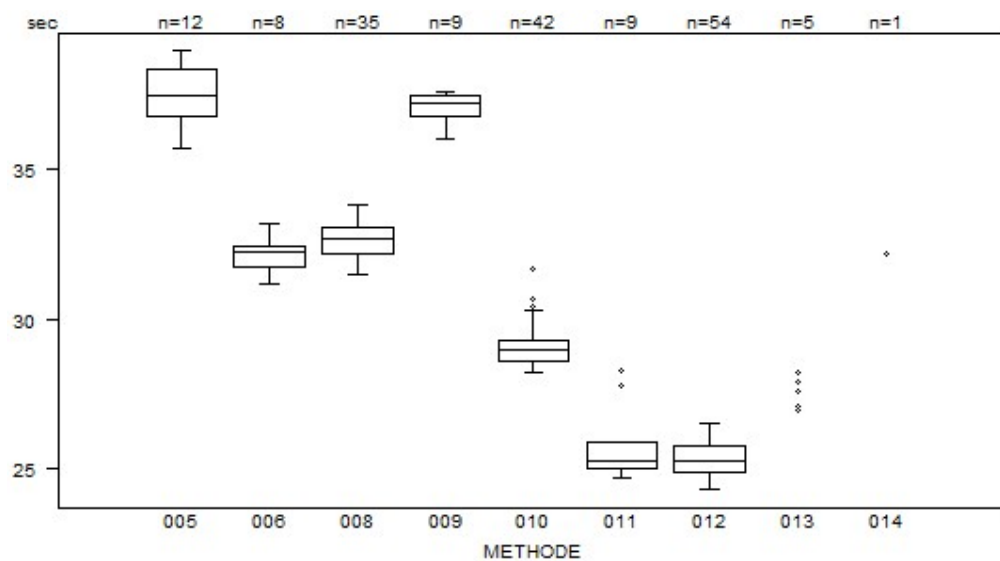
| PT(INR) | CO/16814 | | | |
|--|-------------|-------------|-------------|-----|
| METHODE | Mediaan | SD | CV % | N |
| 021 Instrumentation Laboratory HemosIL Readiplastin | 1.08 | 0.06 | 5.2 | 20 |
| 018 Instrumentation Laboratory HemosIL Recombiplastin 2G | 1.08 | 0.04 | 3.4 | 26 |
| 999 Other | <i>1.08</i> | <i>1.10</i> | <i>1.11</i> | 4 |
| | <i>1.15</i> | | | |
| 011 Siemens Innovin | 1.08 | 0.02 | 2.1 | 50 |
| 012 Siemens Thromborel S | 1.05 | 0.03 | 3.2 | 15 |
| 017 Stago STA Neoplastin R | 1.05 | 0.02 | 2.1 | 23 |
| 022 Stago STA NeoPTimal | 1.05 | 0.03 | 2.8 | 32 |
| Globaal resultaat | 1.06 | 0.03 | 2.8 | 170 |



| PT(INR) - d (%) : 12.0 | | CO/16954 | | | |
|--------------------------|--|-----------------|------|------|-----|
| METHODE | | Mediaan | SD | CV % | N |
| 021 | Instrumentation Laboratory HemosIL Readiplastin | 2.59 | 0.32 | 12.2 | 20 |
| 018 | Instrumentation Laboratory HemosIL Recombiplastin 2G | 2.75 | 0.14 | 5.3 | 28 |
| 999 | Other | 2.77 3.02 | 2.79 | 2.88 | 4 |
| 011 | Siemens Innovin | 2.90 | 0.17 | 6.0 | 51 |
| 012 | Siemens Thromborel S | 2.95 | 0.29 | 9.9 | 16 |
| 017 | Stago STA Neoplastin R | 2.61 | 0.24 | 9.2 | 23 |
| 022 | Stago STA NeoPTimal | 3.75 | 0.26 | 6.9 | 32 |
| Globaal resultaat | | 2.86 | 0.32 | 11.1 | 174 |



| aPTT(sec) | CO/16747 | | | | |
|--|----------|--------------|--------------|------|-----|
| | METHODE | Mediaan sec | SD sec | CV % | N |
| 010 Instrumentation Laboratory HemosIL SynthasIL | | 29.0 | 0.5 | 1.8 | 42 |
| 009 Instrumentation Laboratory IL Test APTT-SP | | 37.2 | 0.5 | 1.4 | 9 |
| 011 Siemens Actin | | 25.3 | 0.7 | 2.6 | 9 |
| 012 Siemens Actin FS | | 25.3 | 0.7 | 2.6 | 54 |
| 013 Siemens Actin FSL | | 27.0 27.9 | 27.1 28.2 | 27.6 | 5 |
| 014 Siemens Pathromtin SL | | 32.2 | | | 1 |
| 006 Stago STA CK PREST | | 32.3 | 0.5 | 1.6 | 8 |
| 008 Stago STA-Cephascreen | | 32.7 | 0.6 | 1.9 | 35 |
| 005 Stago STA-PTT A | | 37.5 | 1.1 | 3.1 | 12 |
| Globaal resultaat | | 29.0 | 5.1 | 17.6 | 175 |

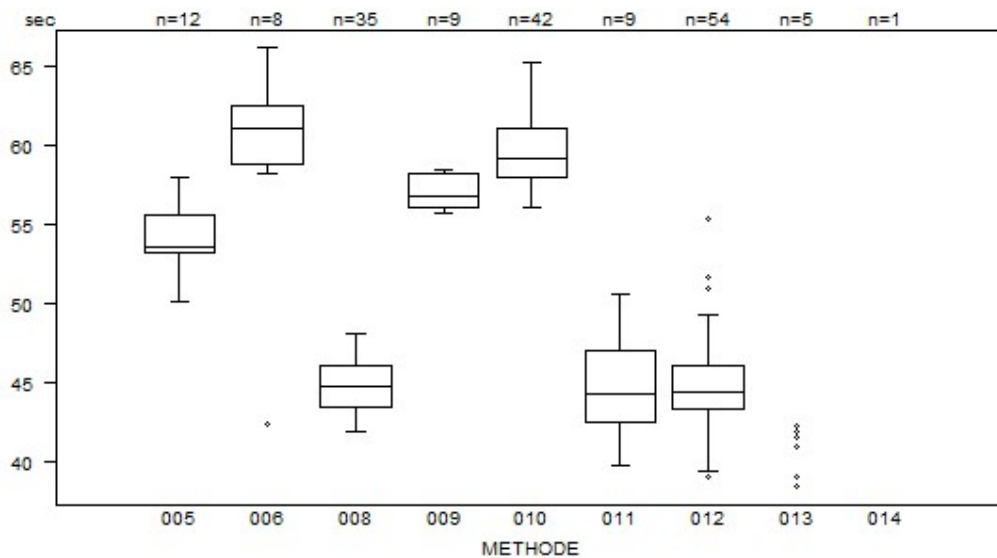


Niet weergegeven op de grafiek

| Methode | Resultaat |
|---------|------------|
| 012 | = 22.8 sec |
| 009 | = 40 sec |

| Interpretatie | N | Mediaan(sec) | (%) | consensus |
|---|-----|--------------|------|-----------|
| 3) Binnen de referentiewaarden | 166 | 28.8 | 95.4 | X |
| 4) Tussen bovengrens en bovengrens +20% | 8 | 37.1 | 4.6 | |
| Totaal | 174 | | | |

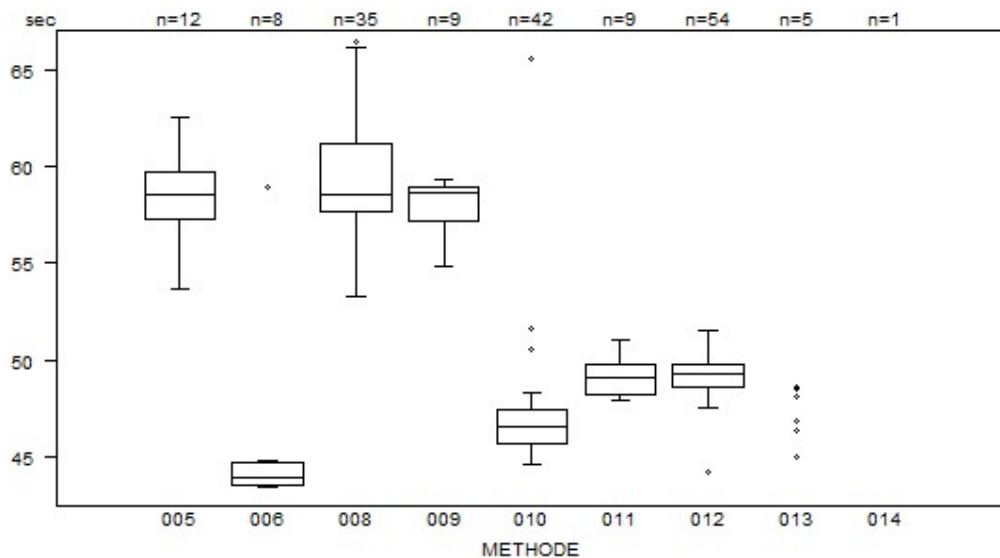
| aPTT(sec) | CO/16814 | | | | |
|--|----------|-------------|--------|------|-----|
| | METHODE | Mediaan sec | SD sec | CV % | N |
| 010 Instrumentation Laboratory HemosIL SynthasIL | | 59.2 | 2.2 | 3.8 | 42 |
| 009 Instrumentation Laboratory IL Test APTT-SP | | 56.8 | 1.6 | 2.7 | 9 |
| 011 Siemens Actin | | 44.3 | 3.3 | 7.5 | 9 |
| 012 Siemens Actin FS | | 44.4 | 2.1 | 4.7 | 54 |
| 013 Siemens Actin FSL | | 38.4 | 39.0 | 40.9 | 5 |
| | | 41.9 | 42.3 | | |
| 014 Siemens Pathromtin SL | | 76.4 | | | 1 |
| 006 Stago STA CK PREST | | 61.1 | 2.7 | 4.4 | 8 |
| 008 Stago STA-Cephascreen | | 44.7 | 2.0 | 4.4 | 35 |
| 005 Stago STA-PTT A | | 53.6 | 1.7 | 3.3 | 12 |
| Globaal resultaat | | 46.8 | 10.4 | 22.2 | 175 |



Niet weergegeven op de grafiek
Methode Resultaat
014 = 76.4 sec

| Interpretatie | N | Mediaan(sec) | (%) | consensus |
|---|-----|--------------|------|-----------|
| 5) > bovengrens +20% | 166 | 47.3 | 95.4 | X |
| 4) Tussen bovengrens en bovengrens +20% | 8 | 43.6 | 4.6 | |
| Totaal | 174 | | | |

| aPTT(sec) | CO/16954 | | | | |
|--------------------------|--|----------------|--------------|---------|-----|
| | METHODE | Mediaan sec | SD sec | CV % | N |
| 010 | Instrumentation Laboratory HemosIL SynthasIL | 46.6 | 1.3 | 2.7 | 42 |
| 009 | Instrumentation Laboratory IL Test APTT-SP | 58.6 | 1.3 | 2.2 | 9 |
| 011 | Siemens Actin | 49.1 | 1.2 | 2.4 | 9 |
| 012 | Siemens Actin FS | 49.3 | 0.9 | 1.8 | 54 |
| 013 | Siemens Actin FSL | 45.0 48.5 | 46.4 48.6 | 48.1 | 5 |
| 014 | Siemens Pathromtin SL | 82.2 | | | 1 |
| 006 | Stago STA CK PREST | 44.0 | 0.9 | 1.9 | 8 |
| 008 | Stago STA-Cephascreen | 58.5 | 2.6 | 4.4 | 35 |
| 005 | Stago STA-PTT A | 58.6 | 1.8 | 3.1 | 12 |
| Globaal resultaat | | 49.5 | 7.6 | 15.3 | 175 |

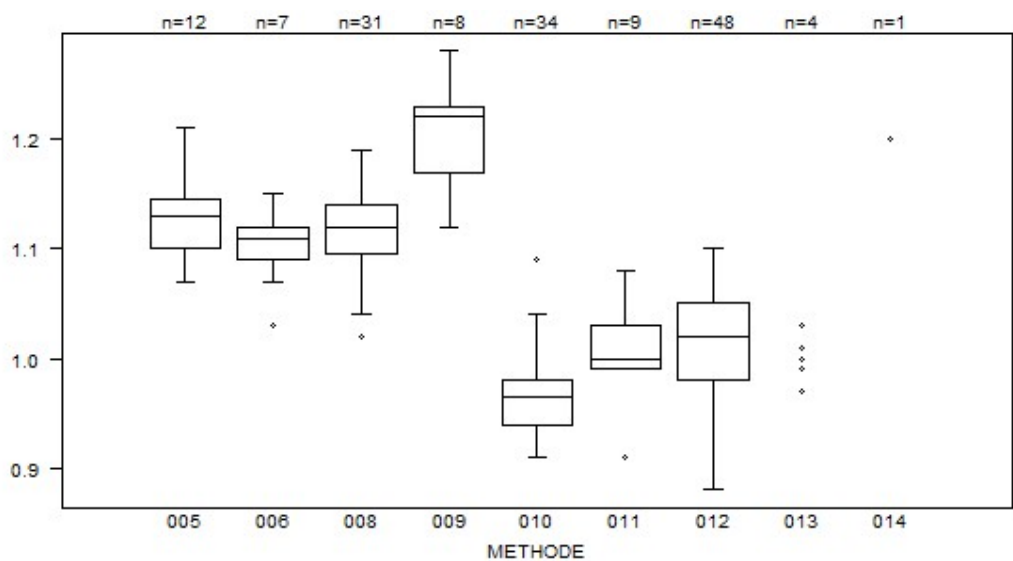


Niet weergegeven op de grafiek

| Methode | Resultaat |
|---------|------------|
| 008 | = 68.5 sec |
| 014 | = 82.2 sec |

| Interpretatie | N | Mediaan(sec) | (%) | consensus |
|---|-----|--------------|------|-----------|
| 5) > bovengrens +20% | 160 | 49.7 | 92.0 | X |
| 4) Tussen bovengrens en bovengrens +20% | 13 | 46.0 | 7.5 | |
| 3) Binnen de referentiewaarden | 1 | 47.0 | 0.6 | |
| Totaal | 174 | | | |

| aPTT(ratio) - d (%) : 15.0 | | CO/16747 | | | |
|----------------------------|--|-----------------|------|------|-----|
| METHODE | | Mediaan | SD | CV % | N |
| 010 | Instrumentation Laboratory HemosIL SynthasIL | 0.97 | 0.03 | 3.1 | 34 |
| 009 | Instrumentation Laboratory IL Test APTT-SP | 1.22 | 0.04 | 3.6 | 8 |
| 011 | Siemens Actin | 1.00 | 0.03 | 3.0 | 9 |
| 012 | Siemens Actin FS | 1.02 | 0.05 | 5.1 | 48 |
| 013 | Siemens Actin FSL | 0.97 1.03 | 1.00 | 1.01 | 4 |
| 014 | Siemens Pathromtin SL | 1.20 | | | 1 |
| 006 | Stago STA CK PREST | 1.11 | 0.02 | 2.0 | 7 |
| 008 | Stago STA-Cephascreen | 1.12 | 0.03 | 3.0 | 31 |
| 005 | Stago STA-PTT A | 1.13 | 0.03 | 3.0 | 12 |
| Globaal resultaat | | 1.03 | 0.10 | 9.4 | 154 |

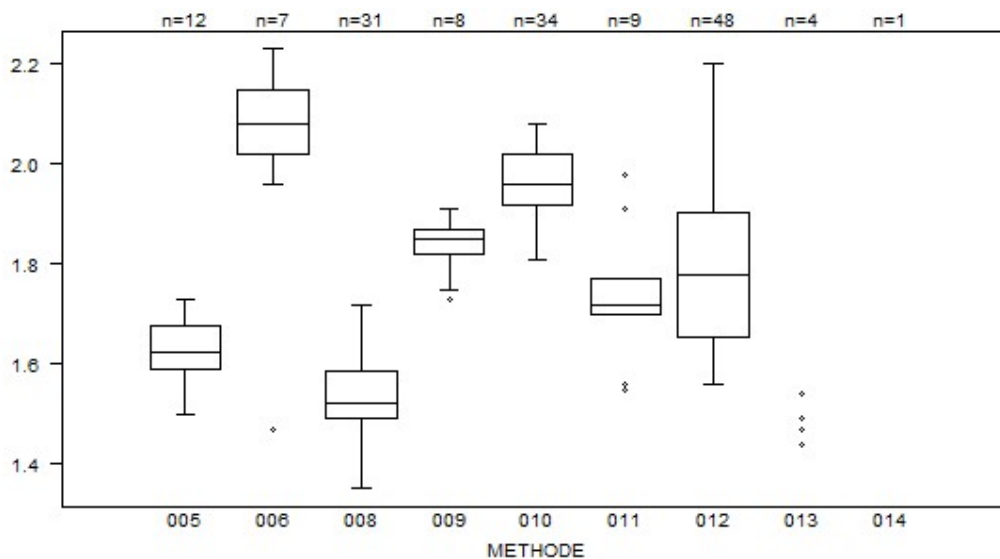


Niet weergegeven op de grafiek

Methode Resultaat

010 = 0.85

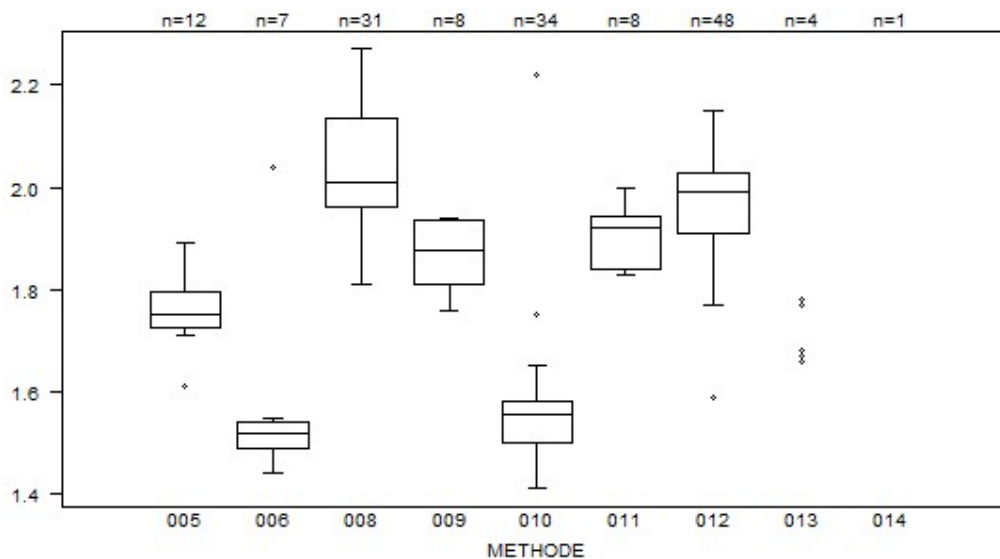
| aPTT(ratio) - d (%) : 15.0 | | CO/16814 | | | |
|--|--------------|-----------------|------|-----|--|
| METHODE | Mediaan | SD | CV % | N | |
| 010 Instrumentation Laboratory HemosIL SynthasIL | 1.96 | 0.07 | 3.8 | 34 | |
| 009 Instrumentation Laboratory IL Test APTT-SP | 1.85 | 0.04 | 2.0 | 8 | |
| 011 Siemens Actin | 1.72 | 0.05 | 3.0 | 9 | |
| 012 Siemens Actin FS | 1.78 | 0.19 | 10.4 | 48 | |
| 013 Siemens Actin FSL | 1.44 1.54 | 1.47 | 1.54 | 4 | |
| 014 Siemens Pathromtin SL | 2.85 | | | 1 | |
| 006 Stago STA CK PREST | 2.08 | 0.10 | 4.6 | 7 | |
| 008 Stago STA-Cephascreen | 1.52 | 0.07 | 4.6 | 31 | |
| 005 Stago STA-PTT A | 1.63 | 0.06 | 3.9 | 12 | |
| Globaal resultaat | 1.76 | 0.25 | 14.3 | 154 | |



Niet weergegeven op de grafiek

| Methode | Resultaat |
|---------|-----------|
| 010 | = 2.28 |
| 014 | = 2.85 |

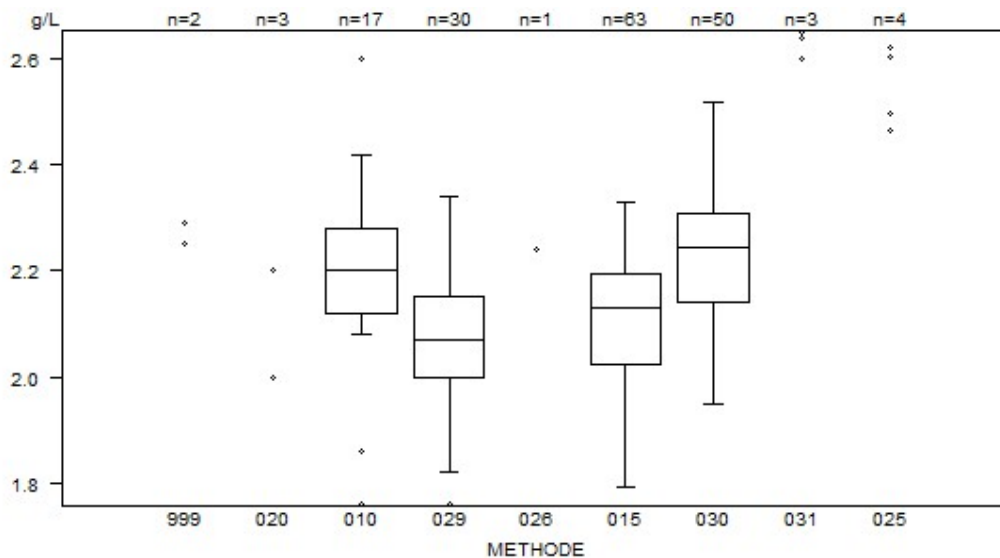
| aPTT(ratio) - d (%) : 15.0 | | CO/16954 | | | |
|--|--------------|-----------------|------|-----|--|
| METHODE | Mediaan | SD | CV % | N | |
| 010 Instrumentation Laboratory HemosIL SynthasIL | 1.56 | 0.06 | 3.8 | 34 | |
| 009 Instrumentation Laboratory IL Test APTT-SP | 1.88 | 0.09 | 4.9 | 8 | |
| 011 Siemens Actin | 1.92 | 0.08 | 4.1 | 8 | |
| 012 Siemens Actin FS | 1.99 | 0.09 | 4.5 | 48 | |
| 013 Siemens Actin FSL | 1.66 1.78 | 1.67 | 1.77 | 4 | |
| 014 Siemens Pathromtin SL | 3.07 | | | 1 | |
| 006 Stago STA CK PREST | 1.52 | 0.04 | 2.4 | 7 | |
| 008 Stago STA-Cephascreen | 2.01 | 0.13 | 6.5 | 31 | |
| 005 Stago STA-PTT A | 1.75 | 0.05 | 3.0 | 12 | |
| Globaal resultaat | 1.89 | 0.28 | 14.9 | 153 | |



Niet weergegeven op de grafiek

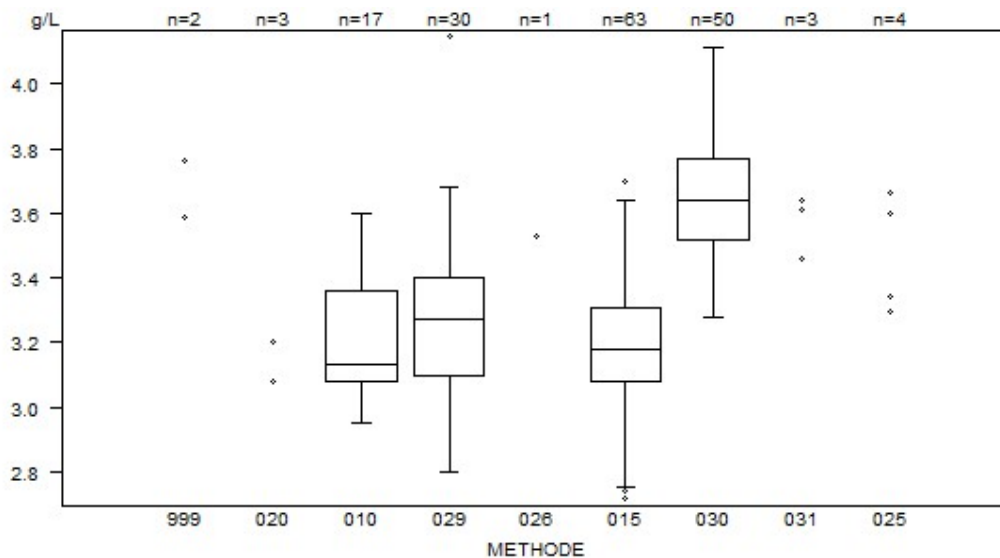
| Methode | Resultaat |
|---------|-----------|
| 010 | = 1.33 |
| 008 | = 2.45 |
| 014 | = 3.07 |

| Fibrinogeen - d (%) : 15.0 | CO/16747 | | | |
|--|-----------------|-----------|---------|-----|
| METHODE | Mediaan g/L | SD g/L | CV % | N |
| 010 Instrumentation Laboratory HemosIL Fibrinogen C | 2.20 | 0.12 | 5.4 | 17 |
| 029 Instrumentation Laboratory HemosIL QFA Thrombin | 2.07 | 0.11 | 5.4 | 30 |
| 031 Instrumentation Laboratory HemosIL Readiplastin | 2.60 | 2.64 | 2.65 | 3 |
| 025 Instrumentation Laboratory HemosIL Recombiplastin 2G | 2.46 2.62 | 2.50 | 2.60 | 4 |
| 026 Kordia TriniCLOT Fibrinogen | 2.24 | | | 1 |
| 999 Other | 2.25 | 2.29 | | 2 |
| 020 Siemens Antiserum to Human Fibrinogen | 2.00 | 2.20 | 207.00 | 3 |
| 015 Siemens Thrombin Reagent | 2.13 | 0.13 | 5.9 | 63 |
| 030 Stago STA-Liquid Fib | 2.25 | 0.13 | 5.6 | 50 |
| Globaal resultaat | 2.15 | 0.16 | 7.6 | 173 |



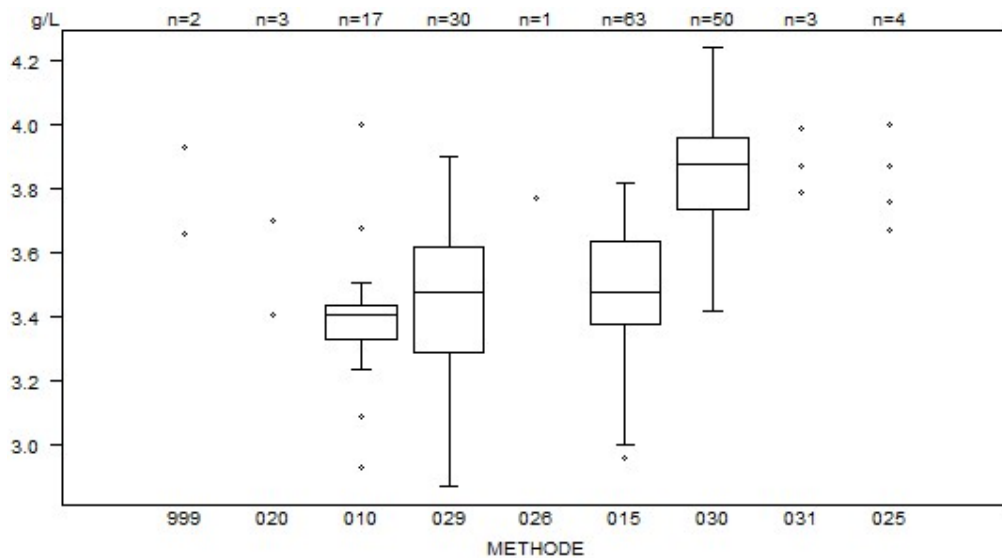
| Interpretatie | N | Mediaan(g/L) | (%) | consensus |
|---|-----|----------------|------|-----------|
| 3) Binnen de referentiewaarden | 155 | 2.17 | 90.1 | X |
| 2) Tussen ondergrens -20% en | 13 | 2.05 | 7.6 | |
| 1) < ondergrens -20% | 3 | 1.76 1.82 1.86 | 1.7 | |
| 4) Tussen bovengrens en bovengrens +20% | 1 | 2.06 | 0.6 | |
| Totaal | 172 | | | |

| Fibrinogeen - d (%) : 15.0 | | CO/16814 | | | |
|--|----------------|-----------------|---------|-----|--|
| METHODE | Mediaan g/L | SD g/L | CV % | N | |
| 010 Instrumentation Laboratory HemosIL Fibrinogen C | 3.13 | 0.21 | 6.6 | 17 | |
| 029 Instrumentation Laboratory HemosIL QFA Thrombin | 3.28 | 0.22 | 6.8 | 30 | |
| 031 Instrumentation Laboratory HemosIL Readiplastin | 3.46 | 3.61 | 3.64 | 3 | |
| 025 Instrumentation Laboratory HemosIL Recombiplastin 2G | 3.30 3.66 | 3.34 | 3.60 | 4 | |
| 026 Kordia TriniCLOT Fibrinogen | 3.53 | | | 1 | |
| 999 Other | 3.59 | 3.76 | | 2 | |
| 020 Siemens Antiserum to Human Fibrinogen | 3.08 | 3.20 | 325.00 | 3 | |
| 015 Siemens Thrombin Reagent | 3.18 | 0.17 | 5.2 | 63 | |
| 030 Stago STA-Liquid Fib | 3.64 | 0.19 | 5.1 | 50 | |
| Globaal resultaat | 3.33 | 0.33 | 9.8 | 173 | |



| Interpretatie | N | Mediaan(g/L) | (%) | consensus |
|---|-----|----------------|------|-----------|
| 3) Binnen de referentiewaarden | 168 | 3.33 | 97.7 | X |
| 4) Tussen bovengrens en bovengrens +20% | 3 | 3.66 4.03 4.11 | 1.7 | |
| 5) > bovengrens +20% | 1 | 3.24 | 0.6 | |
| Totaal | 172 | | | |

| Fibrinogeen - d (%) : 15.0 | | CO/16954 | | | |
|--|----------------|-----------|---------|-----|--|
| METHODE | Mediaan g/L | SD g/L | CV % | N | |
| 010 Instrumentation Laboratory HemosIL Fibrinogen C | 3.41 | 0.08 | 2.4 | 17 | |
| 029 Instrumentation Laboratory HemosIL QFA Thrombin | 3.48 | 0.24 | 7.0 | 30 | |
| 031 Instrumentation Laboratory HemosIL Readiplastin | 3.79 | 3.87 | 3.99 | 3 | |
| 025 Instrumentation Laboratory HemosIL Recombiplastin 2G | 3.67 4.00 | 3.76 | 3.87 | 4 | |
| 026 Kordia TriniCLOT Fibrinogen | 3.77 | | | 1 | |
| 999 Other | 3.66 | 3.93 | | 2 | |
| 020 Siemens Antiserum to Human Fibrinogen | 3.41 | 3.70 | 348.00 | 3 | |
| 015 Siemens Thrombin Reagent | 3.48 | 0.19 | 5.4 | 63 | |
| 030 Stago STA-Liquid Fib | 3.88 | 0.16 | 4.2 | 50 | |
| Globaal resultaat | 3.61 | 0.29 | 8.0 | 173 | |



Niet weergegeven op de grafiek

| Methode | Resultaat |
|---------|------------|
| 015 | = 2.74 g/L |
| 015 | = 0.04 g/L |
| 030 | = 0.04 g/L |
| 020 | = 348 g/L |

| Interpretatie | N | Mediaan(g/L) | (%) | consensus |
|---|-----|--------------|------|-----------|
| 3) Binnen de referentiewaarden | 159 | 3.59 | 92.4 | X |
| 4) Tussen bovengrens en bovengrens +20% | 13 | 4.08 | 7.6 | |
| Totaal | 172 | | | |

COAGULATIE: D-DIMEREN

Staalmetaal

De laboratoria, die routinematig D-dimeren bepalen, ontvingen 2 gevriesdroogde plasmastalen: CO/17578 en CO/17579. Beide stalen werden bereid door Sciensano. Het staal 17579 was afkomstig van een gezonde donor. Het staal CO/17578 werd bereid door aan het plasma van een gezonde donor een pool van verschillende patiëntenstalen met een verhoogde D-dimeer concentratie toe te voegen om zo een mengsel van de natuurlijk voorkomende D-dimeer vormen te garanderen en de potentiële verschillen in specificiteit tussen de verschillende kits te reduceren.

Beide stalen waren negatief voor HIV 1 en 2, hepatitis B surface antigeen en hepatitis C.

De twee stalen waren negatief voor reumafactoren.

De homogeniteit van de stalen werd geverifieerd volgens de ISO norm 13528.

Deelname

Negen Luxemburgse en 165 Belgische laboratoria hebben aan deze ronde deelgenomen. Elke deelnemer kon maximaal drie resultaten invullen die zijn verkregen met drie verschillende methoden.

Alle deelnemers gebruikten een kwantitatieve methode. De volgende tabel geeft een overzicht van de gebruikte methoden.

| Reagens | N | % |
|---|------------|------------|
| Siemens Innovance D-Dimer | 62 | 35.2 |
| Stago STA-Liatest D-DI Plus | 53 | 30.1 |
| Instrumentation Laboratory HemosIL D-Dimer HS 500 | 49 | 27.8 |
| BioMérieux Vidas D-Dimer Exclusion (II) | 6 | 3.4 |
| Siemens D-Dimer PLUS | 3 | 1.7 |
| Instrumentation Laboratory HemosIL D-Dimer | 1 | 0.6 |
| Roche Cobas Integra Tina-quant DDI2 | 1 | 0.6 |
| Stago STA-Liatest D-DI | 1 | 0.6 |
| Totaal methoden | 176 | 100 |

Resultaten

Vermits er 2 eenheden gebruikt worden (mg/L D-dimeren en mg/L FEU (Fibrinogen Equivalent Unit)) en er geen exacte omrekeningsfactor bestaat, werd er geen globale verwerking uitgevoerd.

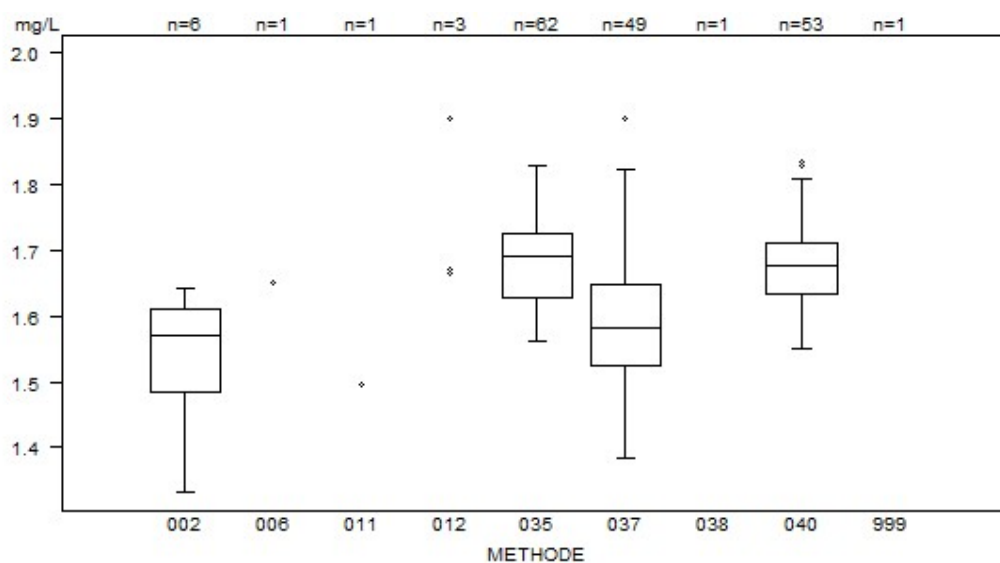
Volgende tabel geeft een overzicht van de resultaten van de laboratoria, die een verkeerde concentratie en/of interpretatie (in het rood weergegeven) vermeld hebben, en de door hen gebruikte cut-off waarde:

| Labo | Reagens | Cut-off mg/L | CO/17578 | | CO/17579 | |
|------|---|-----------------|----------|---------------|----------|---------------|
| | | | mg/L | Interpretatie | mg/L | Interpretatie |
| 1 | Siemens Innovance D-Dimer | 0.500 | 1.684 | + | 0.256 | + |
| 2* | Instrumentation Laboratory HemosIL D-Dimer HS 500 | 0.500 | 0.437 | - | 1.627 | + |
| 3 | Stago STA-Liatest D- DI Plus | 0.500 | 1.590 | + | 0.280 | + |

*staalverwisseling

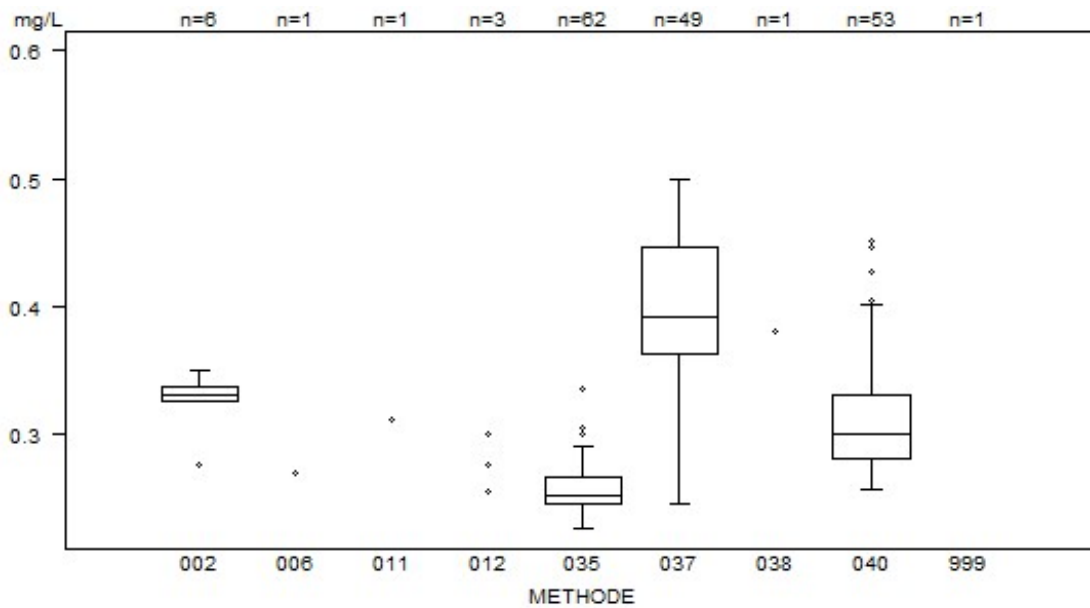
Overzicht tabellen van de antwoorden van de laboratoria

| D-Dimeren (kwantitatief) | CO/17578D-dim | | | | |
|---|---------------|-----------------|--------------|--------------|-----|
| | METHODE | Mediaan mg/L | SD mg/L | CV % | N |
| 002 BioMérieux Vidas D-Dimer Exclusion (II) | | 1.570 | 0.093 | 6.0 | 6 |
| 011 Instrumentation Laboratory HemosIL D-Dimer | | <i>1.496</i> | | | 1 |
| 037 Instrumentation Laboratory HemosIL D-Dimer HS 500 | | 1.582 | 0.092 | 5.8 | 49 |
| 999 Other | | <i>1536.000</i> | | | 1 |
| 038 Roche Cobas Integra Tina-quant DDI2 | | <i>1.300</i> | | | 1 |
| 012 Siemens D-Dimer PLUS | | <i>1.665</i> | <i>1.670</i> | <i>1.900</i> | 3 |
| 035 Siemens Innovance D-Dimer | | 1.690 | 0.073 | 4.3 | 62 |
| 006 Stago STA-Liatest D-DI | | <i>1.650</i> | | | 1 |
| 040 Stago STA-Liatest D-DI Plus | | 1.677 | 0.056 | 3.4 | 53 |
| Globaal resultaat | | | | | 177 |



| Interpretatie | N | Mediaan(mg/L) | (%) | consensus |
|---------------|-----|---------------|------|-----------|
| + | 175 | 1.656 | 99.4 | X |
| - | 1 | 0.437 | 0.6 | |
| Totaal | 176 | | | |

| D-Dimeren (kwantitatief) | CO/17579D-dim | | | | |
|---|---------------|-----------------|--------------|--------------|-----|
| | METHODE | Mediaan mg/L | SD mg/L | CV % | N |
| 002 BioMérieux Vidas D-Dimer Exclusion (II) | | 0.330 | 0.008 | 2.5 | 6 |
| 011 Instrumentation Laboratory HemosIL D-Dimer | | <i>0.311</i> | | | 1 |
| 037 Instrumentation Laboratory HemosIL D-Dimer HS 500 | | 0.392 | 0.062 | 15.9 | 49 |
| 999 Other | | <i>384.000</i> | | | 1 |
| 038 Roche Cobas Integra Tina-quant DDI2 | | <i>0.380</i> | | | 1 |
| 012 Siemens D-Dimer PLUS | | <i>0.254</i> | <i>0.276</i> | <i>0.300</i> | 3 |
| 035 Siemens Innovance D-Dimer | | 0.252 | 0.016 | 6.2 | 62 |
| 006 Stago STA-Liatest D-DI | | <i>0.270</i> | | | 1 |
| 040 Stago STA-Liatest D-DI Plus | | 0.300 | 0.036 | 12.1 | 53 |
| Globaal resultaat | | | | | 177 |



| Interpretatie | N | Mediaan(mg/L) | | | (%) | consensus |
|---------------|-----|---------------|--------------|--------------|------|-----------|
| - | 168 | 0.300 | | | 95.5 | X |
| +/- | 5 | <i>0.243</i> | <i>0.337</i> | <i>0.440</i> | 2.8 | |
| + | 3 | <i>0.500</i> | <i>0.500</i> | | 1.7 | |
| Totaal | 176 | | | | | |

COAGULATIE: ANTITROMBINE

Staalmetaal

De laboratoria, die routinematig antitrombine bepalen, ontvingen 2 gevriesdroogde plasmastalen: **CO/17580** en **CO/17581**.

Het staal CO/17580 was afkomstig van een gezonde donor en werd bereid door Sciensano. Het staal CO/17581 was een commercieel controlemateriaal met verlaagd antitrombine gehalte (Technoclot Control A, Technoclone GmbH, Vienne, Autriche).

Beide stalen waren negatief voor HIV 1 en 2, hepatitis B surface antigen en hepatitis C.

De homogeniteit van het staal CO/17580 werd geverifieerd volgens de ISO norm 13528.

Deelname

Acht Luxemburgse en 64 Belgische laboratoria namen aan deze enquête deel.

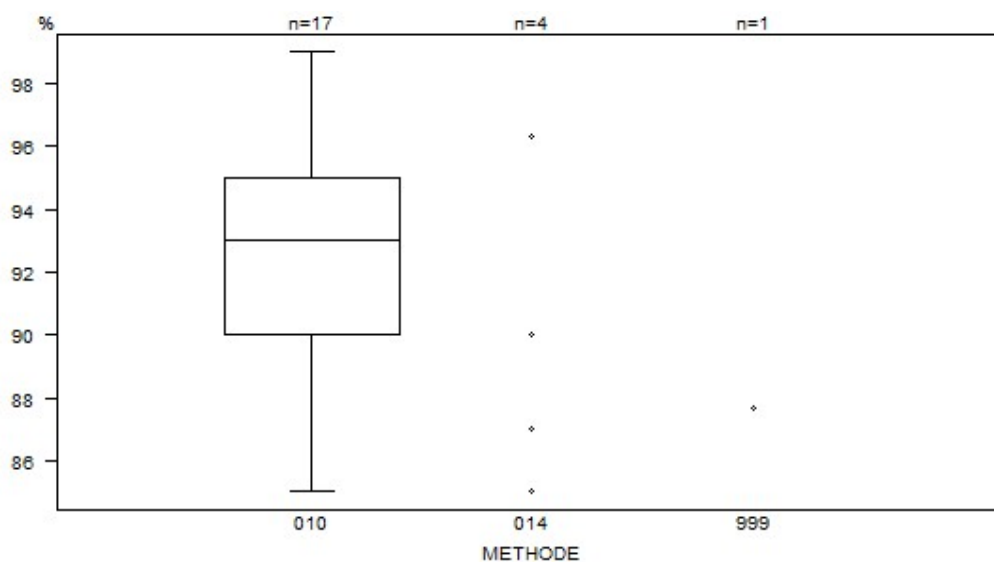
Resultaten

Alle laboratoria bepaalden de antitrombine activiteit: 22 deelnemers (31%) gebruikten een trombine gebaseerde methode (CO/17580: mediaan: 91.5% en CV: 4.4%, CO/17581: mediaan: 43.0% et CV: 10.3%) en 50 deelnemers (69%) een factor Xa gebaseerde methode (CO/17580: mediaan: 90.0% en CV: 4.9%, CO/17581: mediaan: 36.0% en CV: 8.2%).

Alle laboratoria beschouwden de antitrombine activiteit van het staal CO/17580 als normaal en de antitrombine activiteit van het staal CO/17581 als verlaagd.

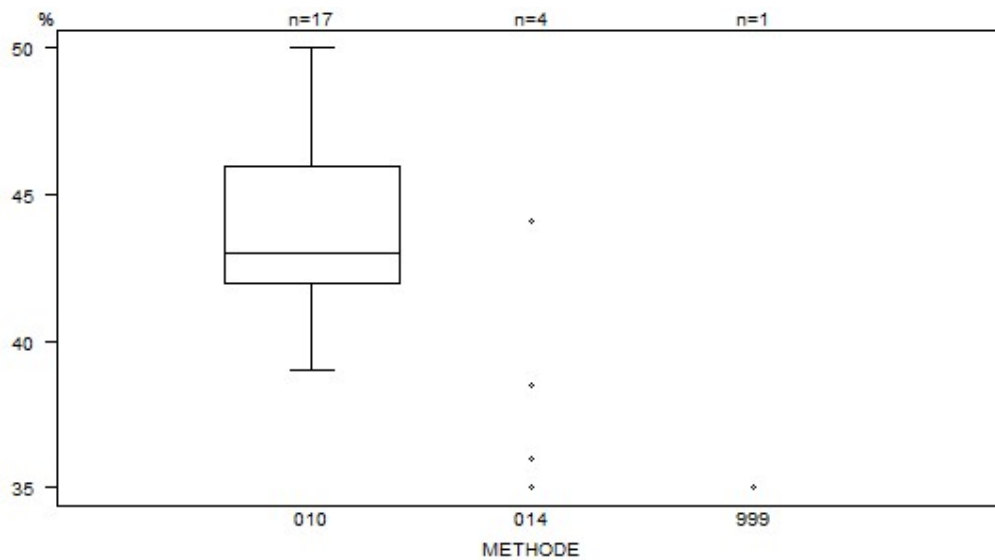
Overzicht tabellen van de antwoorden van de laboratoria

| Antitrombine (activiteit FIIa) | CO/17580AT | | | | |
|--|------------|-----------|------|------|----|
| | METHODE | Mediaan % | SD % | CV % | N |
| 999 Other | | 87.7 | | | 1 |
| 014 Siemens Berichrom Antithrombin III | | 85.0 | 87.0 | 90.0 | 4 |
| 010 Stago Stachrom AT III 3 | | 93.0 | 3.7 | 4.0 | 17 |
| Globaal resultaat | | 91.5 | 4.4 | 4.9 | 22 |



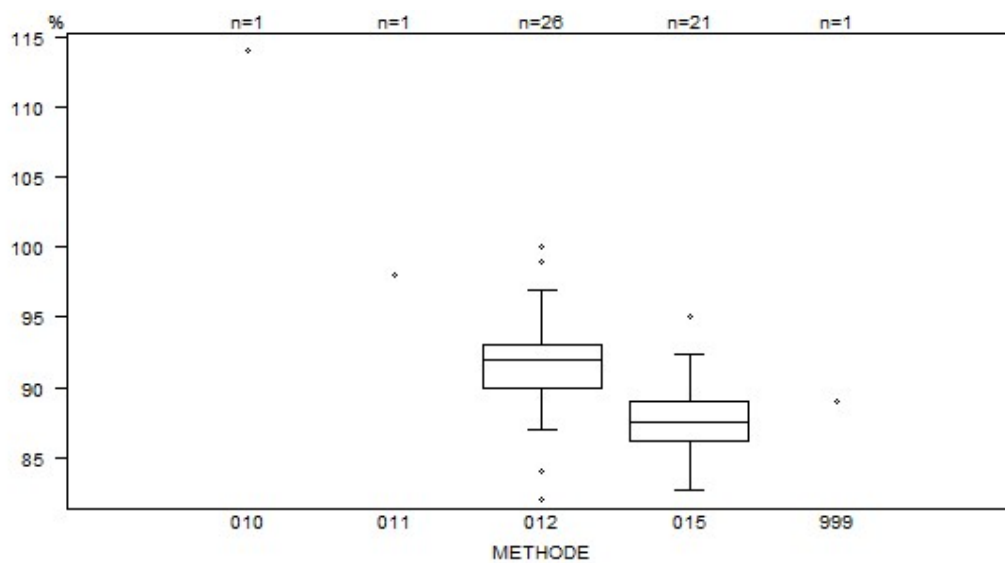
| Interpretatie | N | Mediaan(%) | (%) | consensus |
|---------------|----|------------|-------|-----------|
| Normaal | 22 | 91.5 | 100.0 | X |
| Totaal | 22 | | | |

| Antitrombine (activiteit FIIa) | CO/17581AT | | | | |
|--|------------|--------------|------|------|----|
| | METHODE | Mediaan % | SD % | CV % | N |
| 999 Other | | 35.0 | | | 1 |
| 014 Siemens Berichrom Antithrombin III | | 35.0 44.1 | 36.0 | 38.5 | 4 |
| 010 Stago Stachrom AT III 3 | | 43.0 | 3.0 | 6.9 | 17 |
| Globaal resultaat | | 43.0 | 4.4 | 10.3 | 22 |



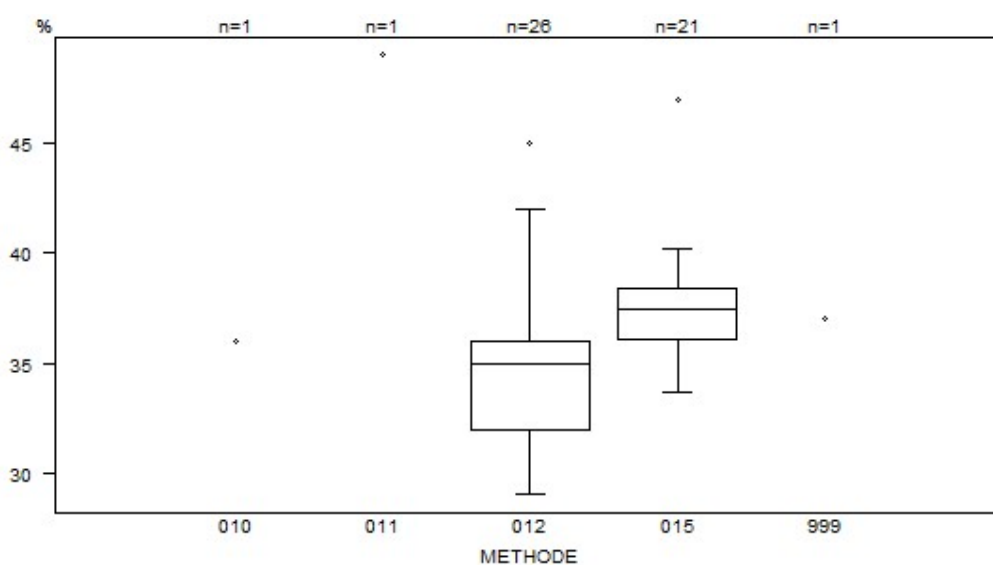
| Interpretatie | N | Mediaan(%) | (%) | consensus |
|---------------|----|------------|-------|-----------|
| Verlaagd | 22 | 43.0 | 100.0 | X |
| Totaal | 22 | | | |

| Antitrombine (activiteit FXa) | CO/17580AT | | | |
|--|------------|------|------|----|
| METHODE | Mediaan % | SD % | CV % | N |
| 010 Chromogenix Coamatic Antithrombin | 114.0 | | | 1 |
| 011 Hyphen BioMed Biophen AT | 98.0 | | | 1 |
| 012 Instrumentation Laboratory HemosIL Liquid Antithrombin | 92.0 | 2.2 | 2.4 | 26 |
| 999 Other | 89.0 | | | 1 |
| 015 Siemens Innovance Antithrombin | 87.6 | 2.1 | 2.5 | 21 |
| Globaal resultaat | 90.0 | 4.4 | 4.9 | 50 |



| Interpretatie | N | Mediaan(%) | (%) | consensus |
|---------------|----|------------|-------|-----------|
| Normaal | 50 | 90.0 | 100.0 | X |
| Totaal | 50 | | | |

| Antitrombine (activiteit FXa) | CO/17581AT | | | |
|--|------------|------|------|----|
| METHODE | Mediaan % | SD % | CV % | N |
| 010 Chromogenix Coamatic Antithrombin | 36.0 | | | 1 |
| 011 Hyphen BioMed Biophen AT | 49.0 | | | 1 |
| 012 Instrumentation Laboratory HemosIL Liquid Antithrombin | 35.0 | 3.0 | 8.5 | 26 |
| 999 Other | 37.0 | | | 1 |
| 015 Siemens Innovance Antithrombin | 37.5 | 1.7 | 4.6 | 21 |
| Globaal resultaat | 36.0 | 3.0 | 8.2 | 50 |



| Interpretatie | N | Mediaan(%) | (%) | consensus |
|---------------|----|------------|-------|-----------|
| Verlaagd | 50 | 36.0 | 100.0 | X |
| Totaal | 50 | | | |

IMMUNOHEMATOLOGIE

Staalmetaal

De laboratoria ontvingen 3 RBC stalen (I/2010, I/2012, I/2021) en 3 serumstalen (I/2013, I/2015 en I/2017).

Het staalmetaal I/2010, I/2012, I/2013, I/2015 en I/2017 werd bezorgd door de Dienst voor het Bloed (DvB) (Mechelen) en verdeeld door Sciensano.

De stabiliteit van deze stalen werd geverifieerd door de DvB.

I/2021 is een gesimuleerd volbloedmonster (Bio-Rad, CA, USA, ref 12000838, lot 370400).

Alle stalen waren negatief voor HIV 1 en 2, hepatitis B en C en syfilis.

Deelname

In totaal hebben twaalf buitenlandse (Luxemburg (9), Monaco, Nederland, Noorwegen) en 154 Belgische laboratoria deelgenomen aan deze enquête.

Hieronder worden de resultaten van de Belgische en Luxemburgse laboratoria besproken (N=163).

Resultaten

Bloedgroep, Rh D en Rh fenotype

De rode bloedcellen van het monster I/2010 waren van het type **O Rh D positief** met fenotype **CcEe** en **K negatief**.

De rode bloedcellen van het monster I/2012 waren van het type **O Rh D positief** met fenotype **Ccee** en **K negatief**.

Antwoorden ABO systeem

| Staal | Bloedgroep | Antwoord | Aantal | % |
|--------|------------|----------|--------|-----|
| I/2010 | O | O | 163 | 100 |
| I/2012 | O | O | 163 | 100 |

Antwoorden Rh D

| Staal | Rh D | Antwoord | Aantal | % |
|--------|---------------|---------------|--------|-----|
| I/2010 | Rh D positief | Rh D positief | 163 | 100 |
| I/2012 | Rh D positief | Rh D positief | 163 | 100 |

Antwoorden Rh fenotype (C,c,E,e)

| Staal | Rh fenotype | Antwoord | Aantal | % |
|--------------|--------------------|-----------------|---------------|----------|
| I/2010 | CcEe | CcEe | 161 | 100 |
| I/2012 | Ccee | Ccee | 161 | 100 |

Antwoorden directe antiglobulinetest (DAT)

| Staal | DAT | Antwoord | Aantal | % |
|---------------------|------------|-----------------|---------------|----------|
| I/2021 _p | positief | positief | 44 | 94 |
| | | negatief | 3 | 6 |
| I/2021 _n | negatief | negatief | 75 | 77 |
| | | positief | 22 | 23 |

De resultaten per laboratorium zijn in bijlage.

Het staal I/2021 is een commercieel staal afkomstig van Bio-Rad voor de DAT bepaling. Hierbij werd door Bio-Rad een panel geleverd van verschillende stalen met een verschillend resultaat voor de DAT bepaling. Sciensano heeft echter naar de laboratoria at random één staal opgestuurd met steeds hetzelfde nummer I/2021 maar met een verschillend resultaat. 47 laboratoria ontvingen een positief staal en 97 een negatief staal. Het resultaat van het positieve staal was IgG positief met een reactiesterkte van 2+.

Voor het staal met een positieve DAT hebben 94% van de deelnemers een positief resultaat geantwoord. Voor het staal met een negatieve DAT antwoordde 23% van de deelnemers "positief".

De directe antiglobulinetest toont de antistoffen aan die de rode bloedcellen in vivo sensibiliseren en hij wordt gebruikt voor de diagnose van hemolytische anemieën. De oorsprong van een positieve DAT kan idiopathisch, medicatie-geïnduceerd, auto-immuun of volgend op een hemolytische ziekte van de pasgeborene of een transfusie-ongeval zijn.

Kruisproeven

Het serummonster I/2013 bevatte geen onregelmatige antistoffen en was compatibel met beide RBC monsters (I/2010 en I/2012).

Het serummonster I/2015 bevatte anti-E antistoffen en was compatibel met het RBC monster I/2012 maar incompatibel met het RBC monster I/2010.

Titers van de antilichamen van het staal I/2015:

| Antilichaam | IAT (gel) Bio-Rad Manueel | IAT kolom Ortho (automaat) |
|--------------------|----------------------------------|-----------------------------------|
| anti-E | 8 | 8 |

Antwoorden

Het serumstaal I/2013 is compatibel met de RBC I/2010.

| Kruisproef | Antwoord | Aantal | % |
|---------------------------|-----------------|---------------|----------|
| Serum I/2013 + RBC I/2010 | Compatibel | 125 | 98 |
| | Incompatibel | 3 | 2 |

Het serumstaal I/2013 is compatibel met de RBC I/2012.

| Kruisproef | Antwoord | Aantal | % |
|---------------------------|-----------------|---------------|----------|
| Serum I/2013 + RBC I/2012 | Compatibel | 126 | 98 |
| | Incompatibel | 2 | 2 |

Het serumstaal I/2015 is compatibel met de RBC I/2010.

| Kruisproef | Antwoord | Aantal | % |
|--|-----------------|---------------|----------|
| Serum I/2015 (anti-E) + RBC I/2010 (CcEe /K-) | Incompatibel | 128 | 100 |

Het serumstaal I/2015 is incompatibel met de RBC I/2012.

| Kruisproef | Antwoord | Aantal | % |
|---|-----------------|---------------|----------|
| Serum I/2015 (anti-E) + RBC I/2012 (Ccee/K-) | Compatibel | 127 | 99 |
| | Incompatibel | 1 | 1 |

Alle laboratoria die op deze test antwoordden, vermeldden de incompatibiliteit tussen serum I/2015 en rode bloedcellen I/2010.

Agglutinatiegraad

120 deelnemers hebben de agglutinatiegraad vermeld. De volgende tabel geeft het percentage deelnemers voor elke agglutinatiegraad weer:

| Serum | RBC | + | ++ | +++ | ++++ |
|--------------|------------|----------|-----------|------------|-------------|
| I/2015 | I/2012 | 3% | 10% | 68% | 19% |

Onderstaande tabel geeft voor de verschillende methoden, het aantal laboratoria die de agglutinatiegraad vermeld hebben (N+), en het percentage deelnemers voor elke agglutinatiegraad:

| Methode | N+ | + | ++ | +++ | ++++ |
|--|-----------|----------|-----------|------------|-------------|
| Serum I/2015 RBC I/2012 | | | | | |
| Bio-Rad/DiaMed ID-Gelstation/IH500/1000 | 35 | 0% | 6% | 77% | 17% |
| Bio-Rad/DiaMed Gel/Manuele methode | 28 | 0% | 7% | 68% | 25% |
| Grifols/ApDia WaDiana /Erytra/Erytra-Eflexis | 11 | 0% | 0% | 45% | 55% |
| Ortho-Clinical Diagnostics Autovue/Ortho Vision | 33 | 9% | 18% | 67% | 6% |
| Ortho-Clinical Diagnostics Gel/Manuele methode | 13 | 8% | 15% | 62% | 62% |

Identificatie van onregelmatige antistoffen (I/2015)

68 deelnemers voerden de identificatie van de onregelmatige antistoffen uit. Allen hebben de anti-E antistoffen teruggevonden.

Opsporen en identificatie van onregelmatige antistoffen (I/2017)

Het serummonster I/2017 bevatte anti-D antistoffen.

De titers van de antilichamen van het staal I/2017 waren:

| Antilichaam | IAT (gel) Bio-Rad Manueel | IAT kolom Ortho (automaat) |
|--------------------|----------------------------------|-----------------------------------|
| anti-D | > 2048 | 512 |

Antwoorden

| Staal | Antwoord | Aantal | % |
|--------------|-----------------|---------------|----------|
| I/2017 | Aanwezigheid | 121 | 100 |

Agglutinatiegraad

120 deelnemers specificerden de agglutinatiegraad. De volgende tabel geeft het percentage deelnemers voor elke agglutinatiegraad weer:

| Serum | + | ++ | +++ | ++++ |
|--------------|----------|-----------|------------|-------------|
| I/2017 | 0% | 1% | 36% | 63% |

Onderstaande tabel geeft voor de verschillende methoden, het aantal laboratoria die de agglutinatiegraad vermeld hebben (N+), en het percentage deelnemers voor elke agglutinatiegraad:

| Methode | N+ | + | ++ | +++ | ++++ |
|--|-----------|----------|-----------|------------|-------------|
| Serum I/2017 | | | | | |
| Bio-Rad/DiaMed WaDiana/ID-Gelstation/IH500/1000 | 36 | 0% | 0% | 56% | 44% |
| Bio-Rad/DiaMed Gel/Manuele methode | 19 | 0% | 0% | 42% | 58% |
| Grifols/ApDia WaDiana /Erytra/Erytra-Eflexis | 12 | 0% | 0% | 17% | 83% |
| Ortho-Clinical Diagnostics Autovue/Ortho Vision | 48 | 0% | 0% | 27% | 73% |
| Ortho-Clinical Diagnostics Gel/Manuele methode | 5 | 0% | 20% | 20% | 60% |

Identificatie van onregelmatige antistoffen (I/2017)

71 deelnemers hebben de identificatie uitgevoerd. Ze hebben allen de anti-D antistoffen teruggevonden.

IMMUNOHEMATOLOGIE: IDENTIFICATIE ONREGELMATIGE ANTISTOFFEN

Staalmetaal

Naar de laboratoria, die de identificatie van onregelmatige antistoffen uitvoeren, werd gedurende deze enquête één serumstaal opgestuurd met de volgende antistoffen en titers:

De titers bepaald door referentielab DvB van het staal I/2020 waren:

| Staal | Antistof | IAT (gel) Bio-Rad Manueel | IAT (kolom) Ortho automaat |
|--------|----------|---------------------------|----------------------------|
| I/2020 | anti-C | 64 | 64 |
| | anti-D | 1024 | 512 |

Het staalmetaal werd bezorgd door de DvB en verdeeld door Sciensano.

Alle stalen waren negatief voor HIV 1 en 2, hepatitis B en C en syfilis.

De stabiliteit van de stalen werd geverifieerd door de DvB.

Deelname

Vijf Luxemburgse en 67 Belgische laboratoria namen aan de bepaling van deze onregelmatige antistoffen deel.

Resultaten (Serum I/2020)

Alle laboratoria (n=72) hebben de aanwezigheid van onregelmatige antistoffen gevonden in dit staal.

71 deelnemers (99%) hebben de anti-C teruggevonden, terwijl ze allemaal de anti-D hebben teruggevonden.

De volgende tabel geeft het percentage deelnemers voor elke agglutinatiegraad weer:

| Serum | Antistof | N | + | ++ | +++ | ++++ |
|--------|----------|----|----|-----|------------|------------|
| I/2020 | anti-D | 72 | 0% | 0% | 33% | 67% |
| | anti-C | 71 | 0% | 27% | 54% | 20% |

Onderstaande tabel geeft voor de verschillende methoden, het aantal laboratoria weer, die de agglutinatiegraad vermeld hebben (N) en het percentage deelnemers voor elke agglutinatiegraad:

| Methode | N | + | ++ | +++ | ++++ |
|--|-----------|----------|-----------|------------|-------------|
| Serum I/2020 anti-D | 72 | | | | |
| Bio-Rad/DiaMed WaDiana/ID-Gelstation/IH500/1000 | 14 | 0% | 0% | 36% | 64% |
| Bio-Rad/DiaMed Gel/Manuele methode | 18 | 0% | 0% | 39% | 61% |
| Grifols/ApDia WaDiana /Erytra/Erytra-Eflexis | 5 | 0% | 0% | 20% | 80% |
| Ortho-Clinical Diagnostics Autovue/Ortho Vision | 24 | 0% | 0% | 33% | 67% |
| Ortho-Clinical Diagnostics Gel/Manuele methode | 10 | 0% | 0% | 20% | 80% |
| Andere/niet vermeld | 1 | | | | |

| Methode | N | + | ++ | +++ | ++++ |
|--|-----------|----------|-----------|------------|-------------|
| Serum I/2020 anti-C | 71 | | | | |
| Bio-Rad/DiaMed WaDiana/ID-Gelstation/IH500/1000 | 14 | 0% | 14% | 64% | 21% |
| Bio-Rad/DiaMed Gel/Manuele methode | 18 | 0% | 33% | 44% | 22% |
| Grifols/ApDia WaDiana /Erytra/Erytra-Eflexis | 5 | 0% | 0% | 60% | 40% |
| Ortho-Clinical Diagnostics Autovue/Ortho Vision | 24 | 0% | 29% | 54% | 17% |
| Ortho-Clinical Diagnostics Gel/Manuele methode | 9 | 0% | 44% | 44% | 11% |
| Andere/niet vermeld | 1 | | | | |

62 laboratoria hebben de titer van de antistoffen vermeld.

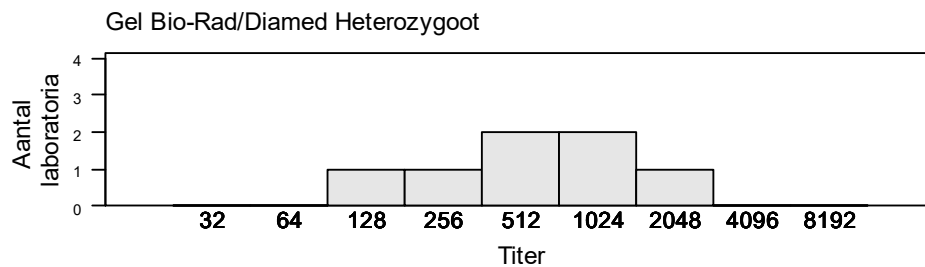
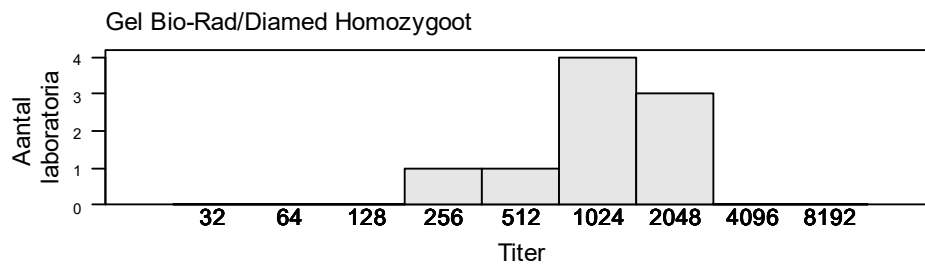
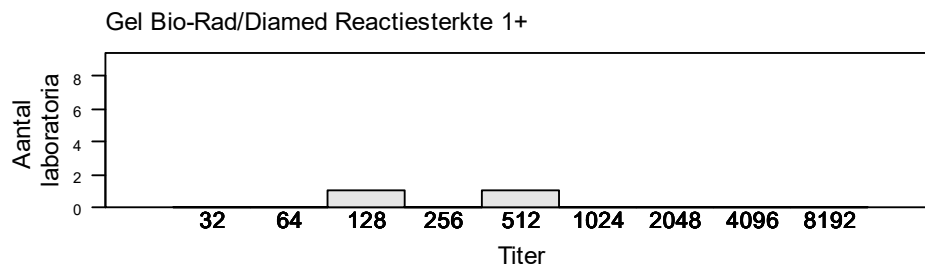
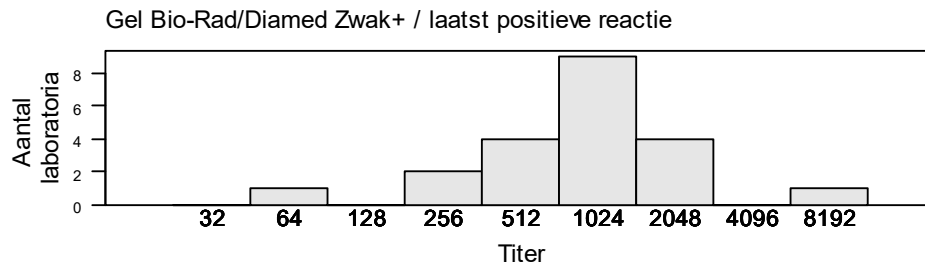
Onderstaande tabellen tonen de titers in functie van de gebruikte methode. Voor methoden met minstens 6 deelnemers worden de mediaan en de range weergegeven. Voor methoden met minder dan 6 deelnemers worden de resultaten individueel vermeld. Voor de methoden Gel Bio-Rad/DiaMed en Kolom Ortho-Clinical-Diagnostics worden de titers eveneens grafisch voorgesteld. Het type gebruikte cellen voor bepaling van de titers (homozygoot/heterozygoot) wordt ook weergegeven.

I/2020 anti-D

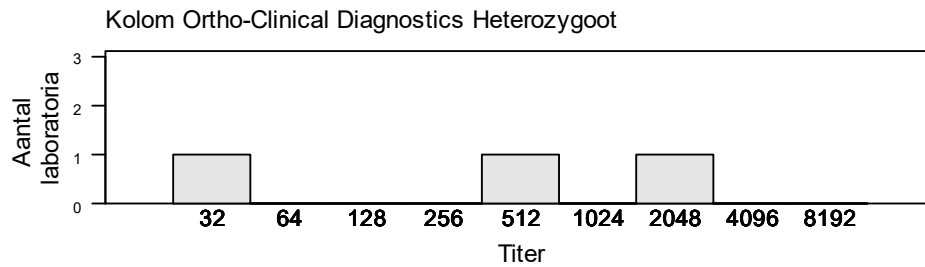
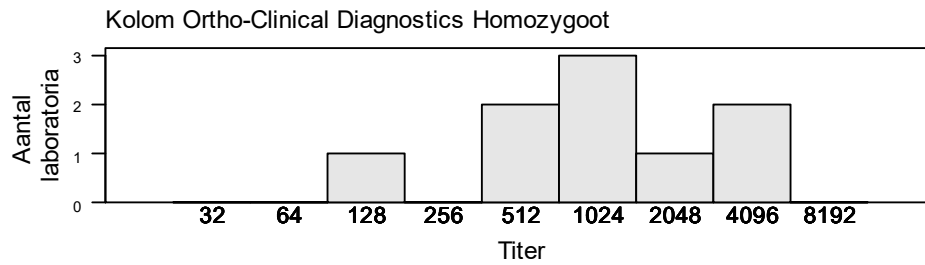
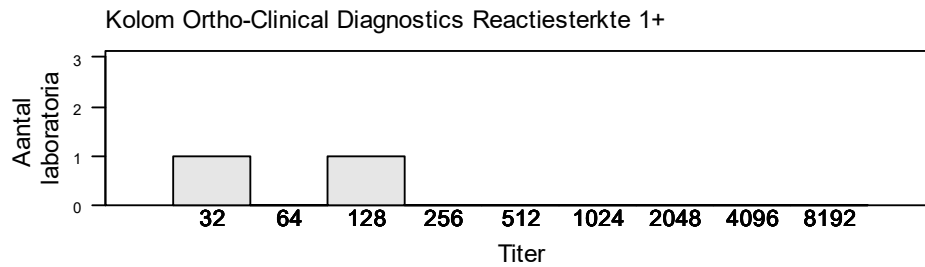
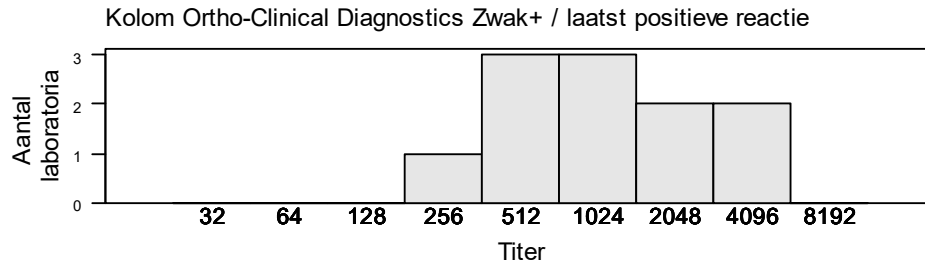
| Methode | N | Aflezings titer | N | Mediaan/titer | Range |
|----------------------------------|----------|----------------------------------|----------|----------------------|--------------|
| Gel Bio-Rad/DiaMed | 23 | Zwak+ / laatst positieve reactie | 21 | 1024 | 64-8192 |
| | | Reactiesterkte 1+ | 2 | 128,512 | |
| Kolom Ortho-Clinical Diagnostics | 13 | Zwak+ / laatst positieve reactie | 11 | 1024 | 256-4096 |
| | | Reactiesterkte 1+ | 2 | 32,128 | |
| Ortho Vision (OCD) | 5 | Zwak+ / laatst positieve reactie | 3 | 512(2),2048 | |
| | | Reactiesterkte 1+ | 2 | 8,512 | |
| IH500 (Diamed) | 5 | Zwak+ / laatst positieve reactie | 4 | 512(2),1024(2) | |
| | | Reactiesterkte 1+ | 1 | 512 | |
| Gel Grifols/apDia | 4 | Zwak+ / laatst positieve reactie | 3 | 128,512,1024 | |
| | | Reactiesterkte 1+ | 1 | 256 | |
| AutoVue/Ortho Vision (OCD) | 4 | Zwak+ / laatst positieve reactie | 3 | 512(2),1024 | |
| | | Geen | 1 | 256 | |
| Buis Ortho-Clinical Diagnostics | 2 | Reactiesterkte 1+ | 2 | 256(2) | |
| Buis Immucor | 2 | Reactiesterkte 1+ | 2 | 16,128 | |
| Buis Andere | 2 | Zwak+ / laatst positieve reactie | 1 | 256 | |
| | | Reactiesterkte 1+ | 1 | 32 | |
| Andere/niet vermeld | 2 | | | | |

| Methode | N | Aflezing titer | N | Mediaan/titer | Range |
|----------------------------------|----------|-----------------------|----------|----------------------|--------------|
| Gel Bio-Rad/Diamed | 23 | Homozygoot | 9 | 1024 | 256-2048 |
| | | Heterozygoot | 7 | 512 | 128-2048 |
| | | Niet vermeld | 7 | 1024 | 64-8192 |
| Kolom Ortho-Clinical Diagnostics | 13 | Homozygoot | 9 | 1024 | 128-4096 |
| | | Heterozygoot | 3 | 32,512,2048 | |
| | | Niet vermeld | 1 | 256 | |
| Ortho Vision (OCD) | 5 | Homozygoot | 4 | 8,512(2),2048 | |
| | | Niet vermeld | 1 | 512 | |
| IH500 (Diamed) | 5 | Homozygoot | 4 | 512(2),1024(2) | |
| | | Heterozygoot | 1 | 512 | |
| Gel Grifols/apDia | 4 | Homozygoot | 2 | 128,1024 | |
| | | Heterozygoot | 1 | 256 | |
| | | Niet vermeld | 1 | 512 | |
| AutoVue/Ortho Vision (OCD) | 4 | Homozygoot | 4 | 256,512(2),1024 | |
| Buis Ortho-Clinical Diagnostics | 2 | Homozygoot | 2 | 256(2) | |
| Buis Immucor | 2 | Homozygoot | 2 | 16,128 | |
| Buis Andere | 2 | Homozygoot | 2 | 32,256 | |
| Andere/niet vermeld | 2 | | | | |

Gel Bio-Rad/Diamed



Kolom Ortho-Clinical Diagnostics

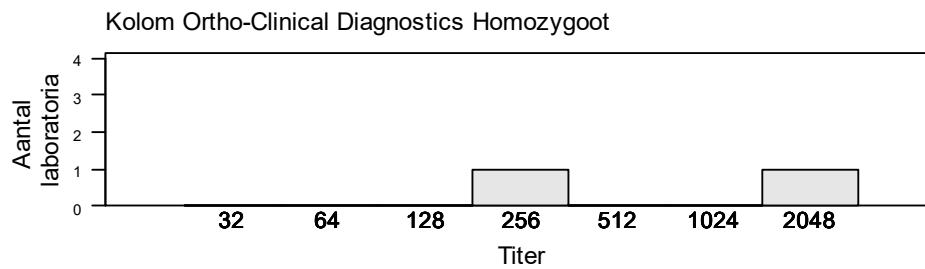
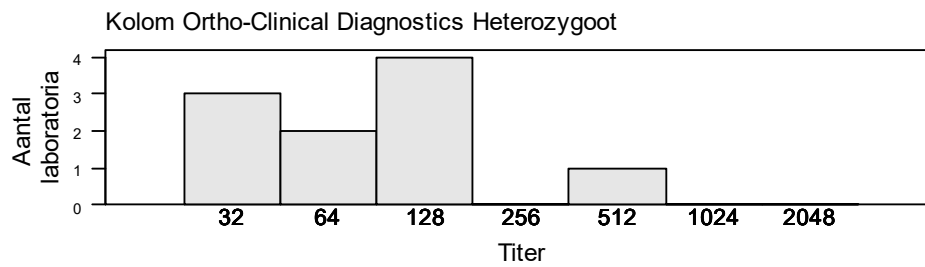
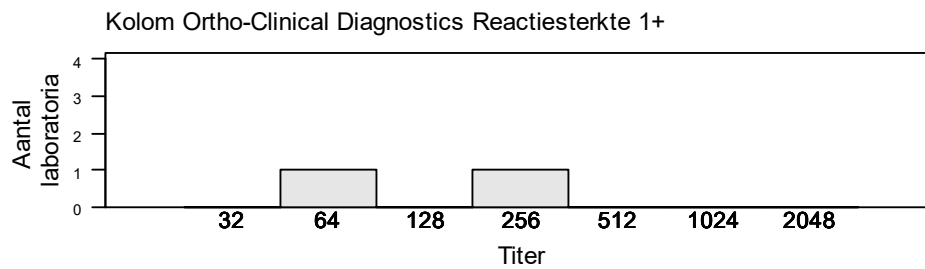
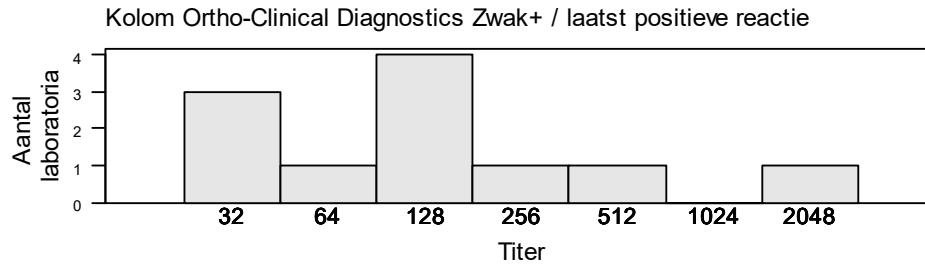


I/2020 anti-C

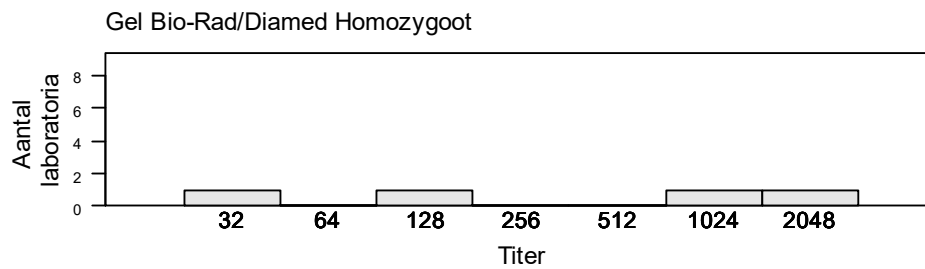
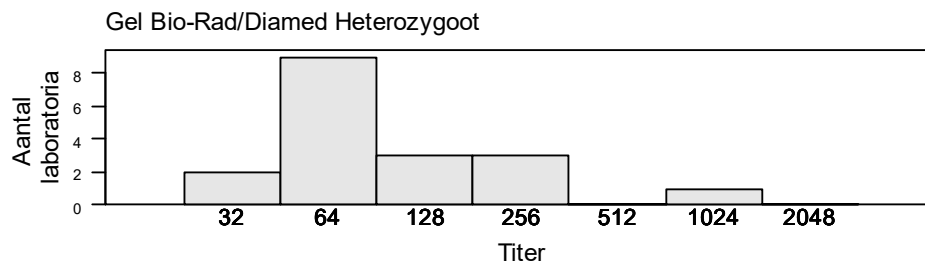
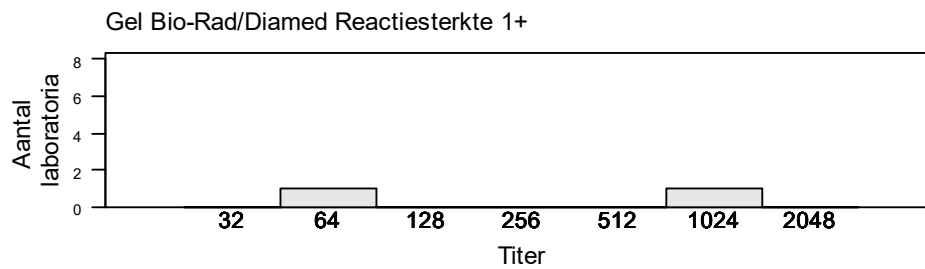
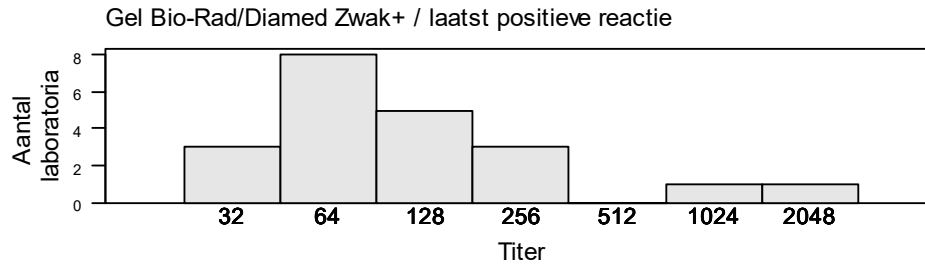
| Methode | N | Aflezings titer | N | Mediaan/titer | Range |
|----------------------------------|----------|----------------------------------|----------|----------------------|--------------|
| Gel Bio-Rad/Diamed | 23 | Zwak+ / laatst positieve reactie | 21 | 64 | 32-2048 |
| | | Reactiesterkte 1+ | 2 | 64,1024 | |
| Kolom Ortho-Clinical Diagnostics | 13 | Zwak+ / laatst positieve reactie | 11 | 128 | 32-2048 |
| | | Reactiesterkte 1+ | 2 | 64,256 | |
| Ortho Vision (OCD) | 5 | Zwak+ / laatst positieve reactie | 3 | 32,64(2) | |
| | | Reactiesterkte 1+ | 2 | 8,64 | |
| IH500 (Diamed) | 5 | Zwak+ / laatst positieve reactie | 4 | 64(3),128 | |
| | | Reactiesterkte 1+ | 1 | 64 | |
| Gel Grifols/apDia | 4 | Zwak+ / laatst positieve reactie | 3 | 32,64,1024 | |
| | | Reactiesterkte 1+ | 1 | 32 | |
| AutoVue/Ortho Vision (OCD) | 4 | Zwak+ / laatst positieve reactie | 3 | 64(2),128 | |
| | | Geen | 1 | 128 | |
| Buis Ortho-Clinical Diagnostics | 2 | Reactiesterkte 1+ | 2 | 32,64 | |
| Buis Immucor | 2 | Reactiesterkte 1+ | 2 | 4,16 | |
| Buis Andere | 2 | Zwak+ / laatst positieve reactie | 1 | 1 | |
| | | Reactiesterkte 1+ | 1 | 8 | |
| Andere/niet vermeld | 2 | | | | |

| Methode | N | Aflezings titer | N | Mediaan/titer | Range |
|----------------------------------|----------|------------------------|----------|----------------------|--------------|
| Gel Bio-Rad/Diamed | 23 | Homozygoot | 4 | 32,128,1024,2048 | 32-1024 |
| | | Heterozygoot | 18 | 64 | |
| | | Niet vermeld | 1 | 128 | |
| Kolom Ortho-Clinical Diagnostics | 13 | Homozygoot | 2 | 256,2048 | 32-512 |
| | | Heterozygoot | 10 | 64 | |
| | | Niet vermeld | 1 | 256 | |
| Ortho Vision (OCD) | 5 | Heterozygoot | 5 | 8,32,64(3) | |
| IH500 (Diamed) | 5 | Heterozygoot | 5 | 64(4),128 | |
| Gel Grifols/apDia | 4 | Homozygoot | 1 | 1024 | |
| | | Heterozygoot | 3 | 32(2),64 | |
| AutoVue/Ortho Vision (OCD) | 4 | Heterozygoot | 4 | 64(2),128(2) | |
| Buis Ortho-Clinical Diagnostics | 2 | Homozygoot | 1 | 32 | |
| | | Heterozygoot | 1 | 64 | |
| Buis Immucor | 2 | Homozygoot | 1 | 4 | |
| | | Heterozygoot | 1 | 16 | |
| Buis Andere | 2 | Heterozygoot | 2 | 1,8 | |
| Andere/niet vermeld | 2 | | | | |

Kolom Ortho-Clinical Diagnostics



Gel Bio-Rad/Diamed



Bijlage: resultaten van de DAT

| | | | | | |
|-------|----------|-------|----------|-------|----------|
| labo | staal | 25607 | negatief | 41658 | negatief |
| 1031 | negatief | 25611 | negatief | 42609 | positief |
| 1110 | negatief | 25627 | positief | 42615 | positief |
| 1120 | positief | 26631 | negatief | 43620 | positief |
| 1181 | positief | 26678 | negatief | 44610 | negatief |
| 1200 | negatief | 26726 | negatief | 44624 | negatief |
| 1201 | positief | 26750 | negatief | 44644 | negatief |
| 1220 | negatief | 26751 | negatief | 44653 | negatief |
| 1300 | positief | 27627 | negatief | 44673 | negatief |
| 1400 | negatief | 27647 | negatief | 44692 | negatief |
| 11601 | negatief | 27729 | positief | 44696 | negatief |
| 11603 | negatief | 28604 | positief | 44711 | negatief |
| 11615 | negatief | 28612 | negatief | 44736 | negatief |
| 11622 | positief | 28615 | negatief | 44782 | positief |
| 11642 | negatief | 28620 | negatief | 45603 | negatief |
| 11645 | negatief | 28627 | negatief | 45605 | positief |
| 11653 | negatief | 28641 | positief | 46615 | positief |
| 11677 | negatief | 28667 | negatief | 46658 | negatief |
| 11692 | negatief | 29623 | negatief | 51604 | positief |
| 11747 | positief | 31616 | positief | 52608 | negatief |
| 11756 | negatief | 31617 | negatief | 52610 | positief |
| 11791 | negatief | 31628 | negatief | 52614 | positief |
| 12609 | negatief | 31639 | negatief | 52616 | positief |
| 12610 | positief | 31656 | negatief | 52626 | positief |
| 12611 | negatief | 31669 | positief | 52674 | positief |
| 12616 | positief | 31672 | positief | 53606 | negatief |
| 12620 | positief | 33606 | negatief | 53611 | negatief |
| 12650 | negatief | 34601 | positief | 53624 | positief |
| 13602 | positief | 34604 | negatief | 53639 | positief |
| 13608 | negatief | 34605 | positief | 54602 | negatief |
| 13617 | negatief | 34612 | negatief | 54614 | negatief |
| 13618 | positief | 34615 | positief | 55604 | negatief |
| 13623 | positief | 34616 | negatief | 55614 | negatief |
| 13656 | negatief | 35607 | negatief | 55618 | negatief |
| 23603 | negatief | 35608 | negatief | 55624 | negatief |
| 23604 | negatief | 36606 | positief | 56603 | positief |
| 23616 | negatief | 36609 | negatief | 56606 | negatief |
| 24602 | negatief | 36614 | positief | 57606 | negatief |
| 24617 | positief | 36654 | negatief | 61602 | positief |
| 24618 | positief | 37606 | positief | 62604 | positief |
| 24650 | positief | 38603 | negatief | 62606 | negatief |
| 24665 | negatief | 41614 | negatief | 62646 | negatief |
| 24669 | negatief | 41617 | positief | 62654 | negatief |
| 25606 | positief | 41623 | negatief | 62668 | negatief |

| | |
|-------|----------|
| 62679 | positief |
| 62700 | negatief |
| 62730 | negatief |
| 63608 | positief |
| 63613 | negatief |
| 63627 | negatief |
| 63632 | negatief |
| 63639 | negatief |
| 71604 | negatief |
| 71606 | negatief |
| 71611 | negatief |
| 71613 | positief |
| 71615 | positief |

| | |
|-------|----------|
| 71620 | negatief |
| 71622 | negatief |
| 71725 | negatief |
| 72602 | negatief |
| 72603 | negatief |
| 73608 | negatief |
| 81602 | positief |
| 82604 | negatief |
| 83607 | negatief |
| 84609 | negatief |
| 91605 | negatief |
| 91607 | negatief |
| 92611 | negatief |

| | |
|-------|----------|
| 92613 | negatief |
| 92614 | positief |
| 92618 | negatief |
| 92619 | negatief |
| 92629 | positief |
| 92659 | positief |
| 95611 | negatief |
| 95616 | negatief |
| 99025 | negatief |
| 99033 | negatief |
| 99622 | negatief |
| 99626 | negatief |
| 99892 | negatief |

EINDE

© Sciensano, Brussel 2021.

Dit rapport mag niet gereproduceerd, gepubliceerd of verdeeld worden zonder akkoord van Sciensano. De individuele resultaten van de laboratoria zijn vertrouwelijk. Zij worden door Sciensano niet doorgegeven aan derden, noch aan de leden van de Commissie, de expertencomités of de werkgroep EKE.